

โครงการที่ 32/2562 (วศบ.อุตสาหการ)



การนำเสนอไข่ที่เหมาะสมสมสำหรับการสร้างกราฟีนด้วยเทคนิคพลาสมา
ลปัตเตอริง

นางสาวณัฐวรรษา¹
นางสาวลัลน์ลลิต²

ขันธิกุล¹ รหัสนักศึกษา 590610275
อาชีวนันท์² รหัสนักศึกษา 590610331

โครงการนี้เป็นส่วนหนึ่งของการศึกษาตามหลักสูตรปริญญาวิศวกรรมศาสตรบัณฑิต
ภาควิชาวิศวกรรมอุตสาหการ
คณะวิศวกรรมศาสตร์ มหาวิทยาลัยเชียงใหม่
ปีการศึกษา 2562

หัวข้อโครงการ การหาเงื่อนไขที่เหมาะสมสำหรับการสร้างฟิล์มกราฟีนด้วยเทคนิคพลาสma
โดย นางสาวณัฐวรร毫不ชินิกุล รหัสนักศึกษา 590610275
นางสาวลัลน์ลลิตา อาชีวะนันท์ รหัสนักศึกษา 590610331
ภาควิชา วิศวกรรมอุตสาหการ คณะวิศวกรรมศาสตร์ มหาวิทยาลัยเชียงใหม่
อาจารย์ที่ปรึกษา รศ.ดร.คมกฤต เล็กสกุล
ปีการศึกษา 2562

ภาควิชาวิศวกรรมอุตสาหการ คณะวิศวกรรมศาสตร์ มหาวิทยาลัยเชียงใหม่ อนุมัติให้นับ
โครงการนี้ เป็นส่วนหนึ่งของการศึกษาตามหลักสูตรปริญญาวิศวกรรมศาสตรบัณฑิต
ประ찬กรรมการ

กรรมการสอบโครงการ

..... ประ찬กรรมการ
(รศ.ดร.คมกฤต เล็กสกุล)

..... กรรมการ
(รศ.ดร.นิวิท เจริญใจ)

..... กรรมการ
(ผศ.ดร.อรรถพล สมุทคุปต์)

กิตติกรรมประกาศ

การทำโครงการวิจัยเรื่อง การหาเงื่อนไขที่เหมาะสมสำหรับการสร้างฟิล์มกราฟินด้วยเทคนิคพลาสมาสปัตเตอริง สามารถดำเนินไปได้ด้วยดี เนื่องจากได้รับความอนุเคราะห์และสนับสนุนจากหลายๆ ฝ่าย ซึ่งหากไม่มีบุคคลเหล่านี้โครงการวิจัยนี้อาจไม่ประสบความสำเร็จ

ขอขอบพระคุณ ศศ.ดร.คุณกฤต เล็กสกุล อาจารย์ที่ปรึกษาโครงการ ที่ได้ให้ความรู้ คำแนะนำ และคำปรึกษา ที่เป็นประโยชน์ พร้อมทั้งทำงานแก้ไขโครงการวิจัยเล่มนี้จนเสร็จสมบูรณ์ ผู้จัดทำขอกราบขอบคุณเป็นอย่างสูงไว้ ณ โอกาสนี้

ขอขอบพระคุณคณาจารย์ และบุคลากร ภาควิชาวิศวกรรมอุตสาหการ คณะวิศวกรรมศาสตร์ มหาวิทยาลัยเชียงใหม่ ที่ได้ให้ความรู้แก่ผู้วิจัย ตลอดจนบุคลากรทุกท่านที่เคยให้ความช่วยเหลือในการทำโครงการวิจัยตลอดมา

ขอขอบคุณอาจารย์ บุคลากร และภาควิชาฟิสิกส์และวัสดุศาสตร์ รวมถึงศูนย์วิจัยทางฟิสิกส์ ของพลาสma และลามอนนูภาค ภาควิชาฟิสิกส์และวัสดุศาสตร์ มหาวิทยาลัยเชียงใหม่ที่เอื้ออำนวย สถานที่อุปกรณ์ และเครื่องมือในการทำวิจัย

ขอขอบคุณบุคลากรประจำห้องเครื่องมือกลาง ภาควิชาฟิสิกส์และวัสดุศาสตร์ คณะ วิทยาศาสตร์ มหาวิทยาลัยเชียงใหม่ ที่ให้ความรู้ คำแนะนำ และช่วยเหลือในการวิเคราะห์ขั้นงาน

ขอขอบพระคุณ นายนรพนธ์ วิเชียรสาร และนางสาวทิพวรรณ เมฆวิไล ที่เคยให้ความรู้ คำแนะนำ และเสนอแนวทางการแก้ไขปรับปรุง ตลอดจนเคยให้คำปรึกษาตลอดมา

นอกจากนี้ยังมีบุคคลที่เกี่ยวข้องหลายท่านที่เคยให้ความรู้ คำแนะนำ และช่วยเหลือในการทำโครงการวิจัยในครั้งนี้ จึงได้ขอขอบพระคุณ ณ โอกาสนี้ด้วย

ท้ายที่สุดนี้ หากมีสิ่งขาดตกบกพร่องหรือผิดพลาดประการใด ผู้จัดทำขออภัยเป็นอย่างสูงใน ข้อบกพร่องและความผิดพลาดนั้น และผู้เขียนหวังว่าวิทยานิพนธ์นี้คงมีประโยชน์สำหรับหน่วยงานที่ เกี่ยวข้องตลอดจนผู้ที่สนใจต่อไป

ณัฐวรร毫不อิกุล
ลัลน์ลลิต อาชีวะนันท์

หัวข้อโครงการ	การหาเงื่อนไขที่เหมาะสมสำหรับการสร้างฟิล์มกราฟีนด้วยเทคนิคพลาสma สปัตเตอริง		
โดย	นางสาวณัฐวรรษา ขันธิกุล	รหัสนักศึกษา 590610275	
	นางสาวลัลน์ลลิต อาชีวะนันท์	รหัสนักศึกษา 590610331	
ภาควิชา	วิศวกรรมอุตสาหการ คณะวิศวกรรมศาสตร์ มหาวิทยาลัยเชียงใหม่		
อาจารย์ที่ปรึกษา	รศ.ดร.คมกฤต เล็กสกุล		
ปีการศึกษา	2562		

บทคัดย่อ

งานวิจัยนี้มุ่งเน้นศึกษาหาพารามิเตอร์ที่มีผลต่อการสังเคราะห์ฟิล์มกราฟีนบนกระดาษด้วยกระบวนการตกตะ永ไอคอมี โดยศึกษาวิธีการออกแบบการทดลองเชิงแฟคทอเรียลแบบเต็มจำนวน 3 ปัจจัย โดยปัจจัยมี 2 ระดับ คือ 2^3 ปัจจัยการทดลอง ได้แก่ กำลังไฟฟ้า เวลาในการดิสchar์จของพลาสma และอัตราส่วนระหว่าง ก๊าซอะเซทิลีน (C_2H_2) และก๊าซไฮโดรเจน (H_2) ทำการทดลอง 2 ชั้a แบ่งการทดลองออกเป็น 2 บล็อก และทดสอบความเป็นเส้นตรงกึ่งกล่าง 5 ชั้a ซึ่งชิ้นงานจะแบ่งเป็น 21 ชุด ตามเงื่อนไขการทดลอง ชุดละ 6 ชิ้n ขนาด 1×1 เซนติเมตร โดยเปรียบเทียบความแตกต่างของการทดลองแต่ละเงื่อนไขด้วยการนำชิ้นงานไปวิเคราะห์ด้วยเครื่องวัดมุ่สัมผัส วิเคราะห์เอกลักษณ์ของกราฟีนด้วยเทคนิครamanスペกโตรสโคปี และกล้องจุลทรรศน์แรงอัตโนม โดยมีผลการทดลอง หรือผลตอบ คือความหนาของฟิล์มกราฟีน

จากผลการทดลองพบว่า จากการสังเกตชิ้นงานหลังทำการประยุกต์พลาสma การวัดค่ามุ่สัมผสของชิ้นงานสามารถตรวจสอบได้เพียงว่าพื้นผิวของชิ้นงานมีการเปลี่ยนแปลง ปัจจัยที่ส่งผลต่อการทดลองอย่างมีนัยสำคัญ คือ เวลาในการดิสchar์จพลาสma และกำลังไฟฟ้า โดยค่าที่เหมาะสมสำหรับการดิสchar์จพลาสma คือ เวลาในการดิสchar์จ 10 นาที กำลังไฟฟ้า 50 วัตต์ และอัตราส่วนผสมระหว่างก๊าซอะเซทิลีนกับก๊าซไฮโดรเจนเท่ากับ 30 : 70 โดยมีค่าพยากรณ์ความหนาของฟิล์มเท่ากับ 77.2873 นาโนเมตร

Project Title	Finding the Optimal Parameter for Generated Graphene by Plasma Sputtering
Name	Natwara Kanthikul 590610275 Lanlalit Acheewanunt 590610331
Department	Industrial Engineering, Faculty of Engineering, Chiang Mai University
Project Advisor	Associate Professor Komgrit Leksakul, D.Eng.
Academic Year	2019

ABSTRACT

This research aims to study the Optimal Parameter for Generated Graphene by using Plasma-enhanced chemical vapor deposition (PECVD) process. This study uses full factorial design of 3 factors. There are 2 levels which are 2^3 factorial design including Electric Power, the ratio of Acetylene (C_2H_2) and Hydrogen (H_2) and time of discharge. The experiment has 2 replicates, 1 block, and 5 center point tests. The total number of experiments is 21 experiments. Comparing the difference of each experiment by contact angle measurement identity the thin film by Raman spectroscopy and using Atomic Force Microscope for thickness measurement. The result of the experiment is the thickness of a thin film.

The results revealed that contact angle measurement can indicate only the changed surface of the sample. The factors that significantly affect the experiment are the time of discharging and electric power. The optimal factors for a plasma discharge are a time of discharging is 10 minutes, electric power is 50 Watt and the ratio between C_2H_2 is 30:70. The Forecast thickness of the thin film is 77.2873 nanometer.

สารบัญ

หน้า

กิตติกรรมประกาศ	๑
บทคัดย่อภาษาไทย	๑
บทคัดย่อภาษาอังกฤษ	๑
สารบัญตาราง	๒
สารบัญภาพ	๓
บทที่ 1 บทนำ	
1.1 ความสำคัญ และที่มาของปัญหาที่ทำโครงการ	1
1.2 วัตถุประสงค์	3
1.3 ขอบเขตการศึกษา	4
1.4 ประโยชน์ที่คาดว่าจะได้รับ	4
บทที่ 2 ทฤษฎีบท	
2.1 โครงสร้างคาร์บอน (Carbon Structure)	5
2.2 กราฟีน (Graphene)	8
2.3 ก๊าซอะเซทิลีน (Acetylene : C ₂ H ₂)	12
2.4 ไฮโดรเจน (Hydrogen : H ₂)	13
2.5 อาร์กอน (Argon : Ar)	14
2.6 พลาสma (Plasma)	14
2.7 การตกเคลือบด้วยไอเคมี (Chemical Vapor Deposition, CVD)	18
2.8 การออกแบบการทดลอง (Design of Experiment)	22
2.9 การตรวจสอบลักษณะของวัสดุ	24
2.10 สรุปงานวิจัยที่ศึกษา	26
บทที่ 3 ระเบียบวิธีการทำวิจัย	
3.1 การออกแบบการทดลองโดยใช้วิธีแบบแฟคทอเรียล 2 ^k	29
3.2 ขั้นตอนการเตรียมชิ้นงานก่อนการสังเคราะห์กราฟีน	31
3.3 ขั้นตอนการสังเคราะห์กราฟีน	32

สารบัญ (ต่อ)

หน้า

3.4 การวิเคราะห์ชิ้นงาน	34
3.5 การใช้โปรแกรมวิเคราะห์ความหนา (Nanoscope SPM)	36
บทที่ 4 ผลการทดลองและอภิปรายผล	
4.1 ผลการตรวจสอบค่ามุ่งสัมผัสระห่ำห่วงหยดน้ำกับพื้นผิวของชิ้นงาน	39
4.2 ผลการตรวจสอบลักษณะสัญญาณของชิ้นงาน	40
4.3 การวิเคราะห์ข้อมูลที่ได้จากการทดลองด้วยโปรแกรมมินิแทป	41
4.4 ผลการวิเคราะห์อัตลักษณ์ของชิ้นงานด้วยเทคนิครวมสเปกโตรสโคปี	47
บทที่ 5 สรุปผลการดำเนินงาน	
5.1 อภิปรายผลการทดลอง	47
5.2 สรุปผลการดำเนินงาน	48
5.3 ข้อเสนอแนะ	49
5.4 ปัญหา และแนวทางการแก้ไข	50
บรรณานุกรม	52
ภาคผนวก	
ภาคผนวก ก ตารางอัตราส่วนผสมของก๊าซอะเซทิลีน และก๊าซไฮโดรเจนใน	53
การทำการทดลอง	
ภาคผนวก ข ขั้นตอนการเตรียมชิ้นงาน และอุปกรณ์ที่ใช้ในการทดลอง	55
ประวัติผู้เขียน	59

สารบัญตาราง

ตาราง	หน้า
3.1 รายละเอียดของปัจจัย ระดับขอบเขตของปัจจัย และสัญลักษณ์	28
3.2 การออกแบบการทดลองโดยใช้วิธีแบบแฟคทอเรียล (2^k)	32
4.1 เปรียบเทียบค่ามุสัมผัสเฉลี่ย (องศา) ของชิ้นงานที่ไม่ได้ทำการประยุกต์พลาสม่า และทำการประยุกต์พลาสมาตามเงื่อนไขต่าง ๆ	38
4.2 การวิเคราะห์ความหนาของฟิล์มกราฟินด้วยกล้องจุลทรรศน์แรงอหตอม	40
4.3 การวิเคราะห์ค่าสัมประสิทธิ์การตัดสินใจ (R-Square)	41
4.4 การวิเคราะห์ความแปรปรวนของผลตอบความหนาของฟิล์มบาง	41
4.5 ความหนาของฟิล์มบางในเงื่อนไขที่ดีที่สุดจากการทดลอง	45
5.1 ปัญหา และแนวทางการแก้ไข	48

สารบัญภาพ

ภาพ	หน้า
1.1 การตกเคลือบด้วยไอเคมีโดยอาศัยพลาสma	3
2.1 โครงสร้างของคาร์บอนหกสิบ (C_{60}) หรือบักกีบอล (Buckyballs)	6
2.2 โครงสร้างของท่อนานोคาร์บอน	6
2.3 ลักษณะโครงสร้างทางเคมีของแกรไฟต์	7
2.4 ลักษณะโครงสร้างทางเคมีของเพชร	8
2.5 ความเชื่อมโยงเชิงโครงสร้างของอัญรูปต่าง ๆ ของคาร์บอนผ่านโครงสร้างกราฟีน	9
2.6 ความโปร่งแสงของกราฟีน 2 ชั้น และภาพจากกล้องจุลทรรศน์	10
2.7 แสดงความแตกต่างของสารในแต่ละสถานะ	15
2.8 กระบวนการการออกแบบการทดลอง	19
2.9 ลักษณะชิ้นงาน และการทดสอบในเครื่องวัดมุมสัมผัสของหยดน้ำ	22
2.10 แผนภาพแสดงหลักการการทำงานของกล้องจุลทรรศน์แรงอะตอม	23
2.11 แผนภาพแสดงหลักการการทำงานของเทคนิครวมสเปกตรสโคปี	26
3.1 แผนภาพแสดงขั้นตอนการดำเนินงานโดยรวม	27
3.2 ปัจจัยและพารามิเตอร์ของกระบวนการดิสชาร์จ	30
3.3 แสดงการประยุกต์พลาสmaอย่างเช่นไนน์ และไฮเดนเจน	32
3.4 แสดงการทดสอบของเหลวนชิ้นงาน	34
3.5 เครื่องมือวิเคราะห์คุณสมบัติเชิงกล (Raman Spectroscopy)	35
3.6 หน้าจอแสดงการใช้งานโปรแกรมวิเคราะห์ความหนา (Nanoscope SPM)	36
3.7 การประมวลผลการวิเคราะห์บนหน้าจอคอมพิวเตอร์	36
4.1 กระบวนการที่ผ่านการประยุกต์พลาสma	38
4.2 การวิเคราะห์ความหนาของฟิล์มกราฟีนด้วยกล้องจุลทรรศน์แรงอะตอม	39
4.3 กราฟความน่าจะเป็นแสดงผลกระทำต่อความหนาของฟิล์มหลังการประยุกต์พลาสma	42
4.4 กราฟระหว่างส่วนตกลงกับค่าที่ถูกทำนายของผลตอบความหนาของฟิล์มกราฟีน	43
4.5 กราฟแสดงค่าที่เหมาะสมของแต่ละปัจจัยสำหรับผลตอบความหนาของฟิล์มบาง	44
4.6 กราฟการวิเคราะห์ชิ้นงานด้วยวิธีรวมสเปกตรสโคปี (Raman Spectroscopy)	46

บทที่ 1

ບໍລິສັດ

1.1 ความสำคัญ และที่มาของปัญหาที่ทำโครงการ

ในอุตสาหกรรมอิเล็กทรอนิกส์ชิลิคอนมีบทบาทสำคัญอย่างมาก ชิลิคอนถูกนำไปใช้ในการผลิตอุปกรณ์อิเล็กทรอนิกส์ต่าง ๆ เช่น ชิป (Chip) ซึ่งก็คือแผงวงจรไฟฟ้าขนาดเล็กทำหน้าที่ประมวลผล เก็บข้อมูล และส่งข้อมูล เปรียบเสมือนสมองของอุปกรณ์อิเล็กทรอนิกส์ ถูกสร้างมาจากการซึ่งส่วนที่เรียกว่าสารกึ่งตัวนำ (Semiconductor) และส่วนใหญ่ถูกผลิตอยู่บนแผงชิลิคอน

ในขณะที่อุตสาหกรรมอิเล็กทรอนิกส์กำลังพบรากับอุปสรรคต่อการพัฒนาแบบก้าวกระโดดตามกฎของมัวร์ (Moore's Law) ที่คาดการณ์ไว้ใน ค.ศ. 1975 ว่า ในทุกสองปีคอมพิวเตอร์จะเร็วขึ้นเป็นสองเท่าตัว ซึ่งทราบชิสเตอร์ที่ทำจากซิลิคอนนั้นปัจจุบันมีขนาด 14 นาโนเมตร หากเป็นไปตามกฎของมัวร์ ทราบชิสเตอร์ควรมีขนาดเล็กลงเหลือเพียง 2-3 นาโนเมตร หรือเท่ากับซิลิคอน 10 อะตอม เรียงต่อกัน ซึ่งจะทำให้พฤติกรรมของอิเล็กตรอนเกิดความไม่แน่นอนตามหลักควอนตัมฟิสิกส์ (Quantum Uncertainty) จึงไม่เหมาะสมที่จะใช้เป็นอุปกรณ์อิเล็กทรอนิกส์ การหาวัดชนิดใหม่มาทดแทนซิลิคอนในอุปกรณ์อิเล็กทรอนิกส์จึงเป็นการค้นคว้าวิจัยที่สำคัญในปัจจุบัน และกราฟิกเป็นหนึ่งในวัสดุที่มีความเป็นไปได้มากที่สุด

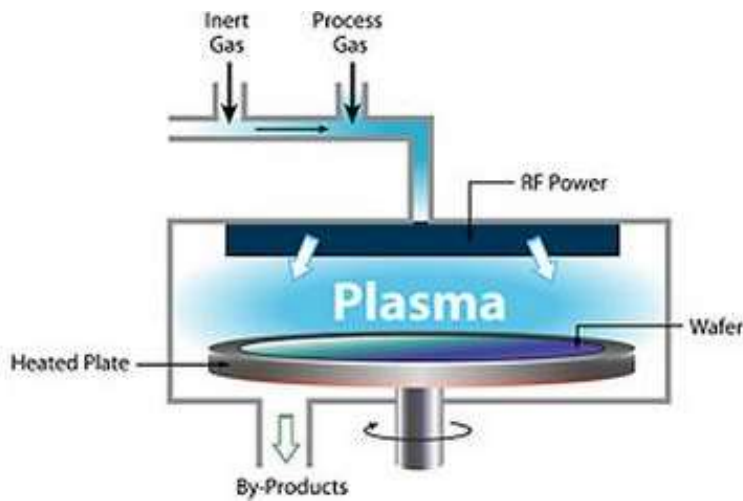
กราฟีน (Graphene) เป็นวัสดุแผ่นเดียวของสสารมิติ ประกอบด้วยราช枢รบอนเรียงตัวต่อกันเป็นวงหลาเหลี่ยม (Hexagonal) ด้วยพันธะโค瓦เลนต์ที่มีความแข็งแรง และเชื่อมต่อกันเป็นโครงร่างลักษณะเหมือนกับรังผึ้ง คุณสมบัติของกราฟีน คือ เป็นวัสดุที่มีความแข็งแรงมากกว่าเหล็กกล้าถึง 200 เท่า มีความโปร่งใส (Transparent) โดยแสงสามารถส่องผ่านได้กว่า 97 เปอร์เซ็นต์เป็นวัสดุที่บางที่สุดในโลก ดังนั้นจึงไม่สามารถมองเห็นได้ด้วยตาเปล่า นอกจากนั้นกราฟีนยังนำไฟฟ้าได้ดีกว่าโลหะทองแดงถึง 4 เท่า เพราะการส่งผ่านอิเล็กตรอนเป็นไปอย่างรวดเร็ว เนื่องจากคุณสมบัติที่โดดเด่นในด้านความแข็งแรงจึงมีการนำกราฟีนคอมโพสิต (Graphene Composite) มาทำไม้เบดมนตัน

และไม้เทนนิส ทำให้ได้อุปกรณ์กีฬาที่มีความแข็งแรงทนทานแต่มีน้ำหนักเบากว่าเดิม มีการนำไปทำเป็นกระภัณฑ์สุนแทนเคลฟลาร์ หน้าจอแบบสัมผัสที่โค้งงอได้ ข้าไฟฟ้าในแบตเตอรี่ และวัสดุนำส่งยาระดับนาโนในทางการแพทย์ เป็นต้น

พลาasma (Plasma) เป็นสถานะที่ 4 ของสาร เกิดจากการให้สสารไฟฟ้าปริมาณมากแก่ก๊าซที่เป็นก๊าซ เมื่อพลังงานส่งผ่านไปยังอิเล็กตรอนอิสระมากพอจะทำให้อิเล็กตรอนอิสระชนกับอะตอมและทำให้อิเล็กตรอนหลุดออกจากอะตอม กระบวนการนี้เรียกว่ากระบวนการแตกตัวเป็นไอออน (Ionization) ซึ่งจะเกิดขึ้นอย่างรวดเร็ว ทำให้จำนวนอิเล็กตรอนที่หลุดออกมากเพิ่มจำนวนขึ้นอย่างมาก ซึ่งจะทำให้ก๊าซแตกตัว และกลายเป็นพลาasma ในที่สุด ปัจจุบันมีการนำพลาasma มาประยุกต์ใช้อย่างแพร่หลายทั้งในทางการแพทย์ และประยุกต์ใช้ในการพัฒนาระบวนการเกษตรกรรม อาทิ เช่น การสร้างสารละลายที่มีคุณสมบัติเป็นพลาasma เพื่อใช้หดแห้งน้ำ หรือปุ๋ย สำหรับการเร่งการเจริญเติบโตของพืช ผัก และผลไม้ รวมทั้งการประยุกต์ใช้เทคโนโลยีพลาasma ทั้งแบบสารละลาย และก๊าซในการถังสารพิษตกค้างในผัก และผลไม้ นอกจากนี้ยังนำมาประยุกต์ใช้ในกรรมวิธีพื้นผิวที่ใช้ประโยชน์จากปฏิกิริยาเคมีเป็นหลัก เช่น การกัดกรด (Etching) ของสารกึ่งตัวนำ และการเคลือบผิววัสดุ (Thin Film Coating) ที่ผิวน้ำพลาสติก เป็นต้น

เนื่องจากการเคลือบด้วยกระบวนการตกเคลือบด้วยไอเคมีโดยอาศัยความร้อนต้องทำที่อุณหภูมิสูงจึงไม่สามารถใช้กับงานบางประเภทได้ เช่น การผลิตชิปวงจรรวมต้องมีการเคลือบท่อหุ้มวงจรรวมด้วยสารเคลือบชิลิคอนในไตรด์ เพื่อป้องกันระบบวงจรที่อยู่ภายใต้ความชื้นในบรรยากาศ ซึ่งขั้นตอนนี้ไม่สามารถใช้อุณหภูมิเกิน 300 องศาเซลเซียส เนื่องจากจะทำให้ชิปวงจรรวมเสียหาย ดังนั้นจึงมีการพัฒนาเทคโนโลยีการเคลือบด้วยไอเคมีโดยอาศัยพลาasma ขึ้น

การตกเคลือบด้วยไอเคมีโดยอาศัยพลาasma (Plasma Enhanced Chemical Vapor Deposition : PECVD) เป็นกระบวนการที่ใช้พลาasma ในการสร้างปฏิกิริยาสะสมไอเคมี มีการเพิ่มข้าไฟฟ้าเข้าไปในตู้เคลือบที่ใช้ความดันไอน้ำ ความต่างศักย์ไฟฟ้าที่จ่ายระหว่างข้าไฟฟ้าจะเหนี่ยวนำให้โมเลกุลของไอเคมีที่อยู่ระหว่างข้าไฟฟ้านั้นแตกตัวเป็นพลาasma เนื่องจากสารตั้งต้นที่แตกตัว และอยู่ในสถานะพลาasma จึงมีความสามารถในการทำปฏิกิริยาที่สูงขึ้น ส่งผลให้เกิดปฏิกิริยาเคมีจากการสร้างสารเคลือบเกิดได้ที่อุณหภูมิต่ำกว่าปกติมาก



ภาพ 1.1 การตกเคลือบด้วยไอเคมีโดยอาศัยพลาสma

ที่มา : <http://encyclopedia.che.engin.umich.edu>

ผู้วิจัยได้ออกแบบการทดลองโดยใช้เทคนิค (Design of Experiment : DOE) เพื่อหาค่าพารามิเตอร์ที่เหมาะสมในการสร้างฟิล์มกราฟีนด้วยเทคนิคพลาสma สปัตเตอริง โดยศึกษาปัจจัยที่มีผลต่อการสร้างฟิล์มบาง 3 ปัจจัยคือ ความของดันกําช เวลาในการดิซชาร์จพลาสma และอัตราส่วนระหว่างกําชอะเซทิลีนกับไฮโดรเจน กำหนดปัจจัยคงที่ คือ ขนาดของแผ่นกระเจสไลด์ และความดันอากาศที่ 10^{-1} ทอร์ มีการตรวจสอบค่ามุนสัมผัสด้วยวิธี Sessile Drop ตรวจสอบความหนาของฟิล์มกราฟีนด้วยกล้องจุลทรรศน์แรงดึงดูด (Atomic Force Microscope : AFM) และตรวจสอบเอกลักษณ์ของกราฟีนด้วยวิธีรaman สเปกตรอสโคปี (Raman Spectroscopy)

1.2 วัตถุประสงค์

1.2.1 เพื่อหาค่าพารามิเตอร์ที่เหมาะสมสำหรับการขึ้นรูปกราฟีนด้วยเทคนิคพลาสma สปัตเตอริง (Plasma Sputtering)

1.2.2 เพื่อยืนยันเอกลักษณ์ของกราฟีนบนผิวเคลือบด้วยวิธีรaman สเปกตรอสโคปี (Raman - Spectroscopy)

1.3 ขอบเขตการศึกษา

1.3.1 การกำหนดค่าของพารามิเตอร์ที่ใช้ในการทดลองโดย กำลังไฟฟ้า 60 – 100 วัตต์ อัตราส่วนระหว่าง $C_2H_2 : H_2$ คือ 30:70 40:60 50:50 และระยะเวลาในการดิสชาร์จพลาสม่า 10 – 30 นาที ด้วยวิธีการออกแบบการทดลองเทคนิคการออกแบบการทดลองแบบเติมจำนวน

1.3.2 ตรวจสอบความหนาของพิล์มกราฟีนด้วยกล้องจุลทรรศน์แรงอະตอม โดยค่าที่ได้ต้องมี ความกว้างเคียง 0.34 นาโนเมตร (ค่าที่ยอมรับได้ 0.5 – 1.0 นาโนเมตร)

1.4 ประโยชน์ที่คาดว่าจะได้รับ

ได้ทราบเงื่อนไขที่เหมาะสมสำหรับการเคลือบผิวกราฟีนด้วยเทคนิคการตกเคลือบด้วยไอหาง เคมีโดยอาศัยพลาสม่า

บทที่ 2

ทฤษฎีบท

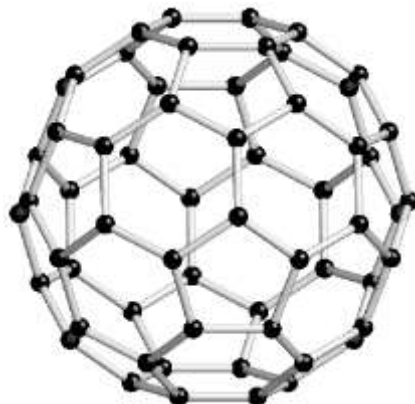
2.1 โครงสร้างคาร์บอน (Carbon Structure)

คาร์บอนเป็นธาตุอันดับที่ 6 ในตารางธาตุ มีเลขอะตอมเท่ากับ 6 มีมวลโมเลกุลเท่ากับ 12 และมีการจัดเรียงตัวของอิเล็กตรอนในอะตอมแบบ $1s^2 \ 2s^2 \ 2p^2$ โดยอิเล็กตรอนจำนวน 2 ตัวจะถูกเติมในชั้นระดับพลังงาน $1s$ สำหรับโครงสร้างของคาร์บอนนั้นสามารถพับได้หลายแบบ โดยแบ่งโครงสร้างออกเป็น 4 ชนิดหลักๆ ดังนี้

2.1.1 โครงสร้างแบบศูนย์มิติ

มีโครงสร้างเป็นแบบก้อนเล็กอาจถือได้ว่าเป็นจุดที่ไม่มีมิติ หรือเป็นศูนย์มิติเรียกcarbonที่มีลักษณะโครงสร้างแบบนี้ว่า ฟลูเลอเรน (Fullerene) ตัวอย่างของฟลูเลอเรนที่เป็นที่รู้จักกันอย่างกว้างขวาง ได้แก่ C_{60} แต่ละโมเลกุลจะประกอบไปด้วยอะตอมของคาร์บอนจำนวนทั้งหมด 60 อะตอม ภายใต้จับกันด้วยพันธะโคوالเอนต์ (Covalent Bond) หรือเรียกอีกชื่อหนึ่งว่าบักกีบอล (Buckyballs) นอกจากนี้ยังมีฟลูเลอเรนแบบอื่น ๆ ได้แก่ C_{70} และ C_{80} เป็นต้น

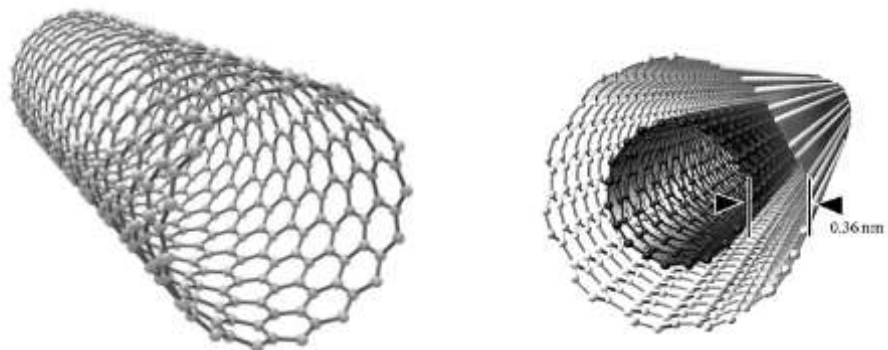
ฟลูเลอเรน (Fullerene) เป็นอัญมณีของคาร์บอน ตั้งขึ้นตามสถาปัตยกรรมิกัน ซึ่งว่าริชาร์ด บัก มินสเตอร์ ฟลูเลอร์ (R. Buckminster Fuller) เป็นคนแรกที่สร้างโครงสร้างรูปครึ่งวงกลมขนาดใหญ่ที่ประกอบด้วยแผ่นวงแหวนหกเหลี่ยม (บางครั้งก็เป็นวงแหวนเจ็ดเหลี่ยม) ก้อนไม่ให้แผ่นวงแหวนเคลื่อนเป็นแผ่นเรียบ มีลักษณะคล้ายลูกฟุตบอล ดังภาพ 2.1 เป็นอันวนไฟฟ้า แต่ไม่มีสารเจือปนปริมาณมากพอเพียงจะสามารถเปลี่ยนสมบัติเป็นตัวนำ หรือสารกึ่งตัวนำ พบรด้วยธรรมชาติ เช่น ในเขม่าของเทียนไน และไส้ตาะเกียงของน้ำมันก้าด เป็นต้น



ภาพ 2.1 โครงสร้างของคาร์บอนหลัก (C₆₀) หรือบักกีบอล (Buckyballs)
ที่มา : <https://steemit.com/information-fullerene-buckyballs>

2.1.2 โครงสร้างแบบหนึ่งมิติ

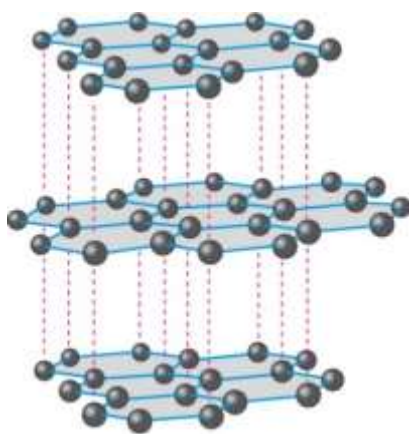
มีลักษณะโครงสร้างเปรียบเสมือนแผ่นกราฟีนที่ม้วนตัวเข้าเป็นท่อ โดยท่อ มีขนาดของเส้นผ่านศูนย์กลางอยู่ในระดับนาโนเมตร และมีขนาดความยาวของท่อในระดับไมโครเมตร ดังภาพ 2.2 เมื่อเปรียบเทียบอัตราส่วนระหว่างความยาวกับเส้นผ่านศูนย์กลางท่อทำให้ดูเหมือนว่าเป็นเส้นยาว เมื่อเทียบกับความยาวของท่อในแนวหนึ่งมิติ เรียกว่า ท่อนาโนคาร์บอน (Carbon Nanotube : CNTs) โครงสร้างประกอบด้วยแผ่นของแกรไฟต์ม้วนเป็นหลอด และปิดหัวท้ายด้วยครึ่งทรงกลมของฟลูเลอริน ซึ่งสามารถนำมาเป็นวัสดุเสริมความแข็งแรงที่ดีในวัสดุผสม



ภาพ 2.2 โครงสร้างของท่อนาโนคาร์บอน
ที่มา : <https://www.researchgate.net>

2.1.3 โครงสร้างแบบสองมิติ

โครงสร้างแบบสองมิติมีลักษณะเป็นแผ่นแผ่นของอะตอมคาร์บอนวางชั้นทับกันในแนวระนาบโดยในระนาบเดียวกันการบอนจะยึดเหนี่ยวกับการบอนอีกสามอะตอมด้วยพันธะโควาเลนต์ ส่วนพันธะที่เหลือจะยึดกับระนาบระหว่างชั้นด้วยแรงแวนเดอร์วัลส์ (Van Der Waals Forces) ดังนั้นระหว่างชั้นจะมีการยืดเกağaกันอย่างหลวມ ๆ ดังภาพ 2.3 แสดงให้เหตุชั้นสามารถเลื่อนไหไปมาได้ ทำให้มีสมบัติในการหล่อล่ำได้ดี โครงสร้างนี้จะพบว่าเป็นโครงสร้างของแกรไฟต์ (Graphite) หรือที่เรารู้จักกันดีอีกชื่อหนึ่ง คือ ไส้ดินสอ



ภาพ 2.3 ลักษณะโครงสร้างทางเคมีของแกรไฟต์

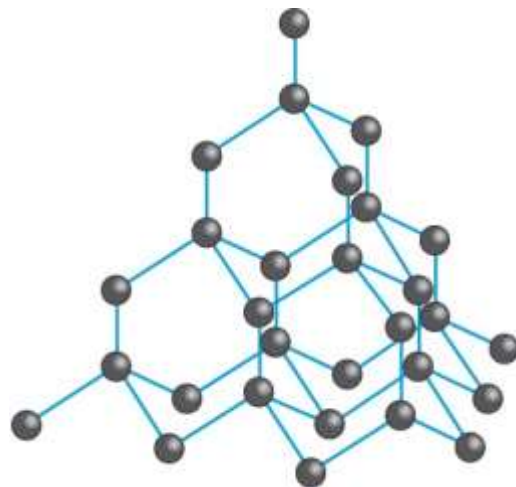
ที่มา : <https://chemju.wordpress.com>

แกรไฟต์มีโครงสร้างเป็นผลึกที่แตกต่างจากเพชรอย่างเด่นชัด อีกทั้งยังมีความเสียรุนที่อุณหภูมิห้อง และความดันที่หนึ่งบรรยายกาศมากกว่าเพชร คุณสมบัติของแกรไฟต์มีหลายประการ เช่น ความแข็งแรง ความเสียรุนทางเคมีที่สูง และบรรยายกาศที่ไม่เกิดออกไซด์ มีการนำความร้อนที่ดีดูดซับก้าชาได้ดี สัมประสิทธิ์การขยายตัวทางความร้อนต่ำ และทนต่อการแตกหักในการเปลี่ยนแปลงอุณหภูมิอย่างฉับพลันได้ดี เป็นต้น

2.1.4 โครงสร้างแบบสามมิติ

โครงสร้างรูปแบบนี้เกิดจากการยึดเหนี่ยวกันของอะตอมคาร์บอนด้วยพันธะโควาเลนต์ โครงสร้างรูปแบบนี้เกิดจากการยึดเหนี่ยวกันของอะตอมคาร์บอนด้วยพันธะโควาเลนต์ (Covalent - Bond) มีการจัดเรียงอิเล็กตรอนแบบ sp^3 ทำให้โครงสร้างแบบสามมิตินี้มีความแข็งแรงเป็นอย่างมาก สามารถพับทั่วไปในรูปของเพชร ดังภาพ 2.4 จากโครงสร้างดังกล่าวจึงเป็นที่ยอมรับโดยทั่วโลกว่า เพชรเป็นวัสดุที่มีความแข็งสูงมาก (เป็นวัสดุที่แข็งแรงที่สุด) และมีความสามารถในการนำไปใช้ได้ต่อ

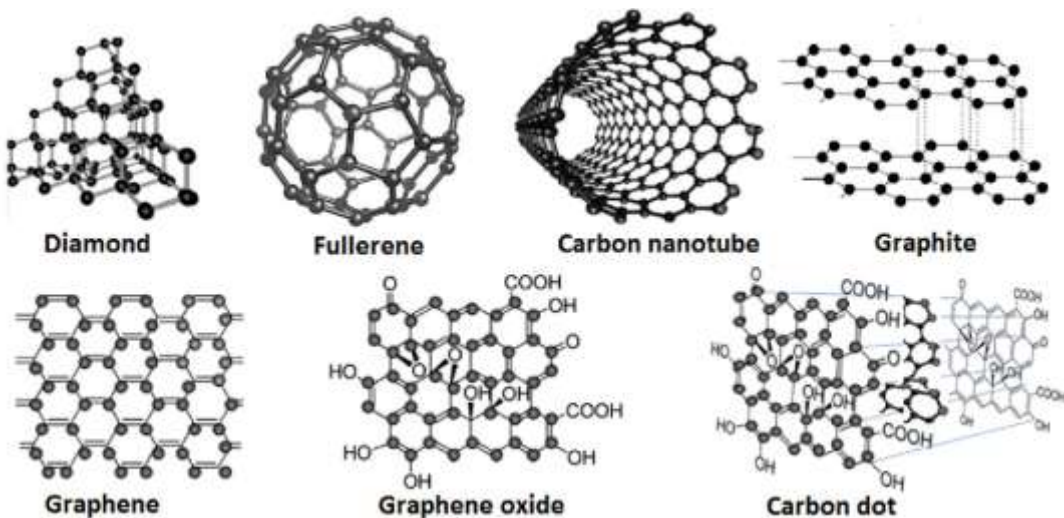
ลักษณะเหล่านี้มีผลจากลักษณะโครงสร้างพลิก และพันธะโค瓦เลนต์ที่แข็งแรง นอกจานี้เพชรยังมีความสามารถในการนำความร้อนได้สูงมากเมื่อเทียบกับวัสดุโลหะตัวอื่น ๆ มีความโปร่งใสต่อแสงขาว และอินฟารे�ด มีดัชนีหักเหที่สูง พลิกเดียวขนาดใหญ่ของเพชรใช้ในงานอัญมณี ส่วนในทางอุตสาหกรรมใช้สำหรับงานขัด หรือใช้ตัดวัสดุอื่นที่มีความแข็งน้อยกว่า



ภาพ 2.4 ลักษณะโครงสร้างทางเคมีของเพชร
ที่มา : <https://www.minichemistry.com>

2.2 กราฟีน (Graphene)

กราฟีน โดยทั่วไปจะเรียกว่าเป็นวัสดุแผ่นเสมอสองมิติ ประกอบด้วยธาตุคาร์บอนเรียงตัวต่อกันเป็นวงหลาเหลี่ยม (Hexagonal) ด้วยพันธะโควาเลนต์ที่มีความแข็งแรง และเชื่อมต่อกันเป็นโครงร่างลักษณะเหมือนกับรังผึ้ง ดังภาพ 2.5 ทำให้มีความแข็งแกร่งกว่าเพชร และแข็งแกร่งกว่าเหล็กกล้าถึง 200 เท่า กราฟีนนั้นโปร่งใส (Transparent) และสามารถส่องผ่านได้กว่า 97 เปอร์เซ็นต์ เป็นวัสดุที่บางที่สุดในโลก ซึ่งมีความบางกว่าเส้นผมของคนเราเป็นล้านเท่า เพราะฉะนั้นเราจึงไม่สามารถมองเห็นได้ด้วยตาเปล่า ขณะเดียวกันกราฟีนยังนำไปพิพากษาได้ดีกว่าโลหะทองแดงถึง 4 เท่า เพื่อการส่งผ่านอิเล็กตรอนเป็นไปอย่างรวดเร็ว และในทางทฤษฎีกราฟีนที่มีน้ำหนักเพียงแค่ 1 กรัม จะมีพื้นที่ผิวมากถึง 2,360 ตารางเมตร จากสมบัติที่สำคัญ และโดดเด่นเหล่านี้ส่งผลให้นักวิทยาศาสตร์ และนักวิจัยสนใจกราฟีนมาพัฒนาเป็นวัสดุชนิดใหม่ และนำมาใช้ในอุปกรณ์อิเล็กทรอนิกส์ประเภทต่าง ๆ เช่น จอภาพที่โค้งงอได้ ทรานซิสเตอร์เซ็นเซอร์ แบตเตอรี่ ชุปเปอร์ค่า ปานิชลเตอร์ และวัสดุคอมโพสิต เป็นต้น



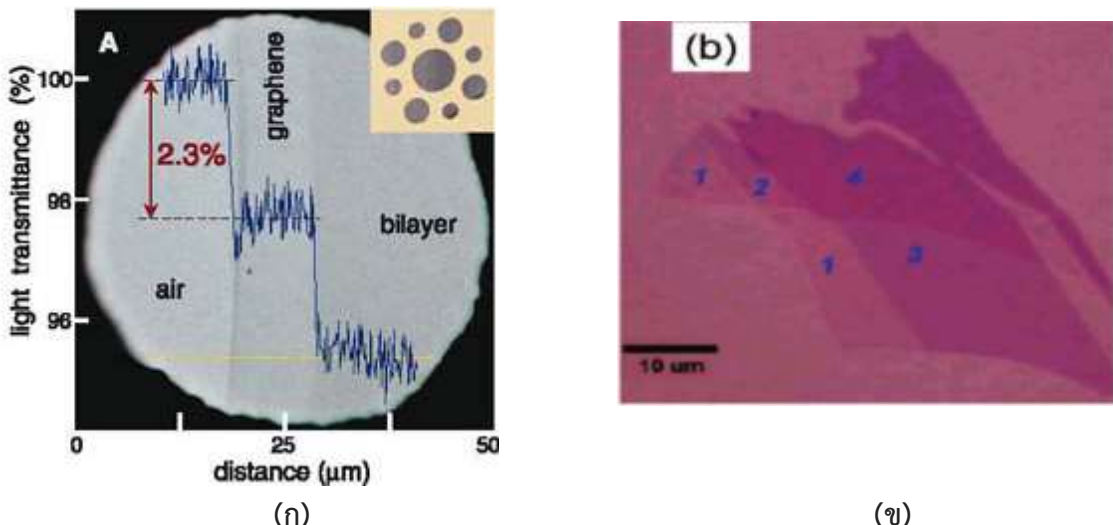
ภาพ 2.5 ความเข้มข้นของโครงสร้างของอัญมณีต่าง ๆ ของการบอนผ่านโครงสร้างกราฟีน
ที่มา : <https://www.nanorh.com>

2.2.1 สมบัติเชิงกล (Mechanical Properties)

กราฟีนได้รับสมญานามว่าเป็นวัสดุที่มีความแข็งแรงที่สุดในโลก แกรฟีน มีความแข็งแรงมาก โดยมีค่าความแข็งแรงต้านการแตกหัก (Breaking Strength) สูงถึง 42 นิวตันต่ำเมตร ค่าความเครียด เชิงกลประมาณ 25 เปลอร์เซ็นต์ ค่าyoung's modulus (Young's Modulus) สูงถึง 1 แทรบปascal และค่าความแข็งแรงภายใน (Intrinsic Strength) สูงถึง 130 กิกะปascal ซึ่งมีค่าใกล้เคียงกับค่าที่คำนวณได้ตามทฤษฎี

2.2.2 สมบัติทางแสง (Optical Properties)

การส่งผ่านแสง (Optical Transmittance) และการสะท้อนแสง (Reflectance) ของกราฟีน ในการวัดพบว่าความทึบแสงของกราฟีนแต่ละชั้นจะอยู่ที่ประมาณ 2.3 เปลอร์เซ็นต์ ของความเข้มแสงทั้งหมดที่เป็นอิสระของความยาวคลื่นแสงในโดเมน (Domain) โดยแทนค่าด้วย $\pi\alpha$ โดย α คือ การปรับโครงสร้างคงที่ (Fine Structure Constant) ดังนั้นทำให้กราฟีนไม่แสดงสีใด ๆ ดังภาพ 2.6



ภาพ 2.6 ความโปร่งแสงของกราฟีนและกราฟีน 2 ชั้น (ก) และภาพจากกล้องจุลทรรศน์ (ข)

ที่มา : Zhu et al., 2010

2.2.3 สมบัติทางไฟฟ้า (Electronic Properties)

การนำไฟฟ้าส่วนใหญ่อาศัยโครงสร้างที่ต่อเนื่องกันตามแนวยาว และประกอบไปด้วยอิเล็กตรอนอิสระในส่วนของออร์บิทัลไฟฟ้า (π Orbital) โดยโ汾อนเสียง (Acoustic Phonon) มีความหนาแน่นของตัวนำไฟฟ้าอยู่ที่ $n = 1,012$ ต่อเซนติเมตร ความต้านทานของแผ่นสองมิติที่เรียกว่าความต้านทานต่อหน่วย (Resistance Per Square) จะมากกว่า 31 โอห์ม เมื่อใช้ชั้นของแผ่นกราฟีนแบบหนา การนำไฟฟ้าจะอยู่ที่ 0.96×10^6 ซีเมนต์ต่อเซนติเมตร ซึ่งทำให้การนำไฟฟ้าค่อนข้างสูงกว่าการนำไฟฟ้าของทองแดงซึ่งอยู่ที่ 0.60×10^6 ซีเมนต์ต่อเซนติเมตร

2.2.4 การนำความร้อนของกราฟีน (Thermal Properties)

การนำความร้อนของกราฟีนถูกกำหนดโดยโ汾อน (Phonon) หรือความเร็วเสียงในกราฟีนมีค่าสูงมาก ความเร็วโ汾อนจะแปรผันโดยตรงกับค่าการนำความร้อน ดังนั้นยิ่งความเร็วโ汾อนมีค่าสูงมากเท่าใดยิ่งส่งผลให้ค่าการนำความร้อนสูงมากไปด้วย สามารถได้ประมาณ 5,000 วัตต์ต่อเมตร-เคลวิน โดยทองแดงสามารถนำความร้อนที่อุณหภูมิห้องอยู่ที่ 401 วัตต์ต่อเมตร-เคลวิน ดังนั้ngraphene จึงสามารถนำความร้อนได้ตีกันว่าทองแดง 10 เท่า

2.2.5 การสังเคราะห์กราฟีน

การสังเคราะห์กราฟีนแบ่งออกได้เป็น 2 กระบวนการ ดังนี้

1. กระบวนการจากเล็กไปใหญ่ คือ กระบวนการสร้างกราฟีนที่มีความหนาระดับนาโนเมตร การจัดเรียงของโมเลกุลอะตอมขนาดเล็กจนกลายเป็นโครงสร้างขนาดใหญ่ กระบวนการสร้างจากเล็กไปใหญ่ เช่น การสังเคราะห์ฟิล์มกราฟีนด้วยวิธีอโรเจททางเคมีโดยใช้ก๊าซไฮโดรคาร์บอน เช่น มีเทน

(CH₄) คาร์บอนมอนอกไซด์(CO) อะเซทิลีน (C₂H₂) และเอทานอล (C₂H₅OH) เป็นต้น เข้าไปในเตาเผา ที่มีอุณหภูมิสูง ทำให้โมเลกุลของก๊าซแตกตัวออกเป็นอะตอมของคาร์บอน และจับตัวกันเป็นโครงสร้างที่เป็นร่างแหของแผ่นกราฟินบนวัสดุฐาน ซึ่งสังเคราะห์พิล์มกราฟินหนา 1-10 ชั้น ที่มีลักษณะเป็นแผ่นยาวต่อเนื่องก่อตัวบนวัสดุฐานไม่มีความผิดพลาดของผลึก และยังคงมีสมบัติการนำไฟฟ้าที่ดีเมื่อเทียบกับการสังเคราะห์ด้วยวิธีอื่น ปัจจัยที่มีผลต่อลักษณะฟิล์ม เช่น อุณหภูมิ ความดัน อัตราการไหลของก๊าซ สัดส่วนอะตอมของธาตุคาร์บอนต่อออกซิเจน และไฮโดรเจน (C:O:H) ในระบบ วิธีการคัดสีขาว วิธีใช้ไฟฟ้ากระแสตรงต่อกันแต่งแกรไฟต์ 2 แท่งที่วางจ่อใกล้ ๆ กัน โดยให้ระยะห่างระหว่างปลายแท่งประมาณ 1-3 มิลลิเมตร ภายใต้บรรยากาศก๊าซเฉื่อย เช่น ไฮเดรียม (He) หรือ 氩กอน (Ar) เป็นต้น ทำให้เกิดเป็นสถานะพลาสม่า และมีอุณหภูมิสูงบริเวณระหว่างขั้ว อิเล็กโทรด ส่งผลให้แท่งแกรไฟต์ระเหิดกลایเป็นไอ และควบแน่นกลایเป็นแผ่นกราฟิน มีลักษณะ เป็นเกล็ดบริเวณปลายแท่งแกรไฟต์ที่ต่อ กับขั้วลง การควบคุมขนาด หรือจำนวนชั้นทำได้โดยควบคุม ความดัน อุณหภูมิ และการผสมผงโลหะสารตัวเร่งปฏิมาณลีกน้อย เช่น เหล็ก (Fe) nickel (Ni) หรือ โคบอลต์ (Co) อย่างโดยย่างหนึ่ง ข้อดีของการสร้างจากเล็กไปใหญ่ คือ สามารถทำได้ง่าย กว่าการลดขนาดจากขนาดใหญ่จนเล็กในระดับนาโนเมตร ฟิล์มที่สังเคราะห์ได้มีความบริสุทธิ์สูง ผลึก ของฟิล์มขนาดเล็ก สมบัติการนำไฟฟ้าสูง และพบความบกพร่องในโครงสร้างผลึกน้อยกว่า ข้อเสียของ วิธีการนี้ คือ ใช้อุณหภูมิสูงเพื่อทำให้เกิดการลายตัวของก๊าซในปฏิกิริยา ตันทุนสูง และใช้เวลานาน

2. กระบวนการจากใหญ่ไปเล็ก คือ กระบวนการสังเคราะห์กราฟินที่มีขนาดนาโนเมตร โดย การบดย่อยอนุภาคขนาดใหญ่ให้มีขนาดเล็กลงจนมีขนาดลดลงจนถึงในระดับนาโนเมตร กระบวนการ จากใหญ่ไปเล็ก เช่น กระบวนการอิเล็กโทรลิซิส (Electrolysis) กระบวนการสังเคราะห์ฟิล์มกราฟิน จะเสร็จภายในขั้นตอนเดียว โดยใช้แท่งแกรไฟต์บริสุทธิ์เป็นขั้วอิเล็กโทรดในสารละลายอิเล็กโทรไลต์ เมื่อต่อขั้วไฟฟ้าจะทำให้เกิดการกัดกร่อนบริเวณขั้วแอนодที่เป็นแท่งแกรไฟต์ และแตกต่อ ก่อนสู่ฐาน ของหม้อปฏิกิริณ์ ตากอนจะถูกล้าง และทำให้แห้ง วิธีนี้เป็นการสังเคราะห์แผ่นกราฟินที่มีความหนา เพียง 1 อะตอม ข้อดี คือ เป็นกระบวนการที่เป็นมิตรกับสิ่งแวดล้อม การสังเคราะห์ไม่ใช้อุณหภูมิ หรือก๊าซ แต่มีข้อเสีย คือ ใช้สารละลายไอโอนิกสำหรับอิเล็กโทรไลต์ซึ่งมีราคาแพง นอกจากนี้ยังมี กระบวนการทำให้ท่อนาโนคาร์บอนผนังเดี่ยวแตก และคลื่อออกเป็นแผ่น

2.3 ก๊าซอะเซทิลีน (Acetylene : C₂ H₂)

2.3.1 สมบัติทางกายภาพของก๊าซอะเซทิลีน

อะเซทิลีนเป็นก๊าซที่มีความไวไฟมาก ไม่มีสี มีกลิ่น (ฉุนคล้ายกระเทียม) จากคุณสมบัติของอะเซทิลีนที่มีความสามารถละลายได้ดีในสารละลายอะซิโตน (300:1 โดยปริมาตรที่ 175 ปอนด์ต่อตารางนิว) ทำให้เราสามารถจัดจำแนกอย่างอะเซทิลีน โดยอาศัยสารละลายอะซิโตนได้ ดังนั้นในห้องก๊าซอะเซทิลีนจึงบรรจุวัสดุซึ่งช่วยสามารถจับสารละลายอะซิโตนไว้อยู่ภายใน ซึ่งทำให้ห้องก๊าซอะเซทิลีนแตกต่างไปจากห้องก๊าซทั่วไป

ก๊าซอะเซทิลีนใช้เป็นก๊าซเชือเพลิงด้วยการผสมออกซิเจนกับอะเซทิลีน (Oxy-Acetylene Welding) ใช้ในงานตัด (Cutting) งานเช่าร่อง (Gouging) งานเชื่อม (Welding) การเผาให้ความร้อนงานทำความสะอาดด้วยเปลวไฟ เคลือบผิวแข็งที่ผิวน้ำโลหะ (Surface Hardening) ปัดเป่าผงฝุ่นจากโลหะ และอีกหลายกระบวนการ นอกจากนี้ยังใช้เป็นเชือเพลิงสำหรับอุปกรณ์ที่เรียกว่า เครื่องมือวิเคราะห์ธาตุ เชิงคุณภาพ และเชิงปริมาณ (Atomic Absorption Spectrophotometer) ใช้เป็นวัตถุดับในกระบวนการสังเคราะห์ทางอุตสาหกรรม และเป็นสารประกอบทางเคมีของสารเคมีต่าง ๆ เช่น ไวนิลคลอไรด์ (C₂H₃Cl)_n ไวนิลอะซีเตต (C₄H₆O₂) เป็นต้น

2.3.2 ค่าคงที่ทางกายภาพ (Physical Constants)

- มวลโมเลกุล 26.038
- ความหนาแน่นที่ 0 องศาเซลเซียส 1.171 กิโลกรัมต่อลูกบาศก์เมตร
- ปริมาตรจำเพาะที่ 15 องศาเซลเซียส 0.903 ลูกบาศก์เมตรต่อกิโลกรัม
- ให้ความร้อนสูง 3,100 องศาเซลเซียส

2.3.3 ข้อควรระวังในการใช้อะเซทิลีน

อะซิเทลีนในสถานะก๊าซภายใต้ความดัน อาจเกิดการระเบิดขึ้นได้ ดังนั้น

- อย่าใช้ก๊าซอะเซทิลีโนิสระที่ความดันในการใช้งานนอกห้องก๊าซเกิน 15 ปอนด์ต่อตารางนิว (psi.)
- อย่าใช้ก๊าซอะเซทิลีนโดยตรงกับทองแดงที่ไม่มีโลหะเจือ (Alloy) ผสมอยู่
- เมื่อปิดบิดติงานกับก๊าซอะเซทิลีนควรตั้งห้องก๊าซไว้ทุกครั้ง

2.4 ไฮโดรเจน (Hydrogen : H₂)

2.4.1 สมบัติทางกายภาพของก๊าซไฮโดรเจน

ก๊าซไฮโดรเจนเป็นก๊าซไม่มีสี ไม่มีกลิ่น ไม่มีรส และไม่มีพิษ แต่ไวไฟ และเป็นอโลหะ เป็นก๊าซที่เบากว่าอากาศ ในบรรยากาศทั่วไปมีแก๊สไฮโดรเจนอยู่เพียงเล็กน้อยประมาณ 0.1 ส่วนในล้านส่วน (ppm.) ลูกติดไฟได้ด้วยในบรรยากาศ ก๊าซไฮโดรเจนที่เกิดขึ้นเองตามธรรมชาติมักจะหายไปในเวลาอันรวดเร็ว เนื่องจากน้ำหนักที่เบามากจึงทำให้ลอยขึ้นไปในอากาศ ดังนั้นเราจึงมักจะพบไฮโดรเจนอยู่ในน้ำ และสารประกอบไฮดรคาร์บอน โดยทั่วไปไฮโดรเจนในสภาพปกติจะอยู่ในสถานะก๊าซ และจะกล้ายเป็นของเหลวเมื่ออุณหภูมิตกลงต่ำกว่า -253 องศาเซลเซียส กล้ายเป็นของแข็งเมื่ออุณหภูมิต่ำกว่า -259.15 องศาเซลเซียส มีความแข็งแรงในการยืดเหยี่ยวของโน้มเลกุลเท่ากับ 436 กิโลจูลต่้อมลตั้งนั้นเมื่อต้องการให้ไฮโดรเจนโน้มเลกุลทำปฏิกิริยาจึงต้องใช้พลังงานเพื่อทำลายความแข็งแรงในการยืดเหยี่ยวโน้มเลกุลดังกล่าว เพื่อเพิ่มอุณหภูมิในการเร่งปฏิกิริยา เป็นต้น

2.4.2 ค่าคงที่ทางกายภาพ (Physical Constants)

- จุดหลอมเหลว 3.99 เคลวิน หรือ -259.16 องศาเซลเซียส
- จุดเดือด 20.271 เคลวิน หรือ -252.879 องศาเซลเซียส
- ความร้อนของการหลอมเหลว 0.117 กิโลจูลต่้อมล
- ความร้อนของการกล้ายเป็นไอ 0.904 กิโลจูลต่้อมล
- ความร้อนจำเพาะ 28.836 จูลต่้อมลต่ำเคลวิน

2.4.3 การนำไปใช้ประโยชน์

- การใช้กับรถยนต์ เพื่อเพิ่มประสิทธิภาพการเผาไหม้
- ใช้ในกระบวนการไฮโดรเจน化 (Hydrogenation) เพื่อสังเคราะห์น้ำมันจากพืชและน้ำมันจากสัตว์
- ใช้ร่วมกับคลอริน เพื่อผลิตไฮโดรเจนคลอไรด์ (HCl)
- ใช้ร่วมกับออกซิเจน ในการตัดชิ้นงานใต้น้ำ
- ไฮโดรเจนเหลวใช้เป็นเชื้อเพลิงของจรวด และเป็นส่วนผสมสำคัญในการสร้างปฏิกิริยานิวเคลียร์ เป็นต้น

2.5 อาร์กอน (Argon : Ar)

2.5.1 คุณสมบัติทางกายภาพของก๊าซอาร์กอน

ก๊าซอาร์กอนประกอบเป็น 1 เปอร์เซ็นต์ ของบรรยากาศของโลก ชื่ออาร์กอน มาจากภาษากรีกที่แปลว่า “ไม่ว่องไว” (Inactive) ในขณะที่มีการอ้างอิงถึงความจริงที่ว่า องค์ประกอบเกือบจะไม่มีปฏิกิริยาทางเคมีอุดต์สมบูรณ์ (ครบ 8 อิเล็กตรอน) ในเปลือกนอกทำให้อtom อาร์กอนที่มีความเสถียรภาพ และความทนทานต่อพันธะกับองค์ประกอบอื่น ๆ ที่อุณหภูมิสามจุดเท่ากับ 83.80 เคลวิน

2.5.2 ค่าคงที่ทางกายภาพ (Physical Constants)

1. จุดหลอมเหลว 83.80 เคลวิน หรือ -189.35 องศาเซลเซียส
2. จุดเดือด 87.30 เคลวิน หรือ -185.85 องศาเซลเซียส
3. ความร้อนของการหลอมเหลว 1.18 กิโลจูลต่ำโมล
4. ความร้อนของการกลایเป็นไอ 6.43 กิโลจูลต่ำโมล
5. ความร้อนจำเพาะ 20.786 จูลต่ำโมลต่ำเคลวิน

แม้ว่าอาร์กอนจะไม่เป็นพิษ แต่มีความหนาแน่นมากกว่าอากาศถึง 38 เปอร์เซ็นต์ ดังนั้นจึงเป็นอันตรายเมื่อยู่ในที่ปิด เพราะจะทำให้หายใจไม่อxygen ลง อาการนั้นยากที่จะตรวจจับได้ เพราะไม่มีสี ไม่มีกลิ่น และไม่มีรส

2.5.3 การนำไปใช้ประโยชน์

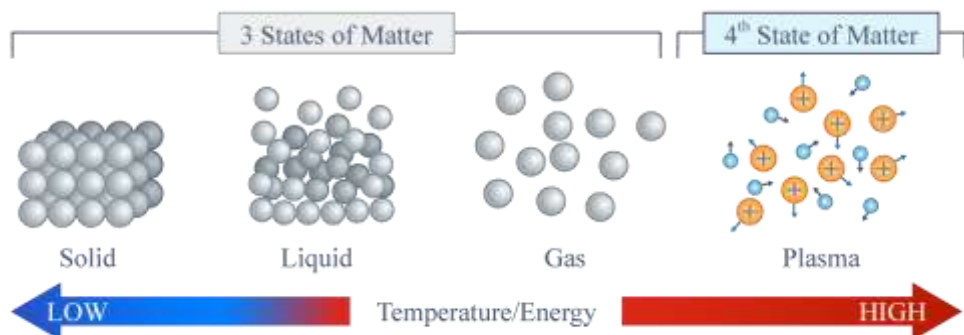
1. นำไปใช้ในกระบวนการทางอุตสาหกรรมอุณหภูมิสูง
2. ใช้งานทางการแพทย์ในขั้นตอนการรักษาด้วยความเย็น เช่น การใช้อาร์กอนเหลวทำลายเนื้อเยื่อ เป็นต้น
3. เป็นแก๊สที่มีราคาถูกที่สุด ใช้มากที่สุดในอุตสาหกรรมถลุง และการเชื่อมโลหะ
4. ใช้ในหลอดไฟพิเศษ เช่น นีออน หลอดฟลูอเรสเซนต์ และหลอดไอล์ เป็นต้น

2.6 พลาสม่า (Plasma)

พลาสม่าจัดได้ว่าเป็นสถานะที่ 4 ของสาร เนื่องจากมีลักษณะเฉพาะที่แตกต่างไปจากสถานะอื่นอย่างชัดเจน พลาสม่าประกอบด้วยอนุภาคที่มีประจุ ทั้งประจุบวก และลบ ในสัดส่วนที่ทำให้ประจุสุทธิเป็นศูนย์ การอยู่ร่วมกันของอนุภาคเหล่านี้เป็นแบบประหนึ่งเป็นกลาง (Quasi-Neutral) ซึ่งหมายความว่า อิเล็กตรอน และไอออนในบริเวณนั้นโดยรวมแล้วมีจำนวนเท่า ๆ กัน และแสดงพฤติกรรมร่วม (Collective Behavior) พฤติกรรมร่วมนี้ หมายถึง การเคลื่อนที่ของอนุภาคในพลาสม่าไม่เพียงแต่จะขึ้นอยู่กับเงื่อนไขในบริเวณนั้น ๆ แต่เป็นผลโดยรวมจากพลาสม่าส่วนใหญ่

มากกว่าจะเป็นผลมาจากการชนกันของอนุภาคที่อยู่ใกล้เคียงกัน เนื่องจากอนุภาคในพลาสม่าที่สถานะสมดุลจะมีการสั่นด้วยความถี่ที่สูงกว่าความถี่ในการชนกันของอนุภาค 2 ตัวที่อยู่ใกล้กัน ดังนั้นอาจกล่าวได้ว่าพหุติกรรมร่วมนี้เป็นพหุติกรรมที่กลุ่มพลาสม่าแสดงออกมาร่วมกัน

พลาสม่าสามารถเกิดได้โดยการให้สนามไฟฟ้าปริมาณมากแก่ก๊าซที่เป็นกําลัง เมื่อพลังงานส่งผ่านไปยังอิเล็กตรอนอิสระมากพอจะทำให้อิเล็กตรอนอิสระชนกับอะตอม และทำให้อิเล็กตรอนหลุดออกจากอะตอม กระบวนการนี้เรียกว่า กระบวนการแตกตัวเป็นไอออน (Ionization) ซึ่งจะเกิดขึ้นอย่างรวดเร็วทำให้จำนวนอิเล็กตรอนที่หลุดออกจากนี้เพิ่มจำนวนขึ้นอย่างมาก ซึ่งจะทำให้ก๊าซแตกตัว และกลายเป็นพลาasma ในที่สุด ดังภาพ 2.7



ภาพ 2.7 แสดงความแตกต่างของสารในแต่ละสถานะ
ที่มา : <http://flatearthmatters.blogspot.com>

พลาสมามีสมบัติเฉพาะที่แตกต่างจากสถานะอื่น ๆ (ของแข็งของเหลว และกําลัง) โดยมีคุณสมบัติ 3 ประการ ประการแรก ความยาวเดอบายด์ (Debye Length : Ap) ซึ่งเป็นระยะที่สนามจากประจุนั้นโดนกำบัง (Shielding) และโดยหลักพื้นฐานของพลาสมาระยะนี้จะต้องมีค่าน้อยกว่าระยะระหว่างพลาสมามาก ๆ ($Ap \ll L$ คือ ระยะระหว่างพลาสม่า) ประการที่สอง จำนวนอนุภาคภายในทรงกลมเดอบายด์ (Number of Particle) ซึ่งเป็นทรงกลมที่มีรัศมีเท่ากับความยาวเดอบายด์ จะต้องมีอนุภาคอยู่จำนวนมาก และประการสุดท้าย ความถี่พลาสม่า (Plasma Frequency : ω_p) คือ ความถี่ของการเคลื่อนที่ของอิเล็กตรอน เพื่อทำให้พลาสมากลับคืนสู่สภาพความเป็นกําลังทางไฟฟ้าภายหลังจากที่พลาสมากู้รบกวน กล่าวคือ เมื่อพลาสมากู้รบกวนโดยศักยภายนอกมาระทำทำให้อิเล็กตรอนซึ่งมีมวลน้อยกว่าไอนามากเคลื่อนที่เปลี่ยนไปจากตำแหน่งสมดุล พลาสมาก็เสียความเป็นกําลังทางไฟฟ้า ฉะนั้นเพื่อทำให้พลาสมากลับเข้าสู่สภาพความเป็นกําลังทางไฟฟ้าตามเดิมจะเกิดแรงดึงกลับกระทำต่ออิเล็กตรอนให้เคลื่อนที่กลับไปยังจุดสมดุล แต่เนื่องจากแรงดึงดูดอิเล็กตรอนจะเคลื่อนที่โดยจุดสมดุล และเกิดการสั่นรอบจุดสมดุลนี้ด้วยความถี่เรียกว่า ความถี่ของ

พลาสma และการสั่นนี้ก็จะเกิดขึ้นอย่างรวดเร็วจนไม่เวลาก่ออ่อนไม่มีเวลาที่จะตอบสนองต่อสนามไฟฟ้าที่เกิดการเปลี่ยนแปลงอย่างรวดเร็วนี้จนสามารถพิจารณาได้ว่า ไออ่อนมีตำแหน่งคงที่

2.6.1 กระบวนการเกิดพลาสma

1. การแตกตัวเป็นไออ่อน (Ionization)

ในการเกิดปฏิกิริยาของพลาสma ในห้องสุญญากาศ ซึ่งมีกําชีไฟหล่นในระดับคงที่ และความดันต่ำมาก ไม่เลกุล หรืออะตอมของกําชีในสุญญากาศอาศัยการชนกันของอิเล็กตรอนอิสระกับไม่เลกุล หรืออะตอม โดยคลื่นวิทยุ หรือคลื่นไมโครเวฟทำหน้าที่เร่งอิเล็กตรอนให้มีพลังงานจำนวนมากไปชนกับไม่เลกุล หรืออะตอม ทำให้อะตอมถูกแยกเป็นไออ่อน และเกิดการรุ่งแสง (Glow Discharge) เป็นสถานะเป็นพลาสma จะได้ชนิดของกําชีที่มีการเปล่งแสงเหนือม่วง (Ultraviolet) ที่เกิดขึ้นความถี่ในช่วงที่มองเห็นได้ด้วยตาเปล่าจะอยู่ในช่วงความยาวคลื่น 400-700 นาโนเมตร ตัวอย่างเช่น การรุ่งแสงของกําชีอาร์กอนให้แสงสีขาวมันมีเงิน ดังแสดงในสมการ 2.1 – 2.3



2. การถูกกระตุ้น (Excitation)

พลังงานที่ส่งผ่านเมื่ออิเล็กตรอนกระโดดไปอยู่ในระดับพลังงานที่สูงกว่าทำให้อะตอมนั้นไปอยู่ในสถานะกระตุ้น กระบวนการนี้ คือ กระบวนการกระตุ้นสถานะของอะตอม ซึ่งแสดงว่าพลังงานจำนวนของอิเล็กตรอนมีค่าน้อยกว่าพลังงานในการแตกตัวเป็นไออ่อน ดังสมการ 2.4

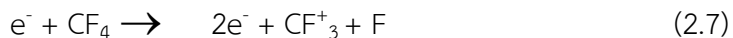


3. การแยกตัวออก (Dissociation)

เป็นกระบวนการที่เกิดจากการที่กําชีถูกกระทำโดยศักดิ์ของคลื่นความถี่วิทยุ เช่น กระบวนการแยกตัวออกของกําชีออกซิเจน ซึ่งสามารถแยกตัวออกได้เป็นออกซิเจน 2 อะตอม ดังสมการ 2.5



ผลของการแยกตัวจะเพิ่มประสิทธิภาพของการเกิดปฏิกิริยาทางเคมี คือ ผลผลิตที่ได้จะมีปฏิกิริยาความไวต่อการเกิดปฏิกิริยาที่เร็กว่าต่อนที่อะตอมยังไม่แยกตัว การแยกตัว (Dissociation) อาจเกิดคู่กับการแตกตัวเป็นไอออน (Ionization) หรือเมื่อใด ถ้าเกิดคู่กันจะเรียกว่า การแยกไอออน (Dissociative Ionization) ดังสมการ 2.6 -2.7



ผลของการรุ่งแสงของก๊าซที่ลดความดัน และศักย์ของคลื่นวิทยุที่ถูกกระตุ้นจะสังเกตเห็นพลาสมาที่เปล่งแสงที่เรียกว่า เกิดการรุ่งแสง (Glow Discharge) ซึ่งหมายถึง แสงของพลาสมาที่เปล่งออกมานี้จากพลังงานภายนอกที่ทำให้เวลน์ซึ่อเล็กตรอนถูกกระตุ้นจากสถานะพื้นเปลี่ยนสถานะไปอยู่ในสถานะถูกกระตุ้น โดยปกติอิเล็กตรอนสามารถอยู่ในสถานะกระตุ้นในช่วงเวลาที่สั้นมาก ๆ ประมาณ 10^{-18} วินาที จากนั้นเวลน์ซึ่อเล็กตรอนจะกลับสู่สภาพพื้น และปลดปล่อยพลังงานออกมาในรูปคลื่นแม่เหล็กไฟฟ้า และความถี่ของแสงในช่วงที่มองเห็น (Visible Light)

2.6.2 การตัดแปรสมบัติเชิงผิวสัมผัสด้วยพลาสมา

การจุ่ม การอาบพลาasma หรือประยุกต์พลาasma คือ การที่นำก๊าซที่ต้องการทำให้ลายเป็นพลาasma อยู่ในสถานะกระตุ้นอยู่ตลอดเวลาเกิดเป็นไอออนอิเล็กตรอน และอนุมูลอิสระต่าง ๆ ที่มีความเสถียรไม่สูง จากนั้นนำวัสดุต่าง ๆ ที่ต้องการปรับปรุงคุณสมบัติเชิงผิว เช่น พอลิเมอร์ เข้าไปอยู่ในพลาasma ซึ่งอนุภาคจะทำปฏิกิริยากับโมเลกุลของผิวสัมผัสดูเกิดเป็นชั้นพิล์มบางระดับนาโนเมตร และเกิดการยึดติดระหว่างชั้นพิล์มกับผิวสัมผัสด้วยกระบวนการพลาasma พอลิเมอร์ไรเซชัน (Plasma - Polymerization) โดยกระบวนการพลาasma พอลิเมอร์ไรเซชันที่เกิดขึ้นระหว่างผิวสัมผัสดูกับชั้นพิล์มบางนั้นสามารถเกิดขึ้นได้หลายแบบ เช่น การเชื่อมโยงข้าม (Cross-Linking) การแทนที่ (Deposition - Grafting) และแบบหมุนฟังก์ชัน (Functionalization) การประยุกต์พลาasma จะเกิดการเปลี่ยนแปลงเชิงฟิสิกส์เคมีอย่างรวดเร็วกับผิว และโครงสร้างทางเคมีของวัสดุ

การประยุกต์พลาasma สามารถแบ่งตามความตันที่ใช้ออกได้เป็น 2 วิธี ดังนี้

1. การประยุกต์พลาasma ในระบบสูญญากาศ (Vacuum Plasma Treatment)

การประยุกต์พลาasma ในระบบสูญญากาศเป็นวิธีที่นำไปในการปรับสภาพผิวสัมผัสดูต่าง ๆ โดยพลาasma จะถูกสร้างขึ้นจากการผ่านก๊าซความดันต่ำเข้าไปในภาชนะสูญญากาศ ก๊าซจะถูกกระตุ้นด้วยพลังงานซึ่งอาจจะอยู่ในรูปของคลื่นเสียงรังสีไมโครเวฟ หรือพลังงานไฟฟ้า ทำให้มोเลกุลของก๊าซเกิดการแตกตัวเป็นพลาasma อยู่ในรูปของไอออนอิเล็กตรอนอนุมูลอิสระต่าง ๆ โดยพื้นผิวที่สัมผัสพลาasma

จะถูกปกคลุมด้วยอนุภาคเล็ก ๆ และมีการถ่ายเทพลังงานจากอนุภาคพลาสม่าสู่ผิวสัมผัสก่อให้เกิดกระบวนการทางเคมี และฟิสิกส์ของพื้นผิวในลักษณะต่าง ๆ ซึ่งพื้นผิวจะมีการเปลี่ยนแปลงในระดับนาโน โดยไม่มีการเปลี่ยนแปลงสมบัติ หรือไม่มีผลกระทบต่อโครงสร้างของวัสดุในส่วนอื่น ๆ การที่ใช้ระบบความดันของก๊าซต่ำจะทำให้พลาสม่าที่เกิดขึ้นคงที่ และสม่ำเสมอ

2. การประยุกต์พลาสม่าในความดันปกติ (Atmospheric Plasma Treatment)

พลาสม่าในภาวะความดันปกติ หรือสภาพบรรยากาศ โดยทั่วไปการสร้างพลาสม่าในความดันปกติจะมีการปล่อยประจุแบบอาร์ค迪沙ร์จ ซึ่งมีพลังงานความหนาแน่นอิเล็กตรอน และอุณหภูมิสูง จึงไม่เหมาะสมในการนำไปปรับผิวสัมผัส เพราะพลาสม่าจะไม่ปักคลุมทั่วพื้นผิว และอุณหภูมิที่สูงจะทำให้วัสดุเกิดความเสียหาย ดังนั้นการประยุกต์พลาสม่าในความดันปกติจึงต้องมีการปรับสภาพ เพื่อช่วยให้สามารถนำพลาสมามาปรับสภาพผิวสัมผัสได้

2.7 การตกเคลือบด้วยไอเคมี (Chemical Vapor Deposition : CVD)

เป็นเทคนิคการเคลือบฟิล์มบางประเภทหนึ่ง มีการใช้อุ่นร้อนแพร่ทรายในอุตสาหกรรมไมโครอิเล็กทรอนิกส์ (Micro-Electronics) สารกึ่งตัวนำ (Semiconductor) และอุปกรณ์ระบบเครื่องกล และไฟฟ้าจุลภาค (Microelectromechanical System : MEMS) ในขั้นส่วนขนาดจุลภาคเหล่านี้จะประกอบด้วยชั้นฟิล์มบางของโลหะ สารกึ่งตัวนำ และอนวนไฟฟ้าซึ่งเรียงกันให้ได้สมบัติที่ต้องการ นอกจากรูปแบบของการใช้เทคนิคการตกเคลือบด้วยไอเคมีในงานอิเล็กทรอนิกส์แล้วยังนำมาใช้สร้างผิวเคลือบแข็งบนชั้นส่วนจกรกล และแม่พิมพ์ เพื่อลดการสึกหรอ และยืดอายุการใช้งานชั้นส่วนเหล่านั้น สาเหตุที่เทคนิคนี้มีชื่อว่า การตกเคลือบด้วยไอเคมี มาจากหลักการพื้นฐานของเทคนิคการเคลือบ ซึ่งต้องอาศัยปฏิกิริยาเคมีในการสังเคราะห์สารเคลือบที่อยู่ในสถานะของแข็งจากสารตั้งต้นที่อยู่ในสถานะไอ ทั้งนี้สารเคลือบที่ได้เป็นผลลัพธ์จากการทำปฏิกิริยากันระหว่างไอเคมีตั้งต้นกับพื้นผิวที่ต้องการเคลือบโดยตรง หรืออาจเป็นการทำปฏิกิริยาระหว่างไอเคมีมากกว่าหนึ่งชนิดอยู่เหนือพื้นผิว แล้วเกิดเป็นสารเคลือบบนพื้นผิวที่ต้องการก็ได้ การได้สารเคลือบที่ต้องการต้องอาศัยความรู้ความเข้าใจในการออกแบบปฏิกิริยาเคมีเป็นอย่างดี โดยทั่วไปกระบวนการเคลือบด้วยไอเคมีเริ่มจากการนำชิ้นงานที่ต้องการเคลือบใส่เข้าไปในตู้เคลือบที่เป็นระบบปิดเพื่อป้องกันการรั่วไหลของไอเคมี และลดการปนเปื้อนจากอากาศภายนอก จากนั้นจึงปั๊มอากาศภายในตู้ออกแล้วจ่ายไอเคมีเข้าสู่ตู้เคลือบจนถึงความดันที่ต้องการ ในขณะเดียวกันก็ให้ความร้อนภายในตู้เคลือบในระดับที่เหมาะสมต่อการเกิดปฏิกิริยาเคมีการสังเคราะห์สารเคลือบไอเสียที่เกิดจากกระบวนการจะถูกดูดออก รวมถึงออกหลีบต่าง ๆ บนผิวชิ้นงาน ส่งผลให้การเคลือบบนผิวเกิดได้อย่างทั่วถึง และมีความสม่ำเสมอสูง ถือว่าเป็น

จุดเด่นของการเคลือบด้วยไอเคมี และส่งผลให้เทคนิคนี้เป็นตัวเลือกหลักในการเคลือบฟิล์มบางๆ ชั้นงานที่มีรูปร่างซับซ้อน อย่างไรก็ตาม การเคลือบด้วยไอเคมีมีข้อด้อยที่ไอเคมี สารเคมีที่ใช้มักมีความอันตราย และเป็นพิษ สารเคลือบที่ได้อาจมีสารตั้งต้นเจือปนอยู่ และปฏิกิริยาเคมีส่วนใหญ่ต้องใช้ความร้อนค่อนข้างสูง ($700 - 1,100$ องศาเซลเซียส) ดังนั้นในปัจจุบันจึงมีการพัฒนาเทคนิคการเคลือบด้วยไอเคมีให้สามารถทำได้ที่อุณหภูมิต่ำลง เพื่อป้องกันความเสียหายของชั้นงานจากความร้อนที่ใช้ในกระบวนการ และมีการทดลองใช้สารเคมีตั้งต้นใหม่ ๆ เพื่อให้สารเคลือบที่มีสมบัติตามต้องการมากขึ้น โดยทั่วไปเทคโนโลยีการเคลือบด้วยไอเคมีสามารถแบ่งออกเป็นสองประเภทหลัก ๆ ตามแหล่งพลังงานที่ใช้ในการเกิดปฏิกิริยาเคมี คือ การเคลือบด้วยไอเคมีโดยอาศัยความร้อน และการเคลือบด้วยไอเคมีโดยอาศัยพลาสมา

2.7.1 การตกเคลือบด้วยไอเคมีโดยอาศัยความร้อน (Thermal Chemical Vapor Deposition Processes) เป็นกระบวนการการเคลือบด้วยไอเคมีที่อาศัยพลังงานความร้อนเป็นตัวก่อให้เกิดปฏิกิริยาเคมีในการสังเคราะห์สารเคลือบ แบ่งเป็นสองประเภทหลักตามความดันไอที่ใช้ในตู้เคลือบ ได้แก่ การตกเคลือบด้วยไอเคมีที่ความดันบรรยายกาศ (Atmospheric-Pressure Chemical Vapor Deposition : APCVD) และการตกเคลือบด้วยไอเคมีที่ความดันต่ำ (Low-Pressure Chemical Vapor Deposition : LPCVD)

2.7.2 การตกเคลือบด้วยไอเคมีโดยอาศัยพลาasma (Plasma-Enhanced Chemical Vapor Deposition Processes : PECVD) เนื่องจากการเคลือบด้วยกระบวนการการตกเคลือบด้วยไอเคมีโดยอาศัยความร้อน ต้องใช้อุณหภูมิสูงจึงไม่สามารถใช้กับงานบางประเภทได้ เช่น การผลิตชิปวงจรต้องมีการเคลือบท่อหุ้มตัววงจรด้วยสารเคลือบซิลิคอนในไตรดเพื่อป้องกันระบบวงจรที่อยู่ภายใต้ความร้อนในบรรยายกาศ ซึ่งขั้นตอนนี้ไม่สามารถใช้อุณหภูมิเกิน 300 องศาเซลเซียสได้ เนื่องจากจะทำให้ชิปวงจรรวมเสียหาย ดังนั้นจึงมีการพัฒนาเทคนิคการเคลือบด้วยไอเคมีโดยอาศัยพลาasmaขึ้นมา

ระบบของเทคนิคการตกเคลือบด้วยไอเคมีโดยอาศัยพลาasma มีการเพิ่มข้าไฟฟ้าเข้าไปในตู้เคลือบซึ่งใช้ความดันไอต่ำ ความต่างศักย์ไฟฟ้าที่จ่ายระหว่างข้าไฟฟ้าจะเน้นย้ำให้ไม่เกิดข้อไอเคมีที่อยู่ระหว่างข้าไฟฟ้านั้นแตกตัวเป็นพลาasma เนื่องจากสารตั้งต้นที่แตกตัว และอยู่ในพลาasma มีความสามารถในการทำปฏิกิริยาที่สูงขึ้น ส่งผลให้ปฏิกิริยาเคมีการสร้างสารเคลือบเกิดได้ที่อุณหภูมิต่ำกว่าปกติมาก ดังเช่นกรณีของสารเคลือบซิลิคอนในไตรดที่กล่าวมาข้างต้นสามารถสังเคราะห์ได้ที่อุณหภูมิเพียง 300 องศาเซลเซียส ในขณะที่กระบวนการเคลือบด้วยไอเคมีที่ความดันต่ำ และการตกเคลือบด้วยไอเคมีที่ความดันบรรยายกาศ ต้องใช้อุณหภูมิสูงถึง $750-900$ องศาเซลเซียส นอกจากนี้ ด้านอิเล็กทรอนิกส์แล้วยังมีการนำเทคนิคการตกเคลือบด้วยไอเคมีโดยอาศัยพลาasmaมาใช้ผลิตสาร

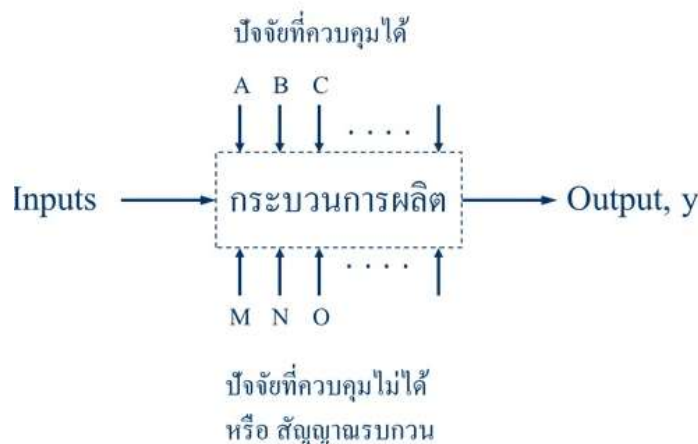
เคลือบแข็ง ได้แก่ พิล์มบางของเพชร โดยทั่วไปสังเคราะห์ขึ้นจากก๊าซมีเทน (CH_4) และก๊าซไฮโดรเจน (H_2) ที่อุณหภูมิสูง (ประมาณ 2,000 องศาเซลเซียส) และความดันต่ำ โดยไฮโดรเจนจะตอบสนองมีบทบาทสำคัญในการยับยั้งการเกิดพันธะแกรไฟต์ ซึ่งเป็นรูปแบบหนึ่งของคาร์บอนที่เรามีต้องการส่งผลให้เกิดผลึกเพชร ปัจจุบันได้มีการนำพลาสมามาใช้เพื่อกระตุ้นไอมีเทน และช่วยให้เกิดการแตกตัวของไฮโดรเจนจะตอบสนองคู่ ส่งผลให้ได้อัตราการสร้างพิล์มที่สูงขึ้น สารเคลือบเพชรนี้จะใช้เคลือบบนคอมตัดในเครื่องมือต่าง ๆ เพื่อเพิ่มความแข็ง และลดการสึกหรอ สมบัติการนำความร้อนที่ดีของเพชรส่งผลให้สารเคลือบเพชรระบายความร้อนออกจากบริเวณสัมผัสได้ดี และมีการนำมาใช้เพื่อรับประทานความร้อนออกจากไมโครชิปในงานด้านอิเล็กทรอนิกส์อีกด้วย อีกรูปแบบหนึ่งของสารเคลือบcarbonที่เป็นที่นิยม คือ สารเคลือบcarbonคล้ายเพชร (Diamond-Like Carbon: DLC) ซึ่งเป็นสารเคลือบที่มีองค์ประกอบผสมระหว่างcarbonที่อยู่ในรูปแบบของพันธะเพชร และพันธะแกรไฟต์ส่งผลให้มีสมบัติความแข็งของเพชร และความลื่นของแกรไฟต์ในการสังเคราะห์สารเคลือบ carbonบนคล้ายเพชรจะใช้ความพิเศษของระบบพลาสม่าในการบังคับให้ไออนในพลาสม่าพุ่งเข้าชนผิวเคลือบcarbonที่กำลังสร้างขึ้นได้ ส่งผลให้เกิดการสร้างพันธะเพชรขึ้นบางส่วน ในสารเคลือบปัจจุบันนี้มีการนำพิล์มบางcarbonบนคล้ายเพชรมาใช้กันอย่างแพร่หลาย เช่น เคลือบหัวอ่านฮาร์ดดิสก์ รวมถึงชิ้นส่วนทางกลที่ต้องรับภาระเสียงดี เป็นต้น

2.8 การออกแบบการทดลอง (Design of Experiment)

ในการออกแบบการทดลองต้องทำการวางแผน และมีการควบคุมการดำเนินการอย่างเป็นระบบ ซึ่งจะนำข้อมูลที่ได้มาทำการวิเคราะห์ต่อด้วยวิธีการสถิติ โดยมีจุดประสงค์ในการควบคุมการเปลี่ยนแปลงของตัวแปรอิสระที่เรียกว่า ปัจจัย (Factors) ในกระบวนการ จากนั้นจะดูผลลัพธ์ที่ได้ซึ่งเป็นตัวแปรตอบสนอง (Response) ในกระบวนการนั้น ๆ โดยพิจารณาจากปัจจัยที่ใส่เข้าไปในกระบวนการผลิต (Input) หรือมีอิทธิพลร่วมระหว่างปัจจัย (Interaction) ซึ่งมีความสัมพันธ์ต่อผลลัพธ์ที่ได้จากการกระบวนการ (Output) อย่างมีนัยสำคัญทางสถิติหรือไม่

การออกแบบการทดลอง เป็นเครื่องมือคุณภาพที่นิยมใช้กันในกรองปัจจัยที่มีอิทธิพล โดยการออกแบบจะต้องทำการทดลองตามรูปแบบที่ได้ถูกออกแบบไว้โดยใช้วิธีสุ่ม เพื่อหาความสัมพันธ์ของตัวแปรต่าง ๆ ดังภาพ 2.8 ซึ่งเป็นความสัมพันธ์แบบประมาณการระหว่างค่าตัวแปรอิสระ และวิจัย นำมาสร้างขึ้นเป็นสมการทางสถิติ โดยทั่วไปจะเป็นตัวแปรที่มีผลต่อคุณภาพตัวแปรในกระบวนการ

และตัวแปรของผลิตภัณฑ์ ซึ่งประโยชน์ของการออกแบบการทดลองสามารถนำไปปรับใช้ในกระบวนการเพื่อให้ได้ผลลัพธ์ตามที่วางแผนเป้าหมายไว้



ภาพ 2.8 กระบวนการการออกแบบการทดลอง
ที่มา : <https://piu.ftpi.or.th>

ในการออกแบบการทดลองต้องคำนึงถึงสิ่งที่ถูกจำกัด อย่างเช่น ในเรื่องของเวลา ต้นทุนในการทดลอง บุคลากร วัสดุที่ใช้ในการทดลอง และอื่น ๆ ดังนั้นในการทดลองจะต้องวางแผน และมีการควบคุมการดำเนินการอย่างเป็นระบบจะช่วยให้ได้ข้อมูลที่สำคัญสามารถนำมาวิเคราะห์ได้ และการทดลองที่มีการออกแบบมาอย่างดีจะช่วยให้การสืบค้นมีประสิทธิภาพในการหาตัวแปรในกระบวนการ (Process Variable) ตัวแปรของผลิตภัณฑ์ (Product Variable) องค์ประกอบของกระบวนการ และผลิตภัณฑ์ที่มีผลต่อคุณภาพ และประสิทธิภาพในการผลิตสำหรับการออกแบบการทดลองที่ได้ผลลัพธ์ตามที่ต้องการนั้น ผู้ดำเนินการต้องทำความเข้าใจกับปัญหาที่ทำการศึกษาอย่างดี ทำการกำหนดวัตถุประสงค์ให้ชัดเจน ทำการเลือกผลลัพธ์ (Y) ของกระบวนการ ทำการกำหนดปัจจัย (X) ที่น่าจะมีความสัมพันธ์กับผลลัพธ์ (Y) จากนั้นวางแผน และควบคุมการดำเนินการตามขั้นตอนอย่างเป็นระบบ ซึ่งจะต้องทำการเก็บข้อมูลที่จำเป็น และมีความสำคัญเพื่อนำไปทำการทดลอง โดยมีรูปแบบของการออกแบบการทดลองที่จะนำไปใช้ ได้แก่ การทดลองแบบแฟคทอเรียล การทดลองแบบแฟคทอเรียล 2 ปัจจัย และอื่น ๆ เมื่อผู้ดำเนินการได้ทำการออกแบบการทดลอง และนำข้อมูลที่ได้ไปทำการทดลองเรียบร้อยแล้วจะนำผลที่ได้มาทำการวิเคราะห์ และสรุปผลการทดลอง โดยนำค่าพารามิเตอร์ที่ได้ไปทดลองซ้ำอีกครั้งเพื่อทำการยืนยันผล จากนั้นจึงนำค่าพารามิเตอร์ไปปรับใช้ในกระบวนการ

ในการวิเคราะห์จะต้องมีองค์ประกอบ 5M 1E คือ คน (Man) ทำงานร่วมกับเครื่องจักร (Machine) วัสดุ/ดิบ (Material) วิธีการทำงาน (Methods) กระบวนการวัดค่า (Measurement - Method) และสภาพแวดล้อมในการทำงาน (Environment) ผลิตออกมานี้เป็นผลผลิต (Output) ยกตัวอย่างความสัมพันธ์ของปัจจัยกระบวนการ และตัวแปรตอบสนอง ในกระบวนการผลิตของ ผลิตภัณฑ์ชนิดหนึ่ง

สำหรับปัจจัยที่ควบคุมไม่ได้ในการออกแบบการทดลองนั้นจะเรียกว่า ตัวแปรสัญญาณ รบกวน (Noise) และตัวแปรบางตัวที่มีผลต่อกระบวนการมากกว่าตัวแปรสัญญาณรบกวน เรียกว่า ตัวแปรนำเข้ากระบวนการที่สำคัญ (Key Process Input Variable : KPIV) เป็นตัวแปรที่ต้องควบคุม และเปลี่ยนแปลงตัวแปรให้อยู่ในตำแหน่งที่ส่งผลเสียต่อกระบวนการให้น้อยที่สุด ตัวชี้วัดจะทำให้เรารู้ ประสิทธิภาพ หรือความเป็นไปได้ของกระบวนการ ซึ่งการวัดตัวชี้วัดในกระบวนการอาจวัดด้วย ตัวชี้วัดเพียงหนึ่งตัว หรือมากกว่า 1 ตัวก็ได้ โดยวิธีการวัดมีทั้งการวัดด้วยเครื่องมือ และการวัดด้วย การนับ สำหรับการวัดด้วยเครื่องมือค่าที่ได้จะเป็นค่าต่อเนื่อง (Continuous Data) ที่เรียกว่าตัวแปร เชิงปริมาณ (Quantitative Variable) และสำหรับการวัดด้วยการนับจะเป็นการสังเกตซึ่งค่าที่ได้เป็น ค่าไม่ต่อเนื่อง (Discrete Data) ที่เรียกว่าตัวแปรเชิงคุณภาพ (Qualitative Variable) การวัดตัวชี้วัด ไม่สามารถวัดผลลัพธ์ของกระบวนการได้ทั้งหมด จึงจำเป็นต้องวัดเฉพาะตัวแปรที่สื่อถึงประสิทธิภาพ หรือผลลัพธ์ที่เกิดขึ้นในกระบวนการได้ดีที่สุด ตัวแปรที่มีการคัดเลือก เรียกว่า ตัวแปรผลลัพธ์ของ กระบวนการที่สำคัญ (Key Process Output Variable : KPOV) ซึ่งการออกแบบการทดลอง (Design of Experiment) เป็นการทดลองเพื่อตรวจสอบว่าปัจจัยใด หรือตัวแปรใดตัวแปรหนึ่งที่มีผล ต่อผลิตภัณฑ์ที่ออกมาโดยมีจุดมุ่งหมายดังนี้

1. เพื่อยืนยันข้อเท็จจริง (Confirmation) ซึ่งเป็นการพิสูจน์ข้อเท็จจริง การพิสูจน์จากความ เชื่อของประสบการณ์ หรือทฤษฎีบางอย่างที่มีการอธิบายเกี่ยวกับกระบวนการผลิต
2. เพื่อค้นหาข้อเท็จจริง (Exploration) เป็นการศึกษาอิทธิพลของเงื่อนไขรูปแบบใหม่ที่มีผล ต่อกระบวนการ

2.8.1 การออกแบบการทดลองเชิงแฟกторเรียล

การออกแบบการทดลองเชิงแฟกторเรียล หมายถึง การทดลองถึงผลที่เกิดจากการรวมกัน ของระดับ (Level) ของปัจจัยทั้งหมดที่เป็นไปได้ในการทดลองนั้น ตัวอย่างเช่น กรณี 2 ปัจจัย ถ้า ปัจจัย A ประกอบด้วย a ระดับ และปัจจัย B ประกอบด้วย b ระดับ ในการทดลอง 1 ครั้ง (Replicate) จะประกอบด้วยการทดลองทั้งหมด ab การทดลอง และเมื่อปัจจัยที่เกี่ยวข้องถูกนำมา จัดให้อยู่ในรูปแบบของการออกแบบเชิงแฟกторเรียล สามารถกล่าวว่า ปัจจัยเหล่านี้มีการไขว้ (Crossed) ซึ่งกันและกัน การวิเคราะห์ความแปรปรวนของการออกแบบเชิงแฟกטורเรียลแบบเต็ม

จำนวน (2^k) ที่มีรูปแบบการซ้ำ n จำนวน จะเกี่ยวกับการดึงเอาตัวแปรที่ไม่มีผลอย่างมีนัยสำคัญออก จากแบบจำลองเต็มรูปแบบแล้ววิเคราะห์ส่วนตกค้าง (Residue) เพื่อที่จะตรวจสอบความเพียงพอ ของแบบจำลอง และตรวจสอบความถูกต้องของสมมติฐานที่สร้างขึ้น มีบางครั้ง เช่นกันที่การขัดเกลา แบบจำลองเกิดขึ้นหลังจากการวิเคราะห์ส่วนตกค้าง เนื่องจากพบว่าแบบจำลองเกิดความไม่เพียงพอ หรือสมมติฐานที่กำหนดให้นั้นไม่ถูกต้องอย่างรุนแรง เพื่อจะทำการวิเคราะห์ด้วยกราฟ โดยจะสร้าง กราฟ และผลหลัก (Main Effect) และอิทธิพลร่วม (Interaction) ขึ้น โดยที่ผลหลัก (Main Effect) คือ อิทธิพลของปัจจัยที่แสดงต่อตัวแปรตอบสนองด้วยตัวของมันเอง เมื่อมีการเปลี่ยนแปลงของปัจจัย เกิดขึ้น และอิทธิพลร่วมหรือผลอันตรรศิรยา (Interaction Effect) คือ อิทธิพลของปัจจัยหนึ่งที่จะ เปลี่ยนไปเมื่อมีการเปลี่ยนแปลงของปัจจัยอื่น

1. การทดลองเชิงเศษส่วนแฟกทอรีเรียล (2^{k-1} Fractional Factorial Design)

การออกแบบเศษส่วนเชิงแฟกทอรีเรียล เป็นวิธีการทดลองที่ไม่ต้องทำการทดลองให้ครบถ้วน เนื่องจากการเปลี่ยนแปลงค่าของทุกปัจจัย เนื่องจากจะมีจำนวนปัจจัยที่ใช้ดำเนินการ (Run) มา กจนเกินไปจนไม่สามารถดำเนินการได้ และอาจมีข้อจำกัดบางประการ ซึ่งในเชิงทฤษฎีความแม่นยำ ของวิธีการออกแบบเศษส่วนเชิงแฟกทอรีเรียล (2^{k-1}) จะไม่เท่ากับการใช้การทดลองด้วยวิธีเชิงแฟกทอรีเรียลแบบเต็มรูป (Full Factorial) แต่ในทางปฏิบัติการทดลองด้วยวิธีการทดลองเชิงแฟกทอรีเรียล แบบเต็มรูปอาจจะได้ผลที่ไม่ดีเท่าการทดลองแบบเชิงเศษส่วนแฟกทอรีเรียล เนื่องจากยังมีปัจจัย จำนวนมาก และยังมีจำนวนการทดลองมากจะทำให้ยากต่อการควบคุมการทดลองความผิดพลาดจะ ยิ่งเพิ่มมากขึ้น

2. การทดลองแบบแฟกทอรีเรียลแบบเต็มจำนวน (2^k Full Factorial Design)

การทดลองแบบแฟกทอรีเรียลแบบเต็มจำนวน คือ วิธีการทดลองที่ผู้ทำการทดลองจะต้อง ทำการทดลองให้ครบถ้วนเนื่องจากการเปลี่ยนแปลงค่าของทุกปัจจัย และเป็นการออกแบบที่กำหนดให้มี การทดสอบทุก ๆ ทางเลือกที่เป็นไปได้ (Combinations) ของปัจจัยทั้งหมด และเพื่อตรวจสอบว่า กระบวนการมีความสัมพันธ์เป็นเชิงเส้นตรง หรือเชิงเส้นโค้ง เนื่องจากการทดลองแบบแฟกทอรีเรียล เป็นแผนการทดลองที่มีประสิทธิภาพมากที่สุดในการตรวจสอบอิทธิพลของหลาย ๆ ปัจจัยพร้อมกัน

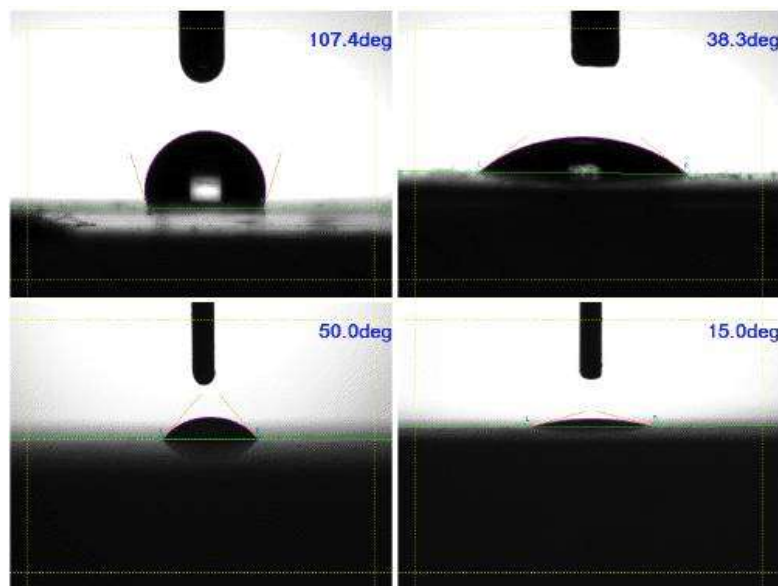
การกำหนดระดับของปัจจัยการออกแบบการทดลองเพื่อศึกษาผลของปัจจัยเริ่มต้น จะต้อง กำหนดระดับสูง (+) และระดับต่ำ (-) ของแต่ละปัจจัย การกำหนดระดับของปัจจัยมีผลมากต่อผลการ วิเคราะห์ และผลสรุปการกำหนดระดับของปัจจัย โดยพิจารณา rate ดับปกติ หรือค่ากลางของแต่ละ ปัจจัย ซึ่งระดับปกติหรือค่ากลางได้มาจาก การสอบถามผู้รู้ และการวิจัยค้นคว้าหลังจากกำหนดค่า กลางแล้วเพิ่ม และลดระดับของปัจจัยจากค่ากลางเพื่อหาช่วงของปัจจัยที่เป็นไปได้ หรือสามารถทำ

การทดลองได้จากช่วงที่เป็นไปได้ของปัจจัย เลือกระดับสูงต่ำให้เหมาะสมกับข้อจำกัดในการทำการทดลอง เช่น ข้อจำกัดของวัสดุอุปกรณ์ และงบประมาณในการทดลอง เป็นต้น

2.9 การตรวจสอบลักษณะของวัสดุ

2.9.1 เครื่องวัดมุมสัมผัสของเหลว (Wetting Angle Measurement)

เป็นเทคนิคในการศึกษาสภาพพื้นผิวของตัวอย่าง โดยการหยดสารละลาย เช่น น้ำ แอลกอฮอล์ หรือสารเคมีอื่น ๆ ลงบนพื้นผิว และวัดมุมสัมผัสที่เกิดขึ้น การโค้งของผิวของเหลวจะเห็นว่าผิวของเหลวกับผิวของแข็งจะทำมุมกัน มุมระหว่างผิวของเหลวกับผิวของแข็ง ณ จุดสัมผัส เรียกว่า มุมสัมผัส (Contact Angle) ซึ่งมีค่าตั้งแต่ 0 – 180 องศา มุมสัมผัสจะบอกให้ทราบว่า เมื่อของเหลวอยู่บนพื้นผิวของเหลวนั้นจะอยู่ในสภาพเป็นหยด (ไม่ทำให้พื้นผิวเปียก) หรือแผ่กระจาย (ทำให้พื้นผิวเปียก) โดยพิจารณาดังนี้ มุมสัมผัสที่มีค่าระหว่าง 0 – 90 องศา ของเหลวจะแผ่กระจาย และเปียกพื้น มุมสัมผัสที่มีค่าระหว่าง 90 – 180 องศา ของเหลวจะเป็นก้อน และไม่เปียกพื้น ดังภาพ 2.9

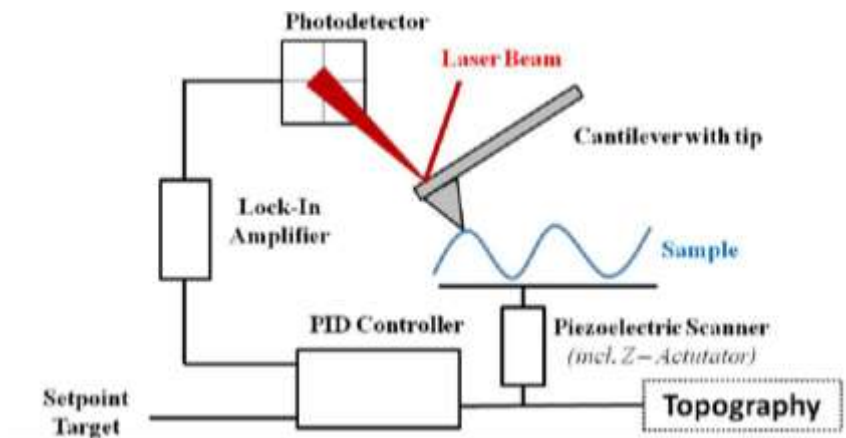


ภาพ 2.9 ลักษณะขั้นงาน และการทดสอบในเครื่องวัดมุมสัมผัสของเหลว
ที่มา : <http://www.mic.eng.ku.ac.th/facilities-detail>

ลักษณะตัวอย่างที่ทำการทดสอบจะต้องมีลักษณะเป็นของเหลวที่หยดบนภาชนะที่มีพื้นผิวและระนาบที่เรียบ เช่น กระจกสไลด์ และภาชนะที่ถูกหยดสารตัวอย่างที่จะใช้ในการทดสอบจะมีขนาดความยาวไม่เกิน 150 มิลลิเมตร และความกว้างไม่เกิน 100 มิลลิเมตร

2.9.2 กล้องจุลทรรศน์แรงอัตโนมัติ (Atomic Force Microscope : AFM)

เป็นกล้องจุลทรรศน์ชนิดหัวอ่านส่องกราด (Scanning Probe Microscopes : SPMs) กล้องจุลทรรศน์แรงอัตโนมัติทำงานด้วยการใช้หัวอ่านที่เป็นเข็มขนาดเล็กประมาณ 10 นาโนเมตร เป็นตัววัดแรงดึงดูด หรือแรงผลัก ที่เกิดขึ้นระหว่างหัวเข็มกับพื้นผิวที่ต้องการวิเคราะห์เพื่อสร้างเป็นภาพ โดยเมื่อกดหัวอ่านลงบนพื้นผิวที่จะตรวจวัดจะเกิดแรงที่กระทำต่อกัน (Cantilever) ของหัวอ่าน ทำให้หัวอ่านเอียงด้วยมุมต่างกันตามสภาพความสูงต่ำของพื้นผิว ซึ่งจะสามารถตรวจวัดได้จากมุมสะท้อนของลำแสงเลเซอร์ที่ยิงลงไบยังก้านของหัวอ่าน จากนั้นคอมพิวเตอร์จะแปลงสัญญาณออกมาระบุเป็นภาพของพื้นผิวที่ต้องการตรวจสอบได้ ดังภาพ 2.10 โดยมีความสามารถพิเศษ คือ สามารถใช้ได้กับพื้นผิวที่หลากหลายทั้งที่เป็นอนุวน และพื้นผิวที่นำไฟฟ้าได้ และมีระดับความสูงต่ำ (Roughness) ไม่เกิน 4 ไมโครเมตร และขนาดภาพสแกนใหญ่ที่สุดไม่เกิน 100 ไมโครเมตร โดยสามารถศึกษาสมบัติต่าง ๆ เช่น สมบัติบนพื้นผิว สมบัติทางกล สมบัติทางไฟฟ้า และศึกษาสมบัติของตัวอย่างในสภาวะสุญญากาศ เป็นต้น



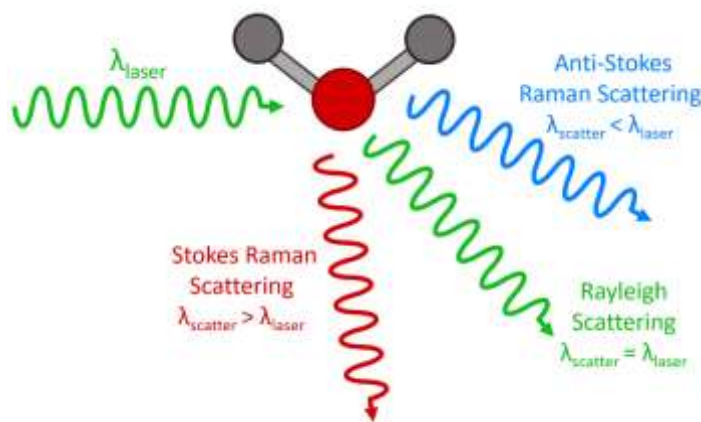
ภาพ 2.10 แผนภาพแสดงหลักการการทำงานของกล้องจุลทรรศน์แรงอัตโนมัติ
ที่มา : [researchgate.net/figure/Atomic-Force-Microscopy-Setup](https://www.researchgate.net/figure/Atomic-Force-Microscopy-Setup)

ตัวอย่างที่สามารถตรวจวัดได้ เช่น พิล์มบาง แผ่นเซรามิก แผ่นโลหะ พิล์มโพลิเมอร์ แผ่นพลาสติก ยางสังเคราะห์ รวมไปถึงวัสดุนานา และตัวอย่างทางชีวภาพ เช่น เซลล์แบคทีเรีย เป็นต้น

2.9.3 รามานสเปกตรอสโคปี (Raman Spectroscopy)

เป็นเทคนิคที่ใช้ในการตรวจสอบโครงสร้างของโมเลกุล สามารถหาอัตราส่วนระหว่างความเข้ม (Intensity) ของพีคที่เกิดจากการบอนที่มีพันธะไม่สมบูรณ์ และแสดงถึงพีคเกิดจากการบอนที่มีพันธะสมบูรณ์ เนื่องจากสเปกตรัมของรามานบอกข้อมูลในส่วนของการสั่นภายในโมเลกุล หรือการสั่นภายในผลึกต่างๆ ดังภาพ 2.11 เทคนิครามานสเปกตรอสโคปีจึงเป็นเทคนิคที่เหมาะสมในการศึกษา

วัสดุที่เป็นของแข็ง ของเหลว และก้าชได้ ซึ่งการฉายแสงที่เป็นโฟตอน (Photon) ลงไปยังวัสดุจะไม่ทำลายวัสดุตัวอย่าง อีกทั้งเทคนิคนี้เป็นเทคนิคที่ไม่จำเป็นต้องเตรียมสารตัวอย่าง ไม่ต้องวัดค่าスペกตรัมอ้างอิง และสามารถวัดสารตัวอย่างที่ไม่สามารถตรวจวัดด้วยเทคนิคอินฟราเรดสเปกโตรสโคป (Infrared Spectroscopy) ได้อีกด้วย เทคนิครามานได้ถูกพัฒนาให้มีการประมวลผลที่สามารถกำจัดการสะเจิงแสงของห็บหอปรงใส เช่น แก้ว หรือพลาสติกออกได้ และได้นำมาประยุกต์ใช้ประโยชน์ในด้านต่าง ๆ อาทิเช่น การวิเคราะห์โครงสร้างทางกายภาพของวัสดุ หรือวิเคราะห์องค์ประกอบทางด้านเคมีของพอลิเมอร์ชนิดต่าง ๆ วิเคราะห์โครงสร้างผิวของแผ่นเวย์เฟอร์ (Wafer Sheet) เพื่อหาร่องรอยความเสียหาย เป็นต้น



ภาพ 2.11 แผนภาพแสดงหลักการทำงานของเทคนิครามานสเปกโตรสโคป
ที่มา : <https://www.edinst.com/what-is-raman-spectroscopy>

2.10 สรุปงานวิจัยที่ศึกษา

จากการวิจัยในเบื้องต้นผู้วิจัยได้ทำการศึกษาคุณสมบัติต่าง ๆ ของกราฟีน เช่น โครงสร้างสมบัติเชิงกล สมบัติทางแสง และสมบัติทางไฟฟ้า เป็นต้น กราฟีนมีลักษณะการเรียงตัวเป็นรูปร่างหกเหลี่ยมคล้ายรังผึ้งของอะตอมคาร์บอน โดยมีความหนาเพียงแค่ชั้นเดียว และกราฟีนนั้นมีค่าโมดูลัสของยั่งประมาณ 1 เท่าของสแตนเลส และความแข็งแรงของการแตกหักประมาณ 130 จิกะปาสคาล โดยส่วนสำคัญของกราฟีนนั้นมีความโปร่งแสงถึง 97.7 เปอร์เซ็นต์ และยังสามารถยึดหยุ่นได้ประมาณ 5 เปอร์เซ็นต์ โดยค่าความต้านทานไม่เปลี่ยนแปลง

การสังเคราะห์กราฟีนนั้นสามารถทำได้หลากหลายวิธี เช่น การตกเคลือบด้วยไอเคมี การขัดแกร์ไฟต์ในตัวทำละลาย และการตกเคลือบด้วยไอทางกายภาพ เป็นต้น โดยในแต่ละวิธีการสังเคราะห์ มีทั้งข้อดี และข้อเสียที่ต่างกัน เช่น การตกเคลือบด้วยไอเคมี การเคลือบบนผิวเกิดได้อย่างทั่วถึง และ

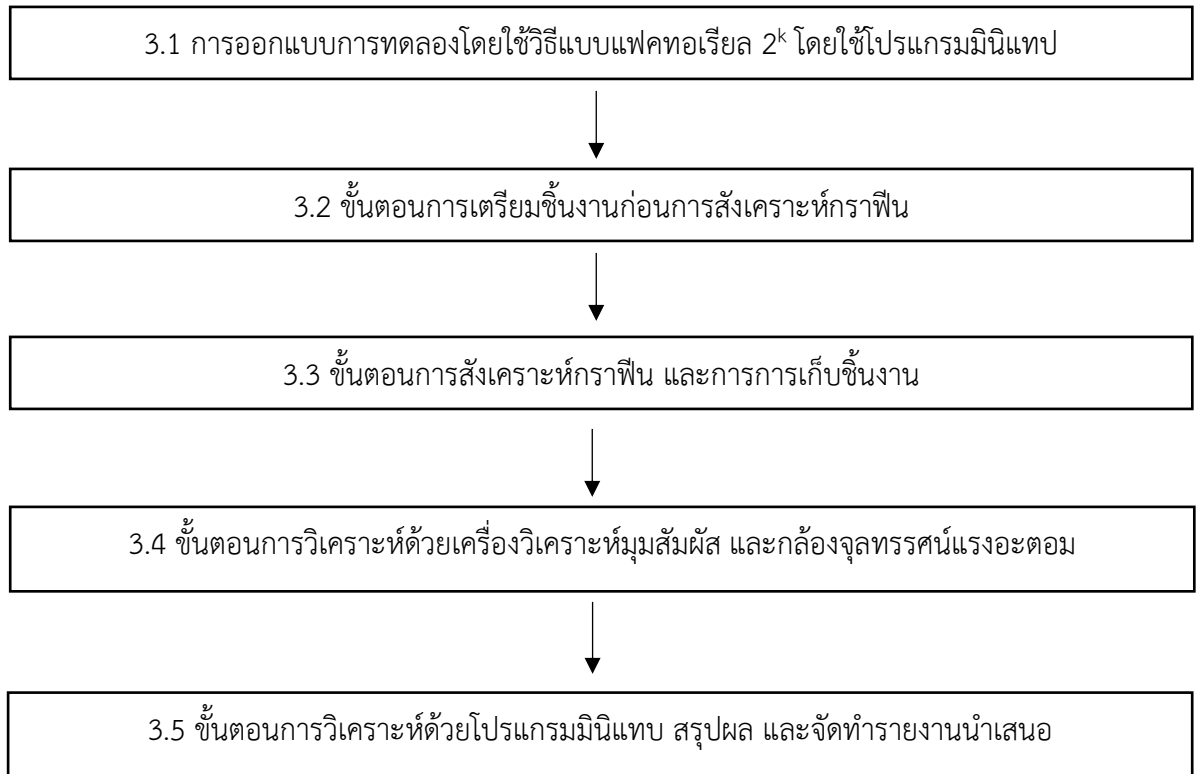
มีความสม่ำเสมอสูง แต่ไอโอดีนก็มีความอันตราย และเป็นพิษ สารเคลือบที่ได้อาจมีสารตั้งต้นเจือปนอยู่ เป็นต้น หรือวิธีการขัดแกรไฟต์ในตัวทำละลาย จะสังเคราะห์ได้ทีละน้อย ๆ เนื่องจากกราฟินที่ทางผู้วิจัยต้องการมีค่าความต้านทานของแผ่นที่ต่ำ อุณหภูมิที่ใช้ในการทำปฏิกิริยาที่ต่ำ และมีค่าความโปร่งแสงสูง ทำให้เลือกวิธีการสังเคราะห์กราฟินด้วยวิธีการเคลือบผิวด้วยไอโอดีนโดยอาศัยพลาสม่าที่ความดันต่ำ ซึ่งสามารถสังเคราะห์กราฟินลงบนโลหะ เช่น นิกเกิล คอปเปอร์ หรือรากะจะ เพื่อความสะดวกต่อการเก็บรักษา และนำไปตรวจสอบค่าคุณสมบัติของกราฟิน

การตรวจสอบการเปลี่ยนแปลงของสภาพพื้นผิวของตัวอย่างชิ้นงาน วิธีการวัดมุมสัมผัสของหยดน้ำ (Contact Angle) โดยวิธีการหยดน้ำจากเข็มฉีดยาขนาดเล็ก (Sessile Drop) เพื่อหาความเปลี่ยนแปลงของพื้นผิวว่ามีการเกิดการเปลี่ยนแปลงหรือไม่ เนื่องจากกราฟินไม่สามารถคงเห็นได้ด้วยตาเปล่า ตรวจวัดคุณสมบัติของพื้นผิวชิ้นงานได้จากการวิเคราะห์ด้วยกล้องจุลทรรศน์แรงดึงดูด (Atomic Force Microscope : AFM) เพื่อหาความหนาของฟิล์มที่เคลือบอยู่บนแผ่นกระดาษสไลด์ และตรวจสอบเอกลักษณ์ของฟิล์มกวดด้วยเทคนิครaman สเปกตรสโคปี (Raman Spectroscopy) เพื่อวิเคราะห์โครงสร้างของฟิล์มบางที่สังเคราะห์ได้

บทที่ 3

ระเบียบวิธีการทำวิจัย

ในบทนี้กล่าวถึงอุปกรณ์ ขั้นตอนวิธีการสังเคราะห์กราฟีน ดังภาพ 3.1 โดยใช้เทคนิคพลาสม่า สปัตเตอร์ริง การออกแบบการทดลองโดยใช้การออกแบบการทดลอง (Design of Experiment) รวมทั้งกล่าวถึง การเตรียมผลการทดลอง เพื่อนำไปวิเคราะห์มุมสัมผัส (Contact Angle) และ วิเคราะห์ความหนาของฟิล์มบางด้วยกล้องจุลทรรศน์แรงอะตอม (Atomic Force Microscope)



ภาพ 3.1 แผนภาพแสดงขั้นตอนการดำเนินงานโดยรวม

3.1 การออกแบบการทดลองโดยใช้วิธีแบบแฟคทอเรียล 2^k

3.1.1 กำหนดปัจจัยที่มีต่อผลการทดลอง

จากการศึกษาการทำงาน และข้อจำกัดของเครื่องดิสชาร์จพลาสมาความดันต่ำ สามารถกำหนดปัจจัยที่น่าสนใจในการวิเคราะห์ผลกระทบของปัจจัยต่าง ๆ 3 ปัจจัย คือ กำลังไฟฟ้า (วัตต์) อัตราส่วนระหว่างก๊าซอะเซทิลีนกับก๊าซไฮโดรเจน และระยะเวลาในการดิสชาร์จ (นาที) โดยผู้วิจัยได้กำหนดปัจจัย และระดับขอบเขตของปัจจัย คือ ระดับสูง ระดับต่ำ และเพิ่มค่ากลางสำหรับทดสอบสมมติฐานความเป็นเส้นโถง ดังตาราง 3.1

ตาราง 3.1 รายละเอียดของปัจจัย ระดับขอบเขตของปัจจัยและสัญลักษณ์

ปัจจัย	ระดับการตั้งค่า			สัญลักษณ์
	ต่ำ (-1)	กลาง (0)	สูง (+1)	
1. กำลังไฟฟ้า (วัตต์)	60	80	100	A
2. อัตราส่วนระหว่างก๊าซอะเซทิลีน กับก๊าซไฮโดรเจน	30:70	40:60	50:50	B
3. ระยะเวลาในการดิสชาร์จ พลาสมา (นาที)	10	20	30	C

3.1.2 เลือกการออกแบบการทดลองโดยใช้วิธีแบบแฟคทอเรียล (2^k)

การออกแบบการทดลองโดยใช้วิธีแบบแฟคทอเรียล (2^k) เป็นการทดลองตามปัจจัยที่พิจารณาจำนวน k ปัจจัย แต่ละปัจจัยกำหนดให้ปรับเปลี่ยนได้ 2 ระดับ เรียกว่า ระดับสูง (High Level) แทนด้วยเครื่องหมาย “+” และระดับต่ำ (Low Level) แทนด้วยเครื่องหมาย “-” ซึ่งมีขั้นตอนดังนี้

ก) เลือกด้วยผลตอบ ผลตอบของการทดลองในที่นี่ คือ ความหนาของกราฟีน (นาโนเมตร)

ข) กำหนดนิยามเกี่ยวกับตัวแปรในการทดลอง โดยกำหนดให้ตัวเลขแสดงคุณสมบัติของตารางการออกแบบการทดลอง (Resolution Numbers) มีตัวเลขสูงสุด ซึ่งส่งผลต่อกระบวนการแปรผลการทดลอง สำหรับการทดลองนี้มีปัจจัย 3 ปัจจัย คือ กำลังไฟฟ้า (วัตต์) อัตราส่วนระหว่างก๊าซอะเซทิลีนกับก๊าซไฮโดรเจน และระยะเวลาในการดิสชาร์จพลาสมา (นาที) ดังภาพ 3.2

3.1.2.1 เลือกการออกแบบการทดลอง งานวิจัยนี้เลือกใช้วิธีการออกแบบการทดลอง ที่มีปัจจัยศึกษาห้องหมด 3 ปัจจัย โดยในแต่ละปัจจัยมี 2 ระดับ ดังนั้นผู้วิจัยได้ใช้วิธีการออกแบบการทดลองเชิงแฟคทอเรียลแบบเต็มจำนวนที่ระดับความซื่อมั่นร้อยละ 95 ด้วยวิธีการออกแบบการทดลองเชิงแฟคทอเรียลแบบเต็มจะได้จำนวนการทดลองห้องหมด 8 การทดลอง โดยทำการทดลอง 2 ชั้น จึงต้องทำการทดลองห้องหมด 16 ครั้ง เพื่อทำการคัดกรองปัจจัยที่มีนัยสำคัญต่อการทดลอง และทำการทดลองชั้นที่จุดกึ่งกลางเป็นจำนวน 5 ครั้ง เพื่อใช้เป็นข้อมูลในการนำไปทดสอบสมมุติฐานความเป็นเส้นโค้ง ดังนั้นจึงทำการทดลองห้องสิ้น 21 การทดลอง แสดงดังตาราง 3.2 แต่อย่างไรก็ตามหากผลตอบที่ได้ยังไม่ใช้ค่าผลตอบที่ดีที่สุดของการทดลอง ผู้วิจัยจึงนำเทคนิคการออกแบบการทดลองของพื้นผิวผลตอบมาใช้เพื่อหาช่วงที่ให้ค่าดีที่สุดของการทดลอง จากนั้นจึงนำไปทดสอบสมมุติฐานความเป็นเส้นโค้งอีกครั้ง หากสมการผลตอบเป็นเส้นโค้งจะใช้เทคนิคการทดลองแบบส่วนผสมกลางเพื่อหาเทอมของคาดการณ์ของแบบจำลองอันดับ 2

3.1.2.2 วิเคราะห์ผลการทดลอง เพื่อวิเคราะห์ว่าปัจจัยใดที่มีผลต่อการทดลองอย่างมีนัยสำคัญ และทำการเปรียบเทียบผลการทดลองกับจุดกึ่งกลาง โดยมีขั้นตอนการวิเคราะห์ข้อมูลที่ใช้โปรแกรมมินิแทปในการวิเคราะห์ผลทางสถิติ

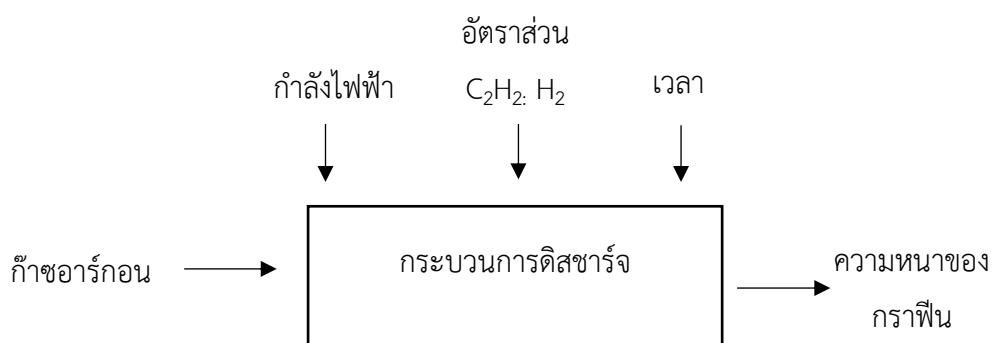
- การตรวจสอบความถูกต้องของแบบจำลอง เพื่อถูกความเหมาะสมของข้อมูลตรวจสอบการกระจายตัวของข้อมูลว่าเป็นการแจกแจงแบบปกติหรือไม่ ตรวจสอบความเป็นอิสระของข้อมูล โดยใช้แผนภูมิการกระจาย และดูลักษณะการกระจายตัวของข้อมูลว่าเป็นอิสระต่อกันหรือไม่ ตรวจสอบความเสถียรของความแปรปรวน โดยใช้แผนภูมิการกระจายของค่าความคลาดเคลื่อนของข้อมูลในแต่ละระดับปัจจัยว่าเป็นอิสระต่อกันหรือไม่

- การทดสอบสัมประสิทธิ์ของการตัดสินใจ (R-Square) เป็นการวิเคราะห์ว่าการออกแบบการทดลองที่ได้ทำการออกแบบมานั้นมีความเหมาะสมหรือไม่ ซึ่งโดยปกติในการทดลองทุกครั้งจะมีความผันแปรที่ไม่สามารถอธิบายได้ หรือความคลาดเคลื่อนเกิดขึ้น การออกแบบการทดลองที่ดีควรจะทำให้ความผันแปรเหล่านี้เกิดน้อยที่สุด สามารถคำนวณได้ดังสมการ 3.1

$$R^2 = \frac{SS_{\text{model}}}{SS_{\text{total}}} \times 100 \quad (3.1)$$

- การวิเคราะห์ความแปรปรวน การวิเคราะห์ความแปรปรวนนี้สามารถอ่านค่าของ P-Value ได้จากโปรแกรมมินิแทป (Minitab19.0) โดยเปรียบเทียบจากค่า α ที่กำหนด ซึ่งในงานวิจัยนี้กำหนดค่า $\alpha = 0.05$ ซึ่งหมายความว่า หากค่าของ P-Value มีค่ามากกว่า 0.05 สามารถสรุปได้ว่าค่าความแตกต่างของความแปรปรวนไม่มีนัยสำคัญทางสถิติ หากมีค่าน้อยกว่า 0.05 จะสามารถสรุปได้ว่ามีนัยสำคัญทางสถิติ

3.1.2.3 ทำการหาค่าที่ดีที่สุดของผลตอบที่ได้จากการใช้เทคนิคการออกแบบพื้นผิวผลตอบ (Response Surface Methodology) ด้วยวิธีการหาค่าผลตอบจากปัจจัย และเคลื่อนย้ายไปสู่ผลตอบที่ดีที่สุดด้วยวิธีการเคลื่อนที่บนเส้นทางที่ขึ้นที่สุดจากแบบจำลองที่สร้างขึ้น เพื่อหาเงื่อนไขปัจจัยที่มีผลต่อการทดลองอย่างมีนัยสำคัญด้วยฟังก์ชันผลตอบที่ดีที่สุด (Response Optimizer) จากโปรแกรมมินิแทบ (Minitab19.0) ดังภาพ



ภาพ 3.2 ปัจจัยและพารามิเตอร์ของกระบวนการดิสชาร์จ

3.2 ขั้นตอนการเตรียมชิ้นงานก่อนการสังเคราะห์กราฟีน

3.2.1 สารเคมีที่ใช้ในการทดลอง

1. กําชอะเซทิลีน (Acetylene : C₂H₂)
2. กําชไฮโดรเจน (Hydrogen : H₂)
3. กําชออกอน (Argon : Ar)

3.2.2 อุปกรณ์การทดลอง

1. กระเจกสไลเดอร์ขนาด 1 x 1 เซนติเมตร
2. ไม้บรรทัด
3. กระดาษทิชชูไวร์ชัน
4. นาฬิกาจับเวลา
5. ถุงซิปล็อก
6. เครื่องผลิตพลาสมากว่าดันต่ำระบบพลาasmaที่รับพลังงานจากกระแสไฟฟ้า (Inductively Coupled Plasma Discharge : ICP) ของห้องวิจัยเทคโนโลยีพลาasma ศูนย์วิจัยนิวตรอนพลังงานสูง ภาควิชาฟิสิกส์และวัสดุศาสตร์ คณะวิทยาศาสตร์ มหาวิทยาลัยเชียงใหม่

7. กล้องจุลทรรศน์แรงอัตโนมัติ (Atomic Force Microscope : AFM) รุ่น Nano - Scope IIIa บริษัท Di Digital Instruments

8. เครื่องมือวัดค่ามุมสัมผัส (Contact Angle) หลักการการหยดของเหลวจากหลอดฉีดยาขนาดเล็ก และนำเข้าชิ้นงานขึ้นไปสัมผัสน้ำบริเวณปลายเข็ม (Sessile Drop)

9. เครื่องมือวิเคราะห์คุณสมบัติเชิงกล (Raman Spectroscopy) รุ่น T64000 บริษัท Horiba Jobin Yvon ประเทศฝรั่งเศส

3.2.3 วิธีการเตรียมชิ้นงาน

1. ตัดแผ่นกระดาษไอล์ดขนาด 1×1 เซนติเมตร

2. ทำการทดสอบพื้นผิวแผ่นกระดาษไอล์ด ด้วยสารละลายอะซิโตนจำนวน 2 รอบรอบแรกประมาณ 3 นาที และรอบที่สองประมาณ 10 นาที หลังจากนั้นเช็ดชิ้นงานด้วยสารละลายแอลกอฮอล์เป็นเวลา 10 นาที และเป่าให้แห้งด้วยก้าชในเตาเจน

3. สำหรับการเตรียมชิ้นงานเพื่อตรวจหาความหนาของฟิล์มบางด้วยเครื่องจุลทรรศน์แรงอัตโนมัติ ต้องทำสัญลักษณ์ด้วยการใช้ปากกาเคมีขีดบริเวณกึ่งกลางของชิ้นงาน และหลังจากประยุกต์พลาスマเรจ ให้ลบรอยปากกด้วยสารละลายแอลกอฮอล์

4. เก็บแผ่นกระดาษไอล์ดในถุงซิปล็อก โดยแยกตามเงื่อนไขทั้งหมด 21 เงื่อนไข

3.3 ขั้นตอนการสังเคราะห์กราฟิน

3.3.1 ทำการทดสอบด้วยสุดธูรานรองรับอีกรั้งด้วยพลาสมาร์กอน โดยใส่ชิ้นงานลงในภาชนะสูญญากาศตามตำแหน่งที่กำหนดไว้แล้วเปิดวาล์วสูญญากาศ โดยจะลดความดันอากาศภายในชั้มเบอร์ให้ต่ำลงจนถึงความดันอากาศเท่ากับ 2×10^{-2} ทอร์ จากนั้นใส่ก้าชอาร์กอนลงในภาชนะสูญญากาศให้ได้ความดันอากาศเท่ากับ 1×10^{-1} ทอร์ ใช้กำลังไฟฟ้า 50 วัตต์ เป็นระยะเวลาเวลา 5 นาที ดังภาพ 3.3

3.3.2 เมื่อทำการทดสอบพื้นผิวสุดธูรานรองรับเสร็จแล้ว ทำการเคลือบฟิล์มด้วยก้าชอะเซทิลีน และก้าชไฮโดรเจนตามเงื่อนไขการทดลอง โดยมีความดันพื้นฐาน (Base Pressure) เท่ากับ 2×10^{-2} ทอร์ และความดันก้าชภายในชั้มเบอร์สูญญากาศเท่ากับ 80 มิลลิทอร์



ภาพ 3.3 แสดงการประยุกต์พลาสมาระเชททิลีน และไฮโดรเจน

3.3.3 ปรับค่าพารามิเตอร์ตามตารางการออกแบบการทดลอง

เมื่อความดันพื้นฐานมีค่าเท่ากับ 2×10^{-2} ทอร์ ทำการเพิ่มก๊าซอะเซทิลีน (C_2H_2) และก๊าซไฮโดรเจน (H_2) เพื่อให้ได้ความดันอากาศเท่ากับ 1×10^{-1} ทอร์ ตามเงื่อนไขการทดลอง ดังตาราง 3.2 ทำการคำนวณปริมาณก๊าซพลาสม่าในแต่ละเงื่อนไข ดังนี้

1. เงื่อนไข 30 เปอร์เซ็นต์ ของ C_2H_2 ต่อ 70 เปอร์เซ็นต์ ของ H_2 คิดเป็นปริมาณก๊าซอะเซทิลีน เท่ากับ 2.4×10^{-2} ทอร์ และปริมาณก๊าซไฮโดรเจน เท่ากับ 6.5×10^{-2} ทอร์
2. เงื่อนไข 40 เปอร์เซ็นต์ ของ C_2H_2 ต่อ 60 เปอร์เซ็นต์ ของ H_2 คิดเป็นปริมาณก๊าซอะเซทิลีน เท่ากับ 3.2×10^{-2} ทอร์ และปริมาณก๊าซไฮโดรเจน เท่ากับ 4.8×10^{-2} ทอร์
3. เงื่อนไข 50 เปอร์เซ็นต์ ของ C_2H_2 ต่อ 50 เปอร์เซ็นต์ ของ H_2 คิดเป็นปริมาณก๊าซอะเซทิลีน เท่ากับ 4×10^{-2} ทอร์ และปริมาณก๊าซไฮโดรเจน เท่ากับ 4×10^{-2} ทอร์

3.3.4 การจัดเก็บขั้นงานหลังการประยุกต์พลาasma โดยเก็บไว้ในตู้ความคุมความชื้น

ตาราง 3.2 การออกแบบการทดลองโดยใช้วิธีแบบแฟคทอเรียล (2^k)

StdOrder	RunOrder	CenterPt	Blocks	กำลังไฟฟ้า(วัตต์)	อัตราส่วน $C_2H_2 : H_2$	เวลา (นาที)
21	1	0	1	80	40:60	20
3	2	1	1	60	50:50	10
2	3	1	1	100	30:70	10
1	4	1	1	60	30:70	10
17	5	0	1	80	40:60	20
13	6	1	1	60	30:70	30

ตาราง 3.2 การออกแบบการทดลองโดยใช้วิธีแบบแฟคทอเรียล (2^k) (ต่อ)

StdOrder	RunOrder	CenterPt	Blocks	กำลังไฟฟ้า(วัตต์)	อัตราส่วน $C_2H_2 : H_2$	เวลา (นาที)
10	7	1	1	100	30:70	10
14	8	1	1	100	30:70	30
5	9	1	1	60	30:70	30
15	10	1	1	60	50:50	30
11	11	1	1	60	50:50	10
12	12	1	1	100	50:50	10
18	13	0	1	80	40:60	20
7	14	1	1	60	50:50	30
8	15	1	1	100	50:50	30
19	16	0	1	80	40:60	20
6	17	1	1	100	30:70	30
16	18	1	1	100	50:50	30
20	19	0	1	80	40:60	20
4	20	1	1	100	50:50	10
9	21	1	1	60	30:70	10

3.4 การวิเคราะห์ขั้นงาน

3.4.1. ทดสอบวัดมุมสัมผัส (Contact Angle Goniometer)

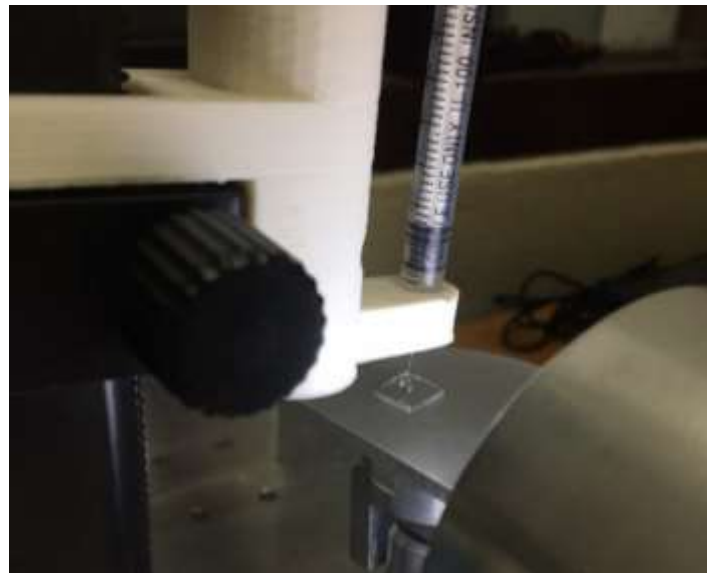
การตรวจสอบค่ามุมสัมผัสระหว่างหยดน้ำกับพื้นผิวของชิ้นงานด้วยเครื่องวัดมุมสัมผัส ใช้วิธีที่เรียกว่า Sessile Drop เป็นการหยดของเหลวออกจากหลอดฉีดบนจานเด็กลงบนพื้นผิวที่ต้องทำการทดสอบ โดยการนำพื้นผิวขึ้นไปสัมผัสถกับหยดน้ำ เพื่อศึกษาสภาพพื้นผิวของชิ้นงาน เป็นการปั่งชี้ความสามารถในการเปียกของพื้นผิว

ขั้นตอนการทดสอบ

- นำแผ่นกระดาษไอล์ด์ก่อนทำการประยุกต์พลาสma และหลังทำการประยุกต์พลาสma มาทำการวัดมุมสัมผัส โดยวางชิ้นงานบนฐานรองที่ลักษณะ

- ขับชิ้นงานให้วางขนานกับฐานรอง (Stage) และปรับความคมชัดของภาพ (Focus) ให้ได้ภาพที่ชัดเจนที่สุด

3. หยดน้ำกัลล์ลงบนชิ้นงานปริมาตร 40 มิโครลิตร ในแนวตั้งจากกับชิ้นงาน โดยเลื่อนฐานรอง (Stage) ขึ้นไปสัมผัสกับหยดน้ำ และหยดน้ำต้องไม่เป็นฟอง ดังภาพ 3.5



ภาพ 3.4 แสดงการหยดของเหลวบนชิ้นงาน

4. ปรับความคมชัดของภาพ โดยให้เห็นขอบของผิวหยดน้ำที่ชัดเจน
5. วัดค่ามุ่งสัมผัสของหยดน้ำกับผิวของชิ้นงานแล้วทำการถ่ายภาพด้วยโปรแกรมการวัดมุ่งสำเร็จรูป ซึ่งแสดงผลบนหน้าจอคอมพิวเตอร์

3.4.2 การวิเคราะห์ด้วยกล้องจุลทรรศน์แรงอห调皮 (Atomic Force Microscope)

ก่อนจะนำชิ้นงานที่ทำการประยุกต์พลาสมามาทดสอบด้วยกล้องจุลทรรศน์แรงอห调皮 พื้นผิวของชิ้นงานต้องสะอาด ไม่มีรอยเปื้อน หรือรอยขีดข่วน เพราะอาจจะทำให้เข้มตรวจวัดหัก และไม่สามารถวิเคราะห์พื้นผิวของชิ้นงานได้ ชิ้นงานที่นำมาวิเคราะห์ควรมีขนาดไม่เกิน 1×1 เซนติเมตร และมีความหนาไม่เกิน 3 มิลลิเมตร ภาพที่ได้จากการถ่ายภาพพื้นผิวของชิ้นงานจะถูกนำไปวิเคราะห์ด้วยโปรแกรมวิเคราะห์ความหนา (Nanoscope SPM)

3.4.3 การวิเคราะห์ด้วยเครื่องรำนา (Raman Spectroscopy)

การศึกษาโครงสร้างของแผ่นฟิล์มด้วยเครื่องรำนา ดังภาพ 3.5 จะสามารถหาอัตราส่วนระหว่างความเข้ม (Intensity) ของพีคที่เกิดจากการบอนที่มีพันธะไม่สมบูรณ์ (Disorder Induced Vibration Mode : D-Band) และแสดงถึงพีคเกิดจากการบอนที่มีพันธะสมบูรณ์ (The In-Plane Stretching Mode : G-Band) ซึ่งเป็นตัวบ่งบอกถึงความเป็นระเบียบของโครงสร้างผลึก และความบริสุทธิ์ของแผ่นฟิล์มที่สังเคราะห์ได้ วิเคราะห์ด้วยการใช้อาร์กอนเลเซอร์ไฟกัลส์บันพื้นผิวที่ต้องการ

ทำการวิเคราะห์ โดยใช้ไมโครสโคปเป็นตัวปรับโฟกัส เครื่องจะทำงานโดยโปรแกรมแลปสเปค (Lab Spec) ผลที่ได้จะแสดงรูปแบบพีค (Raman Peak) โดยเป็นกราฟระหว่างความเข้ม (Intensity) และความยาวช่วงที่ทำการวิเคราะห์ (Raman Shift)



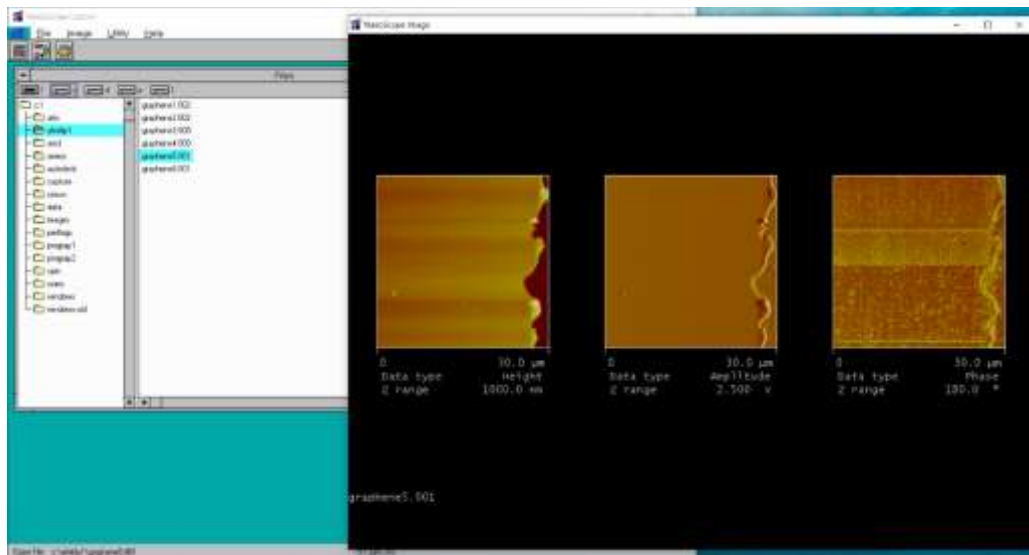
ภาพ 3.5 เครื่องมือวิเคราะห์คุณสมบัติเชิงกล (Raman Spectroscopy)

3.5 การใช้โปรแกรมวิเคราะห์ความหนา (Nanoscope SPM)

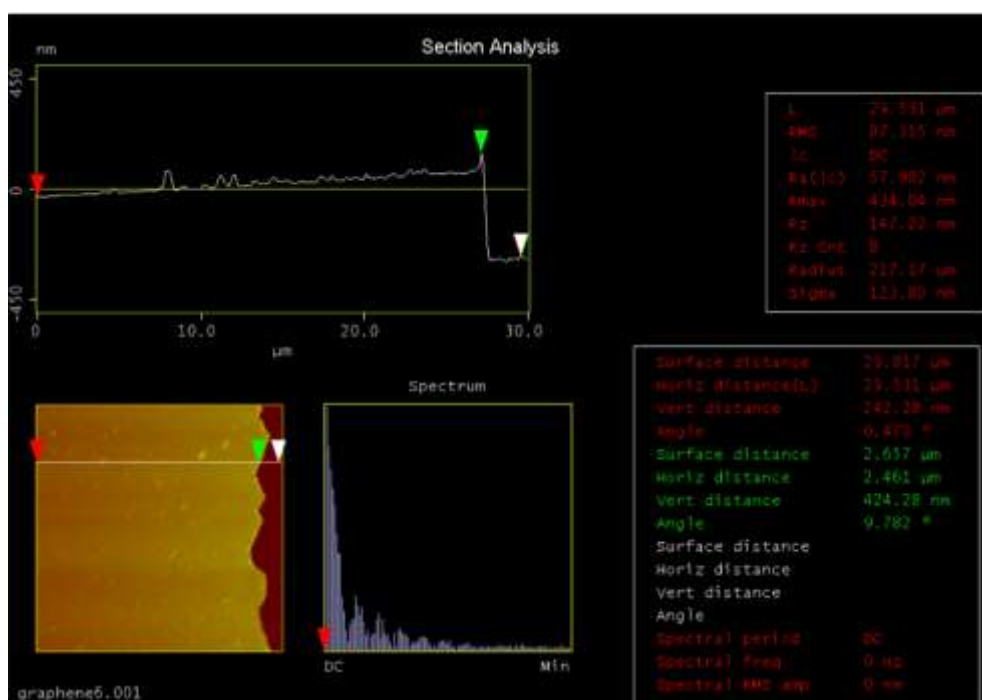
1. คลิกเข้าโปรแกรมการใช้โปรแกรมวิเคราะห์ความหนา (Nanoscope SPM) จะปรากฏหน้าต่างขึ้น 2 หน้า โดยด้านซ้ายแสดงตัวโปรแกรมเครื่องมือวิเคราะห์ ด้านขวาแสดงรูปภาพการวิเคราะห์ และผลการวิเคราะห์
2. เลือกไฟล์ที่เราต้องการ และเลือกเข้าไปดูไฟล์ในโฟเดอร์ที่เราจัดเก็บ โดยจะเป็นไฟล์ผลการวิเคราะห์พื้นผิวชิ้นงานจากกล้องจุลทรรศน์แรงอ่องตอน
3. ดับเบิลคลิกที่ไฟล์ จะแสดงผลการวิเคราะห์พื้นผิว 3 แบบ ทางหน้าต่างด้านขวา กดเมนูภาพ (IMAGE) บริเวณแถบบนของหน้าต่างด้านซ้าย ดังภาพ 3.6
4. เลือกแถบภาพแรก (Select First Image) จะขยายภาพข้อมูลคุณภาพสูง (Data Type Height) หรือภาพแบบ 2 มิติ ขยายขึ้นมาเพื่อใช้ในการวิเคราะห์
5. เลือกเครื่องมือวิเคราะห์ชิ้นงานแบบขวาง (Cross Section) จากตัวโปรแกรมทางด้านซ้าย และด้านขวาจะแสดงบริเวณการสิ่กเคราะห์ชิ้นงาน

6. เลือกบริเวณที่จะพิจารณา โดยการคลิกที่ผิวน้ำ (Surface) การเลือกตำแหน่งแรกรจะเป็น การเลือกจุดเริ่มต้น และครั้งที่สองจะเป็นจุดสุดท้าย โดยจะลากเป็นเส้นตรงตัดขวางพื้นผิวชิ้นงาน

7. ทำการการเลื่อนตำแหน่งการวัดตามแนวขวาง (Image Cross Section) เพื่อวัดความหนา โดยค่าระยะแนวระนาบ (Vert Distance) จะแสดงค่าความหนาของฟิล์ม ดังภาพ 3.7 จากนั้นบันทึก ผลงานบนตารางบันทึกผลเพื่อนำไปวิเคราะห์ในโปรแกรมมินิแทป (Minitab 19.0) ต่อไป



ภาพ 3.6 หน้าจอแสดงการใช้งานโปรแกรมวิเคราะห์ความหนา (Nanoscope SPM)



ภาพ 3.7 การประมวลผลการวิเคราะห์บันทึกผิวน้ำจากคอมพิวเตอร์

บทที่ 4

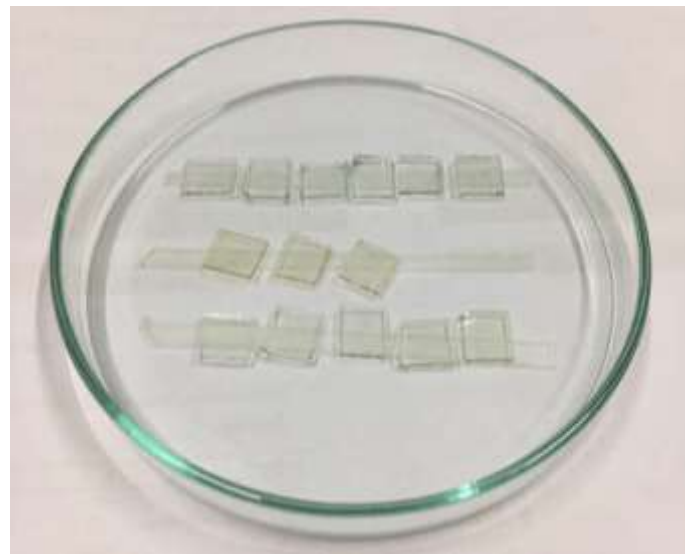
ผลการทดลองและอภิปรายผล

การสังเคราะห์ฟิล์มกราฟีนด้วยกระบวนการตากสะสมไออกมี โดยการประยุกต์พลาสมาน แผ่นกระจกสไลเดอร์ ด้วยแก๊สอาร์กอนเป็นเวลา 5 นาที เพื่อใช้ในการทำความสะอาดพื้นผิวแผ่นกระจกสไลเดอร์ หลังจากนั้นประยุกต์พลาสม่าด้วยแก๊สผสมระหว่าง $C_2H_2 : H_2$ ด้วยอัตราส่วน 30:70 40:60 และ 50:50 ในเวลา 10 นาที 20 นาที และ 30 นาที เพื่อให้พื้นผิวแผ่นกระจกสไลเดอร์มีฟิล์มบาง กราฟีนเคลือบอยู่

ในบทนี้จะเสนอผลการทดลอง และการวิเคราะห์ผลที่ได้จากการตรวจวัดชิ้นงานจากการสังเคราะห์ฟิล์มกราฟีนด้วยกระบวนการตากสะสมไออกมี โดยการประยุกต์พลาสมาน แผ่นกระจกสไลเดอร์ โดยจะแสดงผลการวัดค่ามุ่งสัมผัสหลักการหยดน้ำจากหลอดฉีดยาขนาดเล็ก (Sessile Drop) เพื่อคุณค่าของมุ่งสัมผัสระหว่างหยดน้ำกับพื้นผิวชิ้นงาน และตรวจสอบความหนาของแผ่นฟิล์มกราฟีนด้วยกล้องจุลทรรศน์แรงออม และการหาค่าพารามิเตอร์ที่เหมาะสมในการดิสchar์จพลาasma เพื่อสังเคราะห์ฟิล์มกราฟีน

4.1 ผลการตรวจสอบค่ามุ่งสัมผัสระหว่างหยดน้ำกับพื้นผิวของชิ้นงาน

จากการสังเกตพื้นผิวของกระจกสไลเดอร์ด้วยตาเปล่า จะพบว่าพื้นผิวของกระจกสไลเดอร์ที่ผ่านการประยุกต์พลาสม่าจะมีสีเหลืองขุ่น ซึ่งเป็นผลมาจากการก้าชอะเซทิลีน ชิ้นงานจะมีสีที่เข้มขึ้นหากมีระยะเวลาในการดิสchar์จที่มากขึ้น ดังภาพ 4.1 จากการวิเคราะห์ค่ามุ่งสัมผัสหยดน้ำกับพื้นผิวของชิ้นงานที่ทำการวัดด้วยวิธีการหยดน้ำจากเข็มฉีดยาขนาดเล็กลงบนชิ้นงานตัวอย่าง (Sessile Drop) ผลที่ได้ ดังตาราง 4.1 อาจจะไม่สามารถสรุปแนวโน้มข้องค่ามุ่งสัมผัสแต่ละเงื่อนไขได้ แต่สามารถบอกได้ว่าพื้นผิวของชิ้นงานมีการเปลี่ยนแปลงเกิดขึ้นเมื่อเทียบค่ามุ่งสัมผัสของหยดน้ำก่อนการประยุกต์พลาスマ และหลังการประยุกต์พลาスマ



ภาพ 4.1 กระจกสไลด์ที่ผ่านการประยุกต์พลาasma

ตาราง 4.1 เปรียบเทียบค่ามุนสัมผัสเฉลี่ย (องศา) ของชิ้นงานที่ไม่ได้ทำการประยุกต์พลาasma และทำการประยุกต์พลาasmaตามเงื่อนไขต่าง ๆ

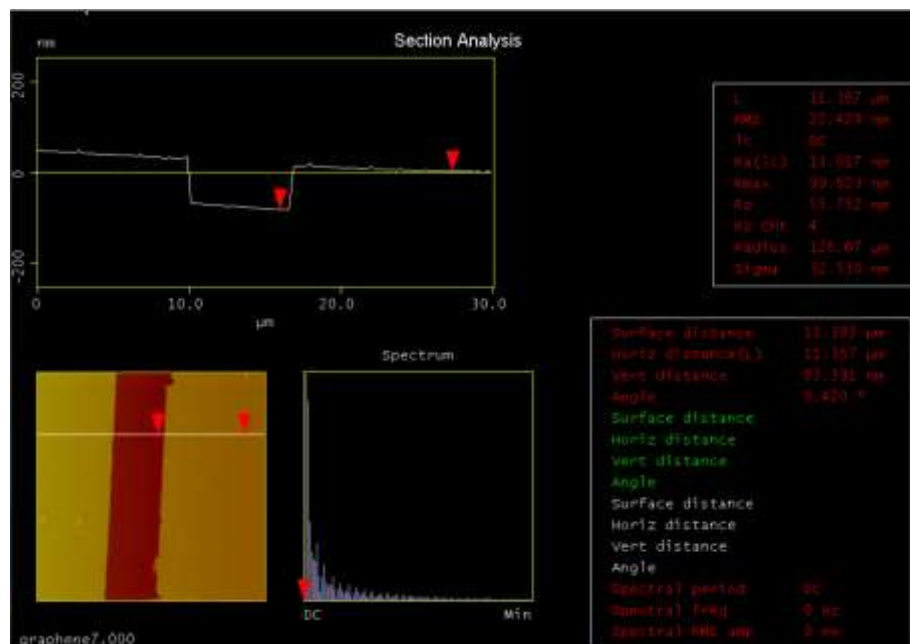
StdOrder	ค่ามุนสัมผัส (องศา)		
	ซ้าย	ขวา	เฉลี่ย
21	46.17	39.28	42.73
3	55.36	59.75	57.55
2	60.56	58.69	59.62
1	51.38	59.06	55.22
17	45.30	54.49	49.89
13	60.32	67.48	63.90
10	63.58	60.39	61.98
14	61.33	59.86	60.60
5	69.10	64.79	66.95
15	64.64	64.76	64.70
11	62.16	65.00	63.58
12	66.54	65.35	65.95
18	68.42	66.17	67.29
7	63.24	65.18	64.21
8	57.79	54.58	56.19
19	68.43	66.17	67.30

ตาราง 4.1 เปรียบเทียบค่ามุ่งสัมผัสเฉลี่ย (องศา) ของชิ้นงานที่ไม่ได้ทำการประยุกต์พลาสma และทำการประยุกต์พลาสmaตามเงื่อนไขต่าง ๆ (ต่อ)

StdOrder	ค่ามุ่งสัมผัส (องศา)		
	ซ้าย	ขวา	เฉลี่ย
6	58.76	66.48	62.62
16	69.33	69.59	69.46
20	67.72	65.14	66.43
4	63.67	66.28	64.97
9	69.01	72.82	70.92

4.2 ผลการตรวจสอบลักษณะสัญญาณของชิ้นงาน

นำชิ้นงานขนาด 1×1 เซนติเมตร หลังจากการทำการประยุกต์พลาสmaตามเงื่อนไขการทดลองต่าง ๆ มาทำสัญลักษณ์ก่อนการนำไปทำการวิเคราะห์ความหนาของฟิล์มกราฟีนด้วยกล้องจุลทรรศน์แรงอະตอม ดังภาพ 4.2 โดยค่าระยะแนวระนาบ (Vert Distance) ที่แสดงบนจอประมาณผล คือ ค่าความหนาของฟิล์ม จากการวัดค่าความหนาตามแนวระนาบ 5 ตำแหน่ง และนำมาหาค่าเฉลี่ยเพื่อพิจารณาความหนาเฉลี่ยของฟิล์มที่สั่งเคระห์ได้ จะพบว่าความหนาของชิ้นงานจะมีค่าเฉลี่ยที่สูงเมื่อมีระยะเวลาในการดิสชาร์จที่มากขึ้น ดังตาราง 4.2



ภาพ 4.2 การวิเคราะห์ความหนาของฟิล์มกราฟีนด้วยกล้องจุลทรรศน์แรงอະตอม

ตาราง 4.2 การวิเคราะห์ความหนาของพิล์มกราฟีนด้วยกล้องจุลทรรศน์แรงอะตอม

StdOrder	ความหนาของพิล์ม (นาโนเมตร)					
	ตำแหน่ง 1	ตำแหน่ง 2	ตำแหน่ง 3	ตำแหน่ง 4	ตำแหน่ง 5	ค่าเฉลี่ย
21	232.97	231.01	220.22	227.83	228.75	182.41
3	190.32	187.51	188.64	193.71	181.80	152.04
2	111.11	107.59	106.49	109.60	111.97	86.96
1	147.61	142.74	140.77	144.65	140.00	115.15
17	295.88	280.84	288.18	262.09	279.62	225.39
13	288.65	290.28	288.60	295.57	296.34	232.62
10	85.93	83.39	84.24	84.52	82.48	67.62
14	167.13	161.85	164.11	164.74	169.12	131.57
5	121.74	128.65	137.10	125.33	128.22	102.56
15	193.43	194.06	197.31	187.09	167.42	154.38
11	120.83	110.32	104.12	118.43	114.49	90.74
12	45.89	56.25	58.93	46.45	47.44	41.51
18	174.12	173.69	192.30	189.14	194.35	145.85
7	347.67	337.72	334.77	338.97	336.16	271.83
8	329.05	310.38	313.33	316.24	313.91	253.80
19	153.46	151.84	149.37	144.72	146.98	119.88
6	131.61	129.07	129.64	128.08	125.19	103.68
16	259.20	258.92	278.50	279.51	284.01	215.23
20	125.75	122.02	130.84	105.31	101.51	96.78
4	153.95	152.48	149.52	147.82	146.49	120.75
9	53.15	49.63	53.51	53.85	43.14	42.03

4.3 การวิเคราะห์ข้อมูลที่ได้จากการทดลองด้วยโปรแกรมมินิแทป (Minitab 19.0)

จากการทดลองข้างต้น ผู้วิจัยได้นำข้อมูลความหนาของพิล์มกราฟีนมาใช้ในการหาค่าพารามิเตอร์ที่เหมาะสมในกระบวนการผลิตสารเจล โดยใช้ฟังก์ชันการวิเคราะห์ผลแบบแฟคทอเรียล (Analyze Factorial Design) ซึ่งสามารถวิเคราะห์ได้ดังนี้

4.3.1 การวิเคราะห์ความแปรปรวนของผลตอบความหนาของพิล์มกราฟีนที่ทำการสังเคราะห์ด้วยพลาสม่าความดันต่ำ

เมื่อพิจารณาค่าสัมประสิทธิ์การตัดสินใจ (R-Square) เพื่อวัดสมรรถนะโดยรวมของแบบจำลอง พบร่วมกัน R^2 มีค่าเท่ากับ 61.30 เปอร์เซ็นต์ และภายหลังการปรับค่าได้ R^2 (adj) มีค่าเท่ากับ 35.50 เปอร์เซ็นต์ ของผลตอบความหนาของฟิล์มกราฟีนที่ทำการสั่งเคราะห์ด้วยเครื่องพลาสมากำลังดันต่ำ โดยปกติแบบจำลองควรมีค่าอยู่น้อย 80 เปอร์เซ็นต์ ของความหนาของฟิล์มกราฟีน ดังนั้น เมื่อค่า P-value มีค่าเท่ากับ 0.086 ซึ่งมากกว่า 0.05 จึงปฏิเสธสมมติฐานหลักที่ระดับนัยสำคัญ 0.05 แสดงว่าแบบจำลองไม่เหมาะสม แสดงการวิเคราะห์ความแปรปรวนของผลตอบความหนาของฟิล์มกราฟีนที่ทำการสั่งเคราะห์ด้วยเครื่องพลาสมากำลังดันต่ำ ดังตาราง 4.3 – 4.4

ตาราง 4.3 การวิเคราะห์ค่าสัมประสิทธิ์การตัดสินใจ (R-Square)

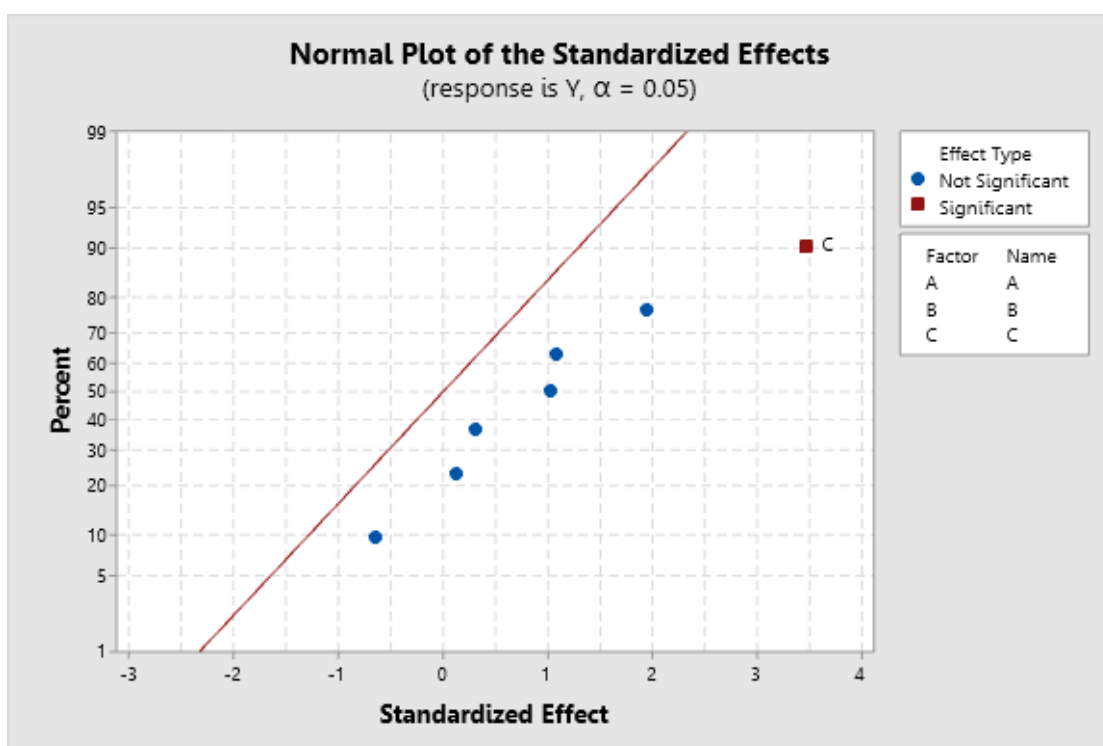
S	R-sq	R-sq (adj)	R-sq (pred)
53.8329	61.30%	35.50%	0.00%

ตาราง 4.4 การวิเคราะห์ความแปรปรวนของผลตอบความหนาของฟิล์มบาง

Source	DF	Coef	Adj SS	Adj MS	F-Value	P-Value
Model	8		55090.9	6886.4	2.38	0.086
Linear	3		47204.1	15734.7	5.43	0.014
กำลังไฟฟ้า	1	-8.8	1229.2	1229.2	0.42	0.527
อัตราส่วน	1	26.1	10924.5	10924.5	3.77	0.076
เวลา	1	46.8	35050.4	35050.4	12.09	0.005
2-Way Interactions	3		3655.2	1218.4	0.42	0.742
กำลังไฟฟ้า*อัตราส่วน	1	4.1	262.8	262.8	0.09	0.768
กำลังไฟฟ้า*เวลา	1	1.6	42.3	42.3	0.01	0.906
อัตราส่วน*เวลา	1	14.6	3350.1	3350.1	1.16	0.303
3-Way Interactions	1		3043.5	3043.5	1.05	0.326
กำลังไฟฟ้า*อัตราส่วน*เวลา	1	13.8	3043.5	3043.5	1.05	0.326
Curvature	1	17.7	1188.1	1188.1	0	0.534
Error	12		34775.7	2898.0		
Total	20		89866.6			

4.3.2 การคัดกรองเฉพาะผลกรอบที่มีผลต่อกระบวนการอย่างมีนัยสำคัญ

การพิจารณาผลกรอบใดที่มีที่มีผลต่อการทดลองอย่างมีนัยสำคัญ จะใช้วิธีการทดสอบทางสถิติด้วยค่า P-Value คือ ความน่าจะเป็นที่ค่าทดสอบทางสถิติจะมีค่าน้อยกว่าค่าของ Alpha (α) ที่ 0.05 แสดงว่าปัจจัยนั้นมีนัยสำคัญทางสถิติ และจากการวิเคราะห์ผล ซึ่งสอดคล้องกับกราฟความน่าจะเป็น (Normal Probability Plot) แสดงผลกรอบต่อผลตอบความหนาของพิล์ม ซึ่งสามารถสรุปจากการทดลองได้ว่า ผลกรอบของปัจจัยที่ผลต่อความหนาของพิล์มอย่างมีนัยสำคัญที่ระดับความเชื่อมั่นร้อยละ 95 ตามกฎของการแบ่งลำดับ (Hierarchical Principle) (Montgomery, 2005) พบว่าผลกรอบหลัก ได้แก่ ปัจจัย C คือ เวลาในการดิษชาร์จพลาสma โดยปัจจัยที่มีผลต่อกระบวนการอย่างมีนัยสำคัญจะระบุเป็นสัญลักษณ์รูปสี่เหลี่ยม ดังภาพ 4.3

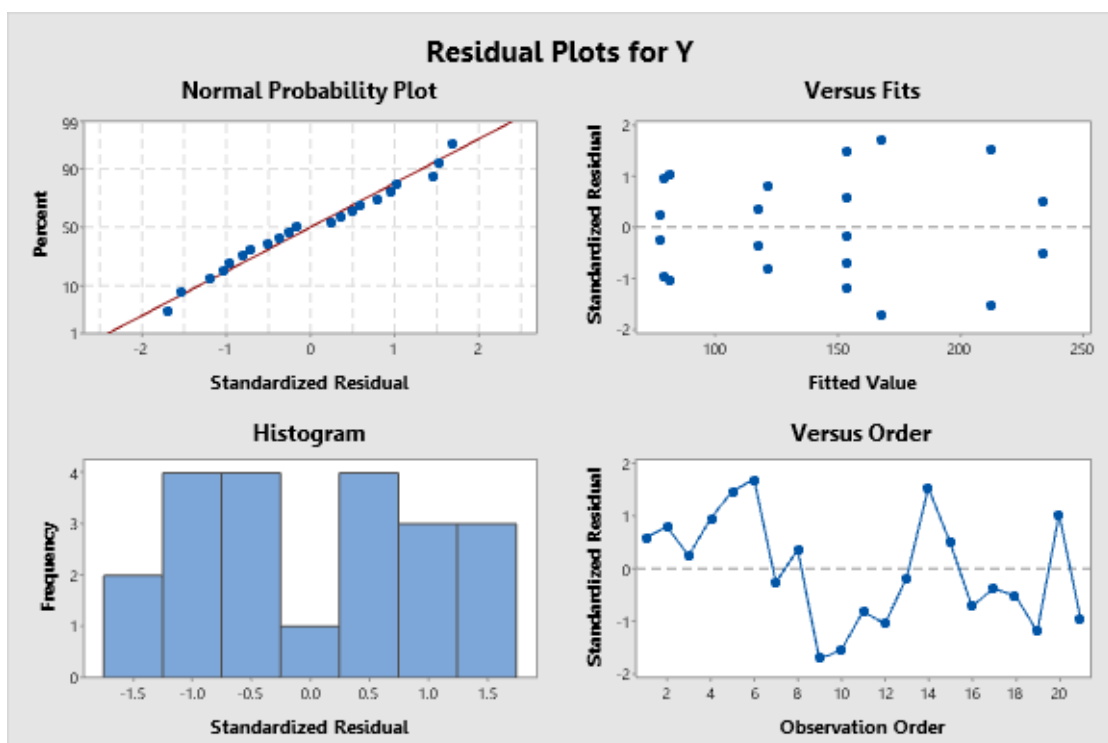


ภาพ 4.3 กราฟความน่าจะเป็นแสดงผลกรอบต่อความหนาของพิล์มหลังการประยุกต์พลาสma

ในงานวิจัยชิ้นนี้มีการทดลองที่จุดกึ่งกลางของปัจจัย (Curvature) จึงใช้สำหรับพิจารณาความสัมพันธ์ของข้อมูลที่มีความเป็นเส้นโค้ง มี P-Value เท่ากับ 0.534 ของผลตอบความหนาของพิล์ม และมี F-value เท่ากับ 0.41 ดังนั้นเมื่อค่า P-value มีค่ามากกว่า 0.05 และ F-value มีค่าน้อยกว่าค่าวิกฤตซึ่งมีค่าเท่ากับ 4.75 จึงยอมรับสมมติฐานหลักที่ระดับนัยสำคัญ 0.05 ที่ว่าผลกระทบของความดราติกมีค่าเท่ากับศูนย์ แสดงว่าแบบเชิงเส้นรวมผลกระทบร่วมเหมาะสมแล้ว และไม่จำเป็นต้องทำการทดลองเพิ่มเติม

4.3.3 การวิเคราะห์ส่วนตกล้างของผลตอบความหนาของฟิล์ม

ในส่วนของกราฟความน่าจะเป็นแบบปกติของส่วนตกล้าง (Normal Probability Plot of Residuals) ดังภาพ 4.4 พบว่าผลที่ได้จากการกราฟความน่าจะเป็นแบบปกติของส่วนตกล้างมีแนวโน้มเป็นสันตրัตน์ และในส่วนของกราฟไฮสโตแกรมของส่วนตกล้าง พบว่ามีการกระจายตัวของส่วนตกล้างในทุกช่วงของกราฟไฮสโตแกรม และลักษณะกราฟเป็นภาพพระจังค์ว่า ซึ่งสามารถสรุปได้ว่าการกระจายตัวของส่วนตกล้างของข้อมูลผลตอบมีแนวโน้มกระจายตัวแบบปกติ ในส่วนของกราฟระหว่างส่วนตกล้างกับค่าที่ถูกทำนาย (Residuals Versus the Fitted Values) พบว่าส่วนตกล้างมีแนวโน้มซึ่งสามารถสรุปได้ว่าส่วนตกล้างมีการกระจายตัวแบบไม่อิสระขึ้นอยู่กับค่าที่ถูกทำนาย ดังนั้นการทดลองในครั้งนี้จึงไม่ควรนำไปใช้



ภาพ 4.4 กราฟระหว่างส่วนตกล้างกับค่าที่ถูกทำนายของผลตอบความหนาของฟิล์มกราฟีน

4.3.4 การสร้างแบบจำลอง

เป็นการสร้างแบบจำลองทางคณิตศาสตร์เพื่อแสดงความสัมพันธ์ระหว่างปัจจัยที่มีนัยสำคัญกับผลตอบ ดังสมการ 4.1

$$Y = 136.4 - 8.8A + 26.1B + 46.8C + 4.1 A*B + 1.6A*C + 14.5 B*C + 13.8A*B*C + 17.7 Ct Pt \quad (4.1)$$

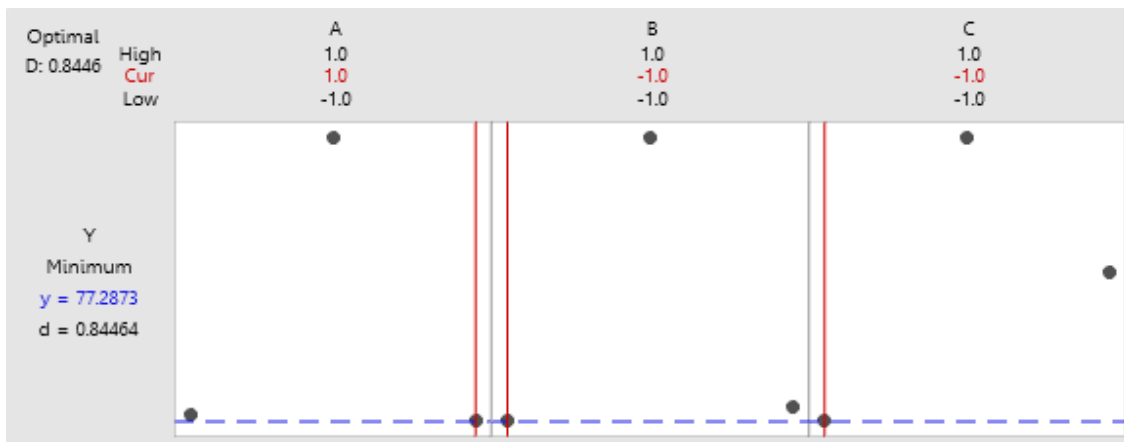
โดยแบบจำลองจะรวมเฉพาะปัจจัยที่จำเป็น ได้แก่ ปัจจัยที่มีผลต่อกระบวนการอย่างมีนัยสำคัญ และตัดปัจจัยที่ไม่จำเป็นออก เพื่อให้แบบจำลองมีความกะทัดรัด และไม่ซับซ้อนเกินไป ดังสมการ 4.2 เพื่อใช้ทำนายผลการทดลอง โดยสัมประสิทธิ์ของผลกระทบค่านวนจากค่าผลผลกระทบของแต่ละปัจจัยหารด้วยสอง ซึ่งสามารถสร้างแบบจำลองต่อผลตอบความหนาของฟิล์มโดย Y คือ ความหนาของฟิล์มที่สังเคราะห์ได้

$$Y = 136.4 - 8.8A \quad (4.2)$$

เมื่อตรวจสอบความน่าเชื่อถือของแบบจำลองที่สร้างขึ้น ดังสมการ 4.1 อีกทั้งยังเป็นการตรวจสอบความเพียงพอของแบบจำลอง โดยแบบจำลองที่เหมาะสม และมีประสิทธิภาพควรประกอบด้วยปัจจัยที่จำเป็น และสามารถทำนายผลตอบที่เงื่อนไขต่าง ๆ ได้ใกล้เคียงกับผลการทดลองจริง อย่างไรก็ตามผลการทดลองวัดความหนาของฟิล์มมีเงื่อนไขที่ดีที่สุดของการออกแบบการทดลองคือ กำลังไฟฟ้า 60 วัตต์ อัตราส่วนระหว่างก๊าซอะเซทิลีน กับก๊าซไฮโดรเจนเท่ากับ 30 : 70 เวลาในการดิสชาร์จพลาスマ 10 นาที และเงื่อนไขที่ให้ความหนาของฟิล์มบางมากที่สุดที่เงื่อนไขของการออกแบบการทดลอง คือ กำลังไฟฟ้า 100 วัตต์ อัตราส่วนระหว่างก๊าซอะเซทิลีนกับก๊าซไฮโดรเจนเท่ากับ 50 : 50 เวลาในการดิสชาร์จพลาスマ 30 นาที

4.3.5 การหาค่าที่เหมาะสมของปัจจัยสำหรับผลตอบ

นำผลตอบมาวิเคราะห์ด้วยโปรแกรมมินิแทป (Minitab 19.0) ด้วยฟังก์ชันเพิ่มประสิทธิภาพการตอบสนอง (Response Optimizer) เพื่อหาค่าพารามิเตอร์ที่เหมาะสมในกระบวนการดิสชาร์จโดยเลือกกำหนดค่าเป้าหมายของผลตอบเป็นค่าที่ต่ำที่สุด (Minimum) หลังจากทำการหาค่าที่เหมาะสมตามเป้าหมายในกระบวนการสังเคราะห์ฟิล์มบาง พบร่วางค่าพยากรณ์ที่เหมาะสมที่สุดที่ทำให้ได้ฟิล์มที่มีความหนาน้อยที่สุด คือ กำลังไฟฟ้า 60 วัตต์ อัตราส่วนระหว่างก๊าซอะเซทิลีนกับก๊าซไฮโดรเจนเท่ากับ 30 : 70 เวลาในการดิสชาร์จพลาスマ 10 นาที จะได้ค่าพยากรณ์ความหนาของฟิล์มเท่ากับ 77.2873 นาโนเมตร โดยค่าที่เหมาะสมที่สุดของแต่ละปัจจัยสำหรับผลตอบความหนาของฟิล์มบาง ดังภาพ 4.5



ภาพ 4.5 กราฟแสดงค่าที่เหมาะสมของแต่ละปัจจัยสำหรับผลตอบความหนาของพิล์มบาง

4.3.6 การทดลองเพื่อยืนยันผล

ผู้วิจัยได้ทำการสังเคราะห์พิล์มบาง โดยใช้ค่าที่เหมาะสมของปัจจัยสำหรับผลตอบความหนาของพิล์มบาง ได้แก่ กำลังไฟฟ้า 60 วัตต์ อัตราส่วนระหว่างก๊าซอะเซทิลีน กับก๊าซไฮโดรเจนเท่ากับ 30 : 70 เวลาในการดิสชาร์จ 10 นาที ดังตาราง 4.5 เพื่อยืนยันความน่าเชื่อถือของแบบจำลอง

ตาราง 4.5 ความหนาของพิล์มบางในเงื่อนไขที่ดีที่สุดจากการทดลอง

ขั้นงานที่	ความหนาของพิล์ม (นาโนเมตร)					
	ตำแหน่ง 1	ตำแหน่ง 2	ตำแหน่ง 3	ตำแหน่ง 4	ตำแหน่ง 5	ค่าเฉลี่ย
1	80.57	79.38	80.43	80.65	81.42	80.49
2	70.56	69.16	68.87	67.69	66.83	68.62
3	72.39	71.76	72.61	70.08	71.48	71.66

4.3.7 การทดสอบ T-test

การทดสอบ T-test แบบข้อมูลหนึ่งกลุ่มตัวอย่าง ใช้ทดสอบเพื่อยืนยันผลว่าแบบจำลองต่อผลตอบความหนาของพิล์มบางสามารถใช้ได้จริง และมีค่าใกล้เคียงกับค่าพยากรณ์ที่ได้จากแบบจำลองหรือไม่

โดยกำหนดให้

$$H_0: \mu = 77.2873$$

$$H_1: \mu \neq 77.2873$$

การทดสอบค่า T-test ของข้อมูลหนึ่งกลุ่มตัวอย่างว่ามีความแตกต่างกันอย่างมีนัยสำคัญ หรือไม่ ที่ระดับนัยสำคัญ $\alpha = 0.05$ ทำการทดสอบเทียบกับค่าพยากรณ์ความหนาของพิล์มบาง ที่มีค่าเท่ากับ 77.2873 นาโนเมตร จากการวิเคราะห์ข้อมูลความหนาของพิล์มบาง พบร่วมค่า P-value

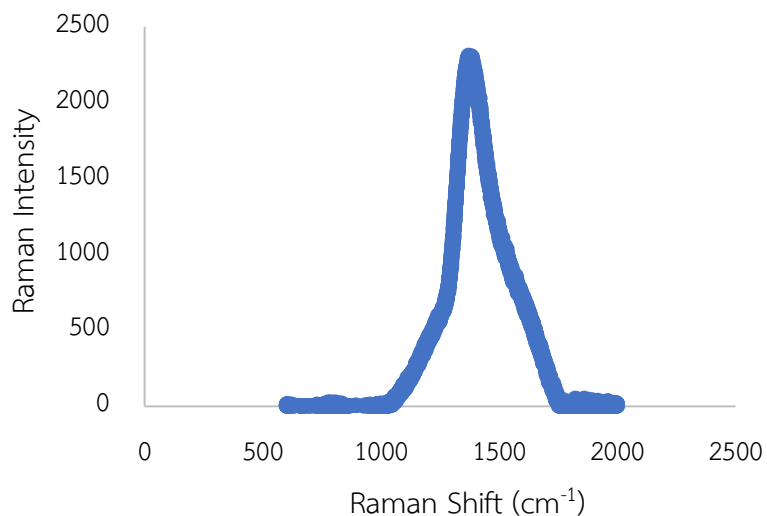
เท่ากับ 0.408 ซึ่งมีค่ามากกว่า 0.05 จึงยอมรับสมมติฐานหลักที่ระดับนัยสำคัญ 0.05 แสดงว่าข้อมูลความหนาของพิล์มบางมีค่าเท่ากับค่าพยากรณ์ที่ 77.2873 นาโนเมตร หรือไม่แตกต่างกันอย่างมีนัยสำคัญที่ค่าความเชื่อมั่นร้อยละ 95 แสดงดังตาราง ดังตาราง 4.6

ตาราง 4.6 การทดสอบค่า t-test เทียบกับค่าพยากรณ์

N	Mean	StDev	SE Mean	95% CI for μ	T-value	P-value
3	73.59	6.17	3.56	(58.28, 88.91)	-1.04	0.408

4.4 ผลการวิเคราะห์อัตลักษณ์ของขั้นงานด้วยเทคนิครามานสเปกตรอสโคปี

จากการวิเคราะห์ขั้นงานที่ผ่านการสังเคราะห์ในเงื่อนไขที่มีกำลังไฟฟ้า 60 วัตต์ อัตราส่วนระหว่างก๊าซอะเซทิลีนกับก๊าซไฮโดรเจนเท่ากับ 30:70 และใช้เวลาในการดิสชาร์จพลาสม่า 10 นาที จากการวิเคราะห์พบว่าเลขคู่ (Wave Number) มีค่าประมาณ $1,382.10\text{ cm}^{-1}$ ดังภาพ 4.6 ซึ่งไม่ใช่ลักษณะโครงสร้างของกราฟีน (Graphene) แต่มีลักษณะโครงสร้างเป็นแบบกราฟีโนกไซด์ (Graphene Oxide) ซึ่งมีค่าเลขคู่ที่ $1,380\text{ cm}^{-1}$



ภาพ 4.6 กราฟการวิเคราะห์ขั้นงานด้วยวิธีรามานสเปกตรอสโคปี (Raman Spectroscopy)

บทที่ 5

สรุปผลการดำเนินงาน

ในงานวิจัยนี้ได้ศึกษาเกี่ยวกับการเคลือบพลาสماบนแผ่นกระจกสไลด์ ระบบการตกลงสมิอ เชิงเคมีเสริมด้วยพลาสมาที่ความถี่วิทยุ (RF-PECVD System) 13.56 เมกะเฮิร์ต ภายใต้ความดัน 2×10^{-2} ทอร์ โดยมีจุดมุ่งเน้นในการหาค่าพารามิเตอร์ที่เหมาะสมในการสังเคราะห์ฟิล์มกราฟีน ซึ่งมีใช้การออกแบบการทดลองเชิงแฟกทอเรียลแบบ 2^k ในการออกแบบการทดลอง และวิเคราะห์ผลที่ได้โดยใช้กล้องจุลทรรศน์แรงอะตอม (Atomic Force Microscope) วัดค่ามุมสัมผัสน้ำของฟิล์มบาง (Contact Angle) และหาเอกสารักษณ์ของฟิล์มบางด้วยเทคนิครามานสเปกโตรสโคปี (Raman - Spectroscopy) ซึ่งในบทนี้จะเป็นการกล่าวถึงบทสรุปที่ได้จากการดำเนินงาน ปัญหาที่พบจากการดำเนินงาน และข้อเสนอแนะในการทำงาน

5.1 อภิปรายผลการทดลอง

ในการทดลองการหาค่าพารามิเตอร์ที่เหมาะสมโดยใช้เทคนิคพลาสมาสปอตเตอริง โดยผู้วิจัยทำการออกแบบการทดลองโดยใช้การออกแบบการทดลองเชิงแฟกทอเรียลแบบ 2^k โดยมีทั้งหมด 3 ปัจจัย 2 ระดับ ได้แก่ กำลังไฟฟ้า 60 80 และ 100 วัตต์ อัตราส่วนระหว่าง $C_2H_2 : H_2$ คือ 30:70 40:60 และ 50:50 ระยะเวลาในการดิสชาร์จพลาสma 10 20 และ 30 นาที โดยทำการทดลอง 2 ชั้a และทดสอบความเป็นเส้นเคิงจุดกึ่งกลาง 5 ชั้a รวมเป็นจำนวนการทดลอง $(2^3 \times 2) + 5$ คิดเป็น 21 การทดลอง โดยมีผลการทดลอง หรือผลตอบ คือ ความหนาของฟิล์ม จากผลการทดลองพบว่า ปัจจัยที่มีผลต่อการทดลองอย่างมีนัยสำคัญ คือ เวลาในการดิสชาร์จ ซึ่งมีค่า P-value เท่ากับ 0.005 ที่ระดับความเชื่อมั่นร้อยละ 95 โดยค่าที่เหมาะสมที่สุดในการดิสชาร์จพลาสma คือ กำลังไฟฟ้า 60 วัตต์

อัตราส่วนระหว่างก้าชอะเซทิลีน กับก้าชไฮโดรเจนเท่ากับ 30 : 70 เวลาในการดิสชาร์จพลาสม่า 10 นาที โดยความหนาฟิล์มบางน้อยที่สุดเท่ากับ 77.2873 นาโนเมตร

จากการวิจัยของ Nan Jiang et al. ได้มีการเปรียบเทียบค่ามุนสัมผัสน้ำของฟิล์มกราฟีนที่เคลือบลงบนโพลีไಡเมทิลไซโล xen (Polydimethylsiloxane) และกระจก ทำให้ทราบค่ามุนสัมผัสน้ำของกราฟีนที่เคลือบบนกระจกมีค่าเท่ากับ 146 องศา แสดงให้เห็นว่าฟิล์มกราฟีนมีลักษณะไม่ชอบน้ำอย่างยิ่ง (*Superhydrophobic*) และจากการหาค่ามุนสัมผัส (Contact Angle) ในกราฟฟิคของน้ำบนฟิล์มกราฟีนที่เคลือบบนฟิล์มบางที่สังเคราะห์ขึ้นนี้มีลักษณะชอบน้ำ (*Hydrophilic*) ดังนั้นจากการวิเคราะห์หาค่ามุนสัมผัสน้ำแล้ว ฟิล์มบางที่ได้นี้อาจไม่ใช่ฟิล์มกราฟีน

ในการตรวจเอกสารลักษณะของฟิล์มบางโดยใช้เทคนิครามานสเปกโตรสโคป (Raman Spectroscopy) พบว่าผลจากกราฟที่ได้ไม่ใช่ลักษณะของฟิล์มกราฟีน (Graphene) แต่มีลักษณะโครงสร้างเป็นกราฟีโนอกไซด์ (Graphene Oxide) ซึ่งเป็นโครงสร้างอกรูปแบบหนึ่งของฟิล์มคาร์บอน โครงสร้างเป็นกราฟีโนอกไซด์มีค่าเลขคลื่นอยู่ที่ $1,380\text{ cm}^{-1}$ ส่วนพีคของกราฟีนมีค่าเลขคลื่นอยู่ในช่วงประมาณ 1600 cm^{-1}

จากการเปรียบเทียบผลการทดลองกับวิจัยอ้างอิง เรื่อง ผลของกำลังที่มีผลต่อการสังเคราะห์กราฟีนบนพื้นผิวทองแดงโดยวิธีการตกสะสมไออกซิเครื่องพลาสม่าความดันต่ำ ของ ณัฐนิช สมแก้ว ที่มีการใช้ตัวแปรในการทดลองเดียวกันแต่มีการใช้เงินไขในการทดลองที่ต่างกัน และมีการใช้เครื่องพลาสม่าความดันต่ำเดียวกัน พบว่าค่าความหนาของฟิล์มที่น้อยที่สุดที่ได้จากการสังเคราะห์มีค่าเท่ากับ 119.79 นาโนเมตร และผลจากการวิเคราะห์ด้วยเทคนิควิริรามานสเปกโตรสโคปพบว่า เป็นแผ่นฟิล์มคาร์บอนคล้ายเพชร (Diamond-Like Carbon: DLC) ดังนั้นผลการทดลองของผู้วิจัยได้ผลการทดลองที่ดีกว่าเนื่องจากมีความหนาของฟิล์มที่น้อยกว่าที่ 41.51 นาโนเมตร และมีโครงสร้างของฟิล์มเป็นกราฟีโนอกไซด์ (Graphene Oxide) ที่มีความใกล้เคียงกับฟิล์มกราฟีนมากกว่า เนื่องจากมีการออกแบบการทดลองจากปัจจัยที่มีความเหมาะสมจึงทำให้สามารถเปรียบเทียบ และวิเคราะห์ผลการทดลองได้ดีกว่า

5.2 สรุปผลการดำเนินงาน

จากการทดลองการหาเงื่อนไขที่เหมาะสมสำหรับการสร้างฟิล์มกราฟีนด้วยเทคนิคพลาสม่า สปัตเตอริง ผู้วิจัยได้ทำการออกแบบการทดลองโดยใช้การออกแบบการทดลองเชิงแฟกทอเรียลแบบ 2^k โดยมีทั้งหมด 3 ปัจจัย 2 ระดับ ได้แก่ ได้แก่ กำลังไฟฟ้า 60 80 และ 100 วัตต์ อัตราส่วนระหว่าง $\text{C}_2\text{H}_2 : \text{H}_2$ คือ 30:70 40:60 และ 50:50 ระยะเวลาในการดิสชาร์จพลาสม่า 10 20 และ 30 นาที โดยทำการทดลอง 2 ชั้น และทดสอบความเป็นเส้นโค้งจุดกึ่งกลาง 5 ชั้น รวมเป็นจำนวนการทดลอง $(2^3 \times 2) + 5$ จำนวน 21 การทดลอง โดยมีผลตอบ คือ ความหนาของฟิล์มบาง ทำให้ได้ค่าพยากรณ์ที่เหมาะสมที่สุดที่จะทำให้ได้ฟิล์มที่มีความหนา น้อยที่สุด คือ กำลังไฟฟ้า 60 วัตต์ อัตราส่วนระหว่างก้าชอะเซทิลีน กับก้าชไฮโดรเจนเท่ากับ 30 : 70 และเวลาในการดิสชาร์จพลาสม่า 10 นาที ทำให้ได้ค่าพยากรณ์ความหนาของฟิล์มเท่ากับ 77.2873 นาโนเมตร

เมื่อวิเคราะห์ทำการวิเคราะห์หาค่ามุนสัมผัสน้ำ และวิเคราะห์เอกลักษณ์ของฟิล์มบางแล้วทำให้ทราบว่าแผ่นฟิล์มที่ได้นั้นไม่ใช่ฟิล์มกราฟีนโดยตรง แต่เป็นฟิล์มกราฟีโนกไซด์ (Graphene Oxide) ซึ่งเป็นอีกรูปแบบนึงของฟิล์มคาร์บอน

5.3 ข้อเสนอแนะ

5.3.1 การศึกษากระบวนการดิสชาร์จอากาศ ได้ทำการทดลองเพื่อหาค่าพารามิเตอร์ที่เหมาะสมใน การสังเคราะห์ฟิล์มกราฟีนลงบนวัสดุฐานกระเจรจ แล้วอัตราส่วนของก๊าซอะเซทิลีนกับไฮโดรเจนด้วยวิธีการตก สะสมไอโอดีนเครื่องพลาสมาระดับต่ำ จึงทำให้ค่าพารามิเตอร์ที่ได้อาจไม่ใช่ค่าพารามิเตอร์ที่เหมาะสมที่สุดกับ การสังเคราะห์กราฟีนด้วยวัสดุฐานทุกชนิด การทำการทดลองเพิ่มเติมเพื่อเป็นประโยชน์ทางด้านอุตสาหกรรม ของประเทศไทย

5.3.2 การใช้เครื่องดิสชาร์จพลาスマความดันต่ำ เครื่องปั๊มที่ทำหน้าที่ดูดอากาศออกจากภาชนะ สุญญากาศเพื่อให้อยู่ในสภาพสุญญากาศสามารถลดความดันภายในภาชนะสุญญากาศให้ต่ำที่สุดเท่ากับ 2×10^{-2} ทอร์ ซึ่งมีผลต่อการสังเคราะห์ฟิล์มกราฟีน ดังนั้นจึงควรใช้เครื่องปั๊มสุญญากาศที่มีกำลังมากขึ้นเพื่อให้มี ความดันต่ำมากเพื่อเพิ่มประสิทธิภาพในการสังเคราะห์ฟิล์มกราฟีนลงบนวัสดุฐานกระเจรจส์ได้ให้มากขึ้น

5.3.2 การทำภาชนะสุญญากาศให้อยู่ภายใต้สภาพสุญญากาศนั้นความสามารถในการทำงานของ เครื่องปั๊มขึ้นอยู่กับสภาพแวดล้อมในการทำงาน เนื่องจากภายในห้องที่ทำการทดลองมีเครื่องมือทดลองหลาย ประเภท และมีการใช้งานอยู่ตลอดเวลา จึงอาจส่งผลกระทบต่อความชื้นภายในอากาศ ซึ่งอาจทำให้การปั๊มสุญญากาศ นั้นใช้เวลานานในการทำงาน หากมีการใช้งานในอนาคตควรทำการทดลองในห้องปิดเพื่อเพิ่มประสิทธิภาพใน การทำงานของเครื่องปั๊มสุญญากาศ

5.3.3 ชั้นวางชิ้นงานทดสอบภายในภาชนะสุญญากาศมีพื้นเหมาะสมสำหรับวางชิ้นงานทดสอบที่มีขนาด เล็ก และเหมาะสมสำหรับชิ้นงานจำนวนไม่มาก ดังนั้นหากต้องการใช้พื้นที่สำหรับวางชิ้นงานทดสอบหลาย ตัวอย่างควรเปลี่ยนไปใช้เครื่องพลาスマความดันต่ำมีขนาดใหญ่กว่าเพื่อความเหมาะสมในการทดลอง

5.4 ปัญหา และแนวทางการแก้ไข

ปัญหาที่พบและวิธีการดำเนินการแก้ไขสามารถสรุปได้ดังตาราง 5.1

ตาราง 5.1 ปัญหา และแนวทางการแก้ไข

ปัญหา อุปสรรค	แนวทางการแก้ไข
1. การปั๊มสูญญากาศค่อนข้างใช้เวลานาน เนื่องจาก ความสามารถของเครื่องปั๊ม และอากาศบริเวณรอบ ข้างทำให้การทดลองในแต่ละเงื่อนไขใช้เวลานาน	ทำการดำเนินเครื่องดิสชาร์จพลาสมាយ่างต่อเนื่อง เพื่อให้ความดันในภาชนะสูญญากาศต่ำเสมอ และ ทำการวางแผนการทดลองให้มีความเหมาะสมกับ เวลาในการปั๊มของเครื่องปั๊มสูญญากาศ
2. มีอากาศตกค้างในห้องนำก๊าซที่ต่อมายังภาชนะ สูญญากาศ ทำให้ในการทดลองครั้งแรกในแต่ละวัน พลาสม่าที่ได้มีอากาศผสมอยู่ด้วย ซึ่งสังเกตได้จากสี ของก๊าซภายในภาชนะสูญญากาศจะมีสีแดง	ทำการดิสชาร์จพลาasma ที่มีส่วนผสมของก๊าซ อะเซทิลีน และไฮโดรเจนก่อนนำชิ้นงานใส่เข้าไปยัง ภาชนะสูญญากาศ แล้วจึงเริ่มการทดลอง
3. การดำเนินเครื่องดิสชาร์จพลาスマต่อเนื่องใน กระบวนการตักเคลือบไอสะสมของก๊าซอะเซทิลีน จะเกิดการสะสมของไอที่บริเวณผนังของภาชนะ สูญญากาศ ทำให้ภาชนะสูญญากาศไม่สะอาด สังเกตได้จากที่ผนังของภาชนะมีสีเหลืองขุ่น	ทำความสะอาดผนังของภาชนะสูญญากาศโดยนำ กระดาษทิชชูชุบแอลกอฮอล์เช็ดออก หากภาชนะมี ความสกปรกมากให้ทำการถอดภาชนะสูญญากาศ ออกมา เช็ดด้วยน้ำสะอาดเป็นเวลา 2 วัน
4. หากเก็บชิ้นงานเป็นเวลาเกิน 1 สัปดาห์ จะทำให้ พิล์มบางที่เคลือบบนกระจะเป็นสีรุ้ง และทำให้พิล์ม ลอกออกได้	หลังจากทำการประยุกต์พลาasma แล้วควรนำไป ตรวจดูมุมสัมผัสทันทีเพื่อป้องกันการหลุดลอกของ พิล์มเมื่อโดนหยดน้ำ และจัดเก็บชิ้นงานในตู้ควบคุม ความชื้นไม่เกิน 3 วัน ก่อนที่จะนำไปตรวจด้วยกล้อง จุลทรรศน์แรงดันลม

บรรณารักษ์

- ขวัญใจ เนียมทอง.(2554) นาโนน่ารู้ Atomic Force Microscope (AFM), ศูนย์เทคโนโลยีแห่งชาติ,
[ระบบออนไลน์]. แหล่งที่มา <https://www.nanotec.or.th> . [23 สิงหาคม 2562]
- จิราพร พรมปัญญา.(2559), ผลของอัตราส่วนแก๊สพลาสม่าต่อการสังเคราะห์ท่อนาโนคาร์บอนโดย
เทคนิคการตกสะสมด้วยไอเคมี. เชียงใหม่: มหาวิทยาลัยเชียงใหม่
- ประยูร ส่งสิริกุล. (2548). แสงซินโครตรอนกับงานวิจัยและการตรวจวิเคราะห์ : เทคนิคโฟโตอิมิช
ชัน (ตอนที่ 2). ศูนย์ปฏิบัติการวิจัยเครื่องกำเนิดแสงซินโครตรอนแห่งชาติ. วารสาร
เทคโนโลยีวัสดุ, ฉบับที่ 48, หน้า 47-50.
- วิชเวช หรัญญาสิต. (2557), การศึกษาปัจจัยที่ส่งผลกระทบต่อการสังเคราะห์กราฟีนด้วยวิธีการเคลือบผิว
ด้วยไอเคมีและการถ่ายโอนกราฟีนลงบนวัสดุฐานรองรับ. กรุงเทพฯ: จุฬาลงกรณ์มหาวิทยาลัย
- วิบูลย์ พงศ์พรทรัพย์. (2559). การออกแบบการทดลอง (Design of Experiment). QM Magazine,
ฉบับที่ 271, หน้า 15-17.
- วิลาสินี ภูมิตรสก. (2541). การเคลือบฟิล์มบางแบบสปัตเตอริ่ง (Sputtering Deposition) . [ระบบ
ออนไลน์]. แหล่งที่มา : <https://www2.mtec.or.th.pdf>. [23 สิงหาคม 2562]
- สุษนิช สมแก้ว. (2555), ผลของกำลังที่มีต่อการสังเคราะห์ฟิล์mgraฟีนบนพื้นผิวทองแดงโดยวิธีการตก
สะสมไอเคมีเครื่องพลาสมาร่วมดันตា. เชียงใหม่: มหาวิทยาลัยเชียงใหม่
- ศิริกาญจน์ วิเศษสุวรรณภูมิ. (2560). กราฟีนวัสดุ 2 มิติเพื่อนภาคต. ห้องปฏิบัติการพิสิกส์เพล
เมอร์ : ศูนย์เทคโนโลยีและวัสดุแห่งชาติ. วารสารเทคโนโลยีวัสดุ, ฉบับที่ 84, หน้า 66-69
- อรุณี หลักคำ, วิทวัช วงศ์พิศาล และ ดร.สินธุ จันทพันธ. (2557). กระบวนการสร้างฟิล์มบางด้วยไอ
เคมีและไอหางกายภาพภายใต้สภาวะสุญญากาศ. วารสารเทคโนโลยีวัสดุ, ฉบับที่ 74, หน้า
37-40.
- J. Azpeitia, G. Otero-Irueta, I. Palacio, J.I. Martinez, N. Ruiz del Árbol, G. Santoro, et al.
(2017). High-Quality PVD Grapheme Growth by Fullerene Decomposition on Cu
Foils. Spain: Materials Science Factory
- Shih-Hao Chan, Sheng-Hui Chen, Wei-Ting Lin, Meng-Chi Li, Yung-Chang Lin and Chien-
Cheng Kuo. (2013). Low-Temperature Synthesis of Graphene on Cu using
Plasma-Assisted Thermal Chemical Vapor Deposition. Taiwan: The National
Science Council of the Republic of China

ภาคผนวก ก

ตารางอัตราส่วนผสมของก๊าซอะเซทิลีน และก๊าซไฮโดรเจนในการทำการทดลอง

ตาราง ก-1 ตารางอัตราส่วนผสมของก๊าซอะเซทิลีน และก๊าซไฮโดรเจนในการทำการทดลอง

StdOrder	RunOrder	ปริมาณก๊าซ อะเซทิลีน (毫ร์)	ปริมาณก๊าซ ไฮโดรเจน (毫ร์)	กำลังไฟฟ้า (วัตต์)	เวลา (นาที)
21	1	3.2×10^{-2}	4.8×1.0^{-2}	60	20
3	2	4.0×10^{-2}	4.0×10^{-2}	50	10
2	3	2.1×10^{-2}	5.6×1.0^{-2}	100	10
1	4	2.1×10^{-2}	5.6×1.0^{-2}	50	10
17	5	3.2×10^{-2}	4.8×1.0^{-2}	60	20
13	6	2.1×10^{-2}	5.6×1.0^{-2}	50	30
10	7	2.1×10^{-2}	5.6×1.0^{-2}	100	10
14	8	2.1×10^{-2}	5.6×1.0^{-2}	100	30
5	9	2.1×10^{-2}	5.6×1.0^{-2}	50	30
15	10	4.0×10^{-2}	4.0×10^{-2}	50	30
11	11	4.0×10^{-2}	4.0×10^{-2}	50	10
12	12	4.0×10^{-2}	4.0×10^{-2}	100	10
18	13	3.2×10^{-2}	4.8×1.0^{-2}	60	20
7	14	4.0×10^{-2}	4.0×10^{-2}	50	30
8	15	4.0×10^{-2}	4.0×10^{-2}	100	30
19	16	3.2×10^{-2}	4.8×1.0^{-2}	60	20
6	17	2.1×10^{-2}	5.6×1.0^{-2}	100	30
16	18	4.0×10^{-2}	4.0×10^{-2}	100	30
20	19	3.2×10^{-2}	4.8×1.0^{-2}	60	20
4	20	4.0×10^{-2}	4.0×10^{-2}	100	10
9	21	2.1×10^{-2}	5.6×1.0^{-2}	50	10

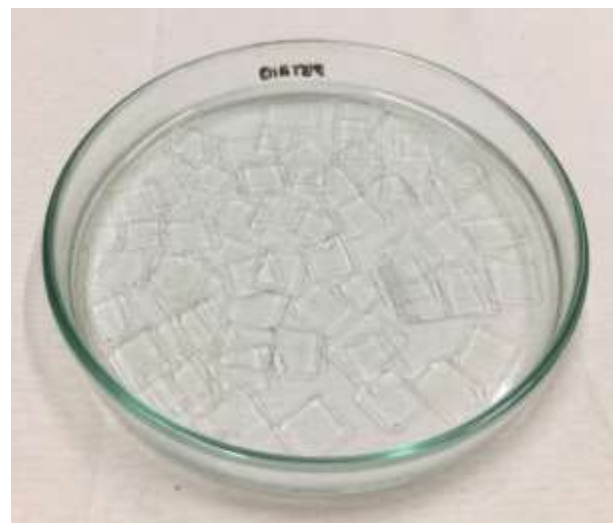
ภาคผนวก ข

ขั้นตอนการเตรียมชิ้นงาน และอุปกร์ที่ใช้ในการทดลอง

1. การเตรียมชิ้นงานในการทดลอง ดังภาพ ข-1 - ข-3



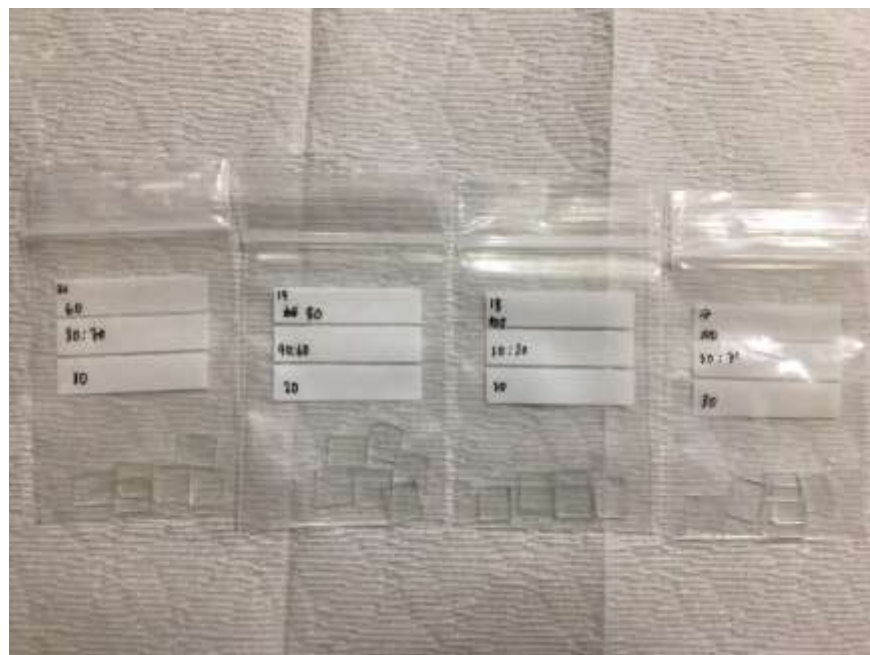
ภาพ ข-1 อุปกรณ์ที่ใช้ในการเตรียมชิ้นงาน



ก

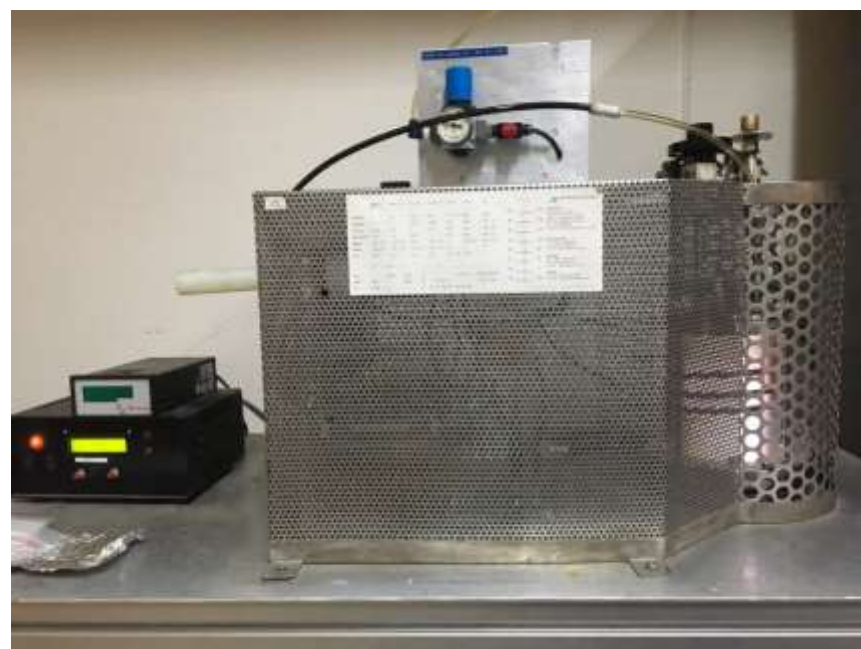
ข

ภาพ ข-2 สารละลายอะซิโตน (ก) และการทำการทดสอบชิ้นงานด้วยสารละลายอะซิโตน (ข)



ภาพ ข-3 การเก็บซึ้งจายในถุงชิ้นล็อกโดยแยกตามเงื่อนไขการทดลอง

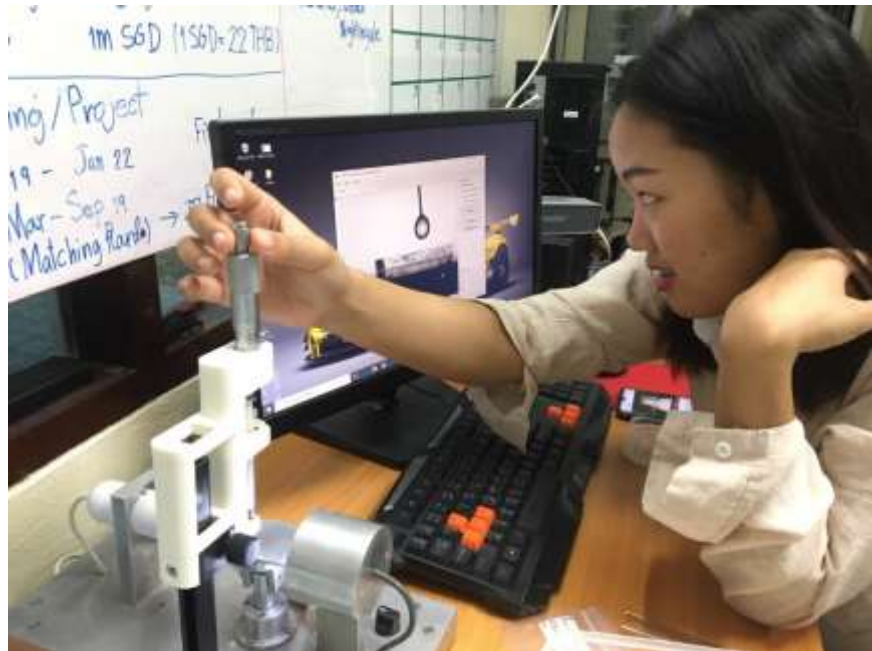
2. เครื่องมือในการวิเคราะห์ชิ้นงาน ดังภาพ ข-4 – ข-6



ภาพ ข-4 เครื่องผลิตพลาสมาความดันต่ำระบบ



ภาพ ข-5 แสดงเครื่อง AFM และการแสดงผลบนคอมพิวเตอร์



ภาพ ข-6 การตรวจสอบขึ้นงานด้วยเครื่องวัดค่ามูสัมผัส

ประวัติผู้เขียน

ชื่อ : นางสาวณัฐวรร毫不ขันธิกุล
รหัสนักศึกษา : 59061275
วัน เดือน ปี เกิด : 11 กันยายน 2540
ประวัติการศึกษา : กำลังศึกษาระดับอุดมศึกษา คณะวิศวกรรมศาสตร์
สาขาวิศวกรรมอุตสาหการ มหาวิทยาลัยเชียงใหม่
สำเร็จการศึกษามัธยมศึกษาตอนปลาย โรงเรียนอัสสัมชัญ จังหวัดลำปาง
สำเร็จการศึกษามัธยมศึกษาตอนต้น โรงเรียนอัสสัมชัญ จังหวัดลำปาง
ที่อยู่ปัจจุบัน : 191/64 ต.พิชัย อ.เมือง จ.ลำปาง 52000
เบอร์โทรศัพท์ : 0948277219



ชื่อ : นางสาวล้านลลิต อาชีวนันท์
รหัสนักศึกษา : 590610331
วัน เดือน ปี เกิด : 31 ธันวาคม 2540
ประวัติการศึกษา : กำลังศึกษาระดับอุดมศึกษา คณะวิศวกรรมศาสตร์
สาขาวิศวกรรมอุตสาหการ มหาวิทยาลัยเชียงใหม่
สำเร็จการศึกษามัธยมศึกษาตอนปลาย โรงเรียนอุดรพิทยานุกูล จังหวัดอุตรธานี
สำเร็จการศึกษามัธยมศึกษาตอนต้น โรงเรียนสตรีราชินูทิศ จังหวัดอุตรธานี
ที่อยู่ปัจจุบัน : หมู่บ้านสุขุมพล ซอยสุขุมพล ต.สุเทพ อ.เมือง จ. เชียงใหม่ 50200
เบอร์โทรศัพท์ : 0991731325

